

Amatérské RÁDIO

ČASOPIS PRO PRAKTIČKOU ELEKTRONIKU

ROČNÍK XLIII/1994. ČÍSLO 12 V TOMTO SEŠITĚ

| | |
|--|------------|
| Náš interview | 1 |
| Hlavní směry vývoje elektroniky | 2 |
| AR seznamuje: Některé zajímavé přístroje pro vánoční trh | 4 |
| AR mládeži: Moduly pro nepájivou kontaktní pole, Náš kvíz aj. | 6 |
| Informace, informace | 8 |
| Ochrana před nebezpečím kysličníku uhelnatého | 9 |
| Četli jsme | 11, 40 |
| Stavebnice SMT firmy MIRA-5 | 12 |
| PowerPC 604 dále zvětšuje datovou výkonnost | 13 |
| Měřící zdroj malých proudů | 14 |
| TVP pro teletextovou kartu do PC | 17 |
| Jednoduchý „mini“ přijímač AM | 18 |
| Vánoční hvězdička potřetí | 19 |
| Plápolající světýlko | 21 |
| Digitální audiopamat G102, G103 | 22 |
| Světelné efekty à la „K.I.T.T.“ | 24 |
| Jednoduchá logická sonda | 24 |
| Inzerce | I-XLIV, 45 |
| Katalog MOSFET (pokračování) | 25 |
| Teorie a praxe kmítotčové syntézy (dokončení) | 27 |
| CB report | 29 |
| Computer hobby | 31 |
| Letecká záchranná služba - OK9LZS | 40 |
| Dekódér Morseovy abecedy | |
| s displejem LCD | 41 |
| Z radioamatérského světa | 42 |

AMATÉRSKÉ RÁDIO - ŘADA A

Vydavatel: Vydavatelství MAGNET-PRESS, s.p., Václavská 26, 113 66 Praha 1, telefon 24 22 73 84-9, fax 24 22 31 73, 24 21 73 15.
Redakce: Jungmannova 24, 113 66 Praha 1, tel. 24 22 73 84-9. Šéfredaktor Luboš Kalousek, OK1FAC, I. 354, redaktori: ing. Josef Kellner (zást. šéfred.), Petr Havlíš, OK1PFM, I. 348, ing. Jan Klábal, ing. Jaroslav Belza I. 353, sekretariát Tamara Trnková I. 355.

Tiskne: Severografia Ústí nad Labem,
sazba: SOU polygrafické Rumburk.

Ročně vychází 12 čísel. Cena výtisku 14,80 Kč. Poletní předplatné 88,80 Kč, celoroční předplatné 177,60 Kč.

Rozšířuje MAGNET-PRESS a PNS, informace o předplatném podá a objednávky příjemá PNS, pošta, doručovatel a předplatitelské středisko administrace MAGNET-PRESS. Velkoobchodatel a prodejci si mohou objednat AR za výhodných podmínek v oddělení velkoobchodu MAGNET-PRESS, tel./fax. (02) 26 12 26.

Podávání novinových zásilek povoleno jak ředitelstvím pošt Praha (č.j. nov 5030/1994 ze dne 10. 11. 1994), tak RPP Bratislava - pošta Bratislava 12 (č.j. 82/93 dňa 23. 8. 1993). Objednávky do zahraničí přijímá vydavatelství MAGNET-PRESS, OZO 312, Václavská 26, 113 66 Praha 1 formou bankovního šeku, zaslávaného na výše uvedenou adresu. Celoroční předplatné časopisu pozemní cestou 60 DM nebo 38 \$, letecky 91 DM nebo 55 \$.

Ve Slovenské republice předplatné jezíruje a objednávky přijímá přímo nebo prostřednictvím dalších distributorů MAGNET-PRESS Slovakia s.r.o. PO. BOX 814 89 Bratislava, tel./fax (07) 36 13 90, cena za jeden výtisk v SR je 17,50 SK.

Inzerci přijímá inzertní oddělení MAGNET-PRESS, Jungmannova 24, 113 66 Praha 1, tel. (02) 24 22 73 84, 24 22 77 23, tel./fax (02) 24 22 31 73.

Znění a úpravu odborné inzerce lze dohodnout s kterýmkoli redaktorem AR.

Za původnost a správnost příspěvků odpovídá autor. Nevyžádané rukopisy nevracíme.

ISSN 0322-9572, číslo indexu 46 043.

© MAGNET-PRESS a. s. Praha

NÁŠ INTERVIEW



s ing. Daliborem Dědkem, jednatelem Jablotronu s.r.o., české firmy, která vyrábí signalizační elektroniku a jako jedna z prvních založila svou vlastní filiálku na Taiwanu.

Můžete nám něčemu stručně představit vaši firmu?

Jablotron je společnost, která byla založena v roce 1990. Sídlo v Jablonci n. N.. Naši hlavní činnosti je vývoj, výroba a prodej zabezpečovací elektroniky určené na ochranu proti vlnění a proti požáru. V současné době zaměstnáváme 76 lidí, pracujeme na ploše asi 1400 m² (díly, kanceláře a sklady). V našem výrobním sortimentu je 23 výrobků, všechny z vlastního vývoje.

Prodejní sortiment doplňujeme zbožím jiných výrobců tak, aby nás zákazník mohl nakoupit vše, co potřebuje.

Kdo jsou vaši zákazníci a kde se můžeme s výrobky Jablotronu setkat?

Na tuzemském trhu dodáváme zejména firmám a podnikatelům, kteří montují nebo prodávají zabezpečovací techniku. Kromě toho máme vlastní zásilkovou službu. Některé naše výrobky nevyžadují odbornou montáž, ty je tedy možné objednat přímo. Dodáváme je však i prostřednictvím velkoobchodů do prodejní sítě. Stále větší část produkce však exportuje me.

Nejčastěji se můžete s našimi výrobky setkat na objektech, kde jsou namontovány. Na domech je obvykle vidět pouze vnější siréna, uvnitř potom některé snímače. U zabezpečených automobilů si můžete všimnout pouze blikající signálky na palubní desce.

Lze stručně popsát vás sortiment?

Snímače pohybu osob, rozbití skla, úniku hořlavých plynů a kouře. Řídící ústředny, ovládaci klávesnice, bezdrátové ovládače. Automatický telefonní hlásič poplachu, bezdrátový PAGER pro přenos informace na dálku, různé sirény a blikáče. Autoalarmy a autodoplítky.

To je strohý výčet všech výrobků. Podrobně však představujeme naše výrobky i na stránkách AR. Úplný přehled potom získáte v našem katalogu. Hodně úsilí (i peněz) věnujeme inovaci. Průměrně každý druhý měsíc zavádíme do výroby nový výrobek.



„Jablík“

Řekněte nám něco o vaší nejčerstvější novince?

V poslední době jsme zaváděli několik nových výrobků současně. Nejdříve si cení nové generace bezdrátového systému HA-50K, který je určen pro ochranu budov. Soupravu si lehce nainstaluje do bytu nebo obchodu každý šikovný kutil. Hlavní důraz při její konstrukci byl kladen na snadnou montáž, vysokou spolehlivost a snadnou obsluhu. To se podařilo hlavně díky tomu, že celý proces je digitalizován a každá periferie je řízena mikročipem.

Dalším hitem z našeho sortimentu je dálkově ovládaný komfortní autoalarm CA-300S. Ten sice vyžaduje kvalifikovanou montáž, avšak jeho vlastnosti užívá již několik tisíc řidičů. Zde se pochlubím unikátním řešením ultrazvukového snímače, který si umí automaticky nastavit citlivost podle velikosti kabiny vozu.

Jaké používáte komponenty ve vašich výrobcích?

Aktivní součástky nakupujeme od předních světových výrobců – Intel, Microchip, Motorola, Toshiba. Pasivní a konstrukční prvky nakupujeme na Dálném východě a některé součástky také v tuzemsku.

Jaké mají vaše výrobky přednosti?

Sledujeme dvě základní hlediska – kvalitu a cenu. To jsou přednosti našich výrobků! Pro řízení kvality zavádíme systém TQM podle zásad profesoře Deminga.

Mají také nějaké nedostatky?

Máme snahu odstranit i takové nedostatky, které si naši technici neuvědomují. Stalo se dobrou tradicí, že výrobky z ověřovacích sérií rozesíláme zdarma vybraným zákazníkům a podle jejich podnětů výrobek upravujeme.

Mám-li být zcela upřímný, nedostatkem starší generace našich výrobků byl jejich design, sledovala se pouze funkčnost a spolehlivost. Dnes už je firma natolik silná, že si můžeme dovolit investovat i do jejich vzhledu a libnosti.

Vím, že Jablotron má svou dcerinou společnost na Taiwanu, řekněte nám něco o ní.

Jablotron Ltd. Taipei byla založena v roce 1993 s naši 100 % kapitálovou účasti. Hlavním cílem bylo proniknout s našimi výrobky na zahraniční trhy. Naše republika zatím nemá a nikdy neměla věhlas ve výrobě elektroniky. Když jsme se pokusili nabídnout naše výrobky na veletrhu v Hannoveru, skončilo to fiaskem. Protože víme, že kvalita a cena našich produktů je schopná konkurence, nevzdali jsme se. Zřídili jsme vlastní filiálu tam, kam se sjíždějí obchodníci z celého světa nakupovat elektroniku. Výsledky po prvním roce působení jsou více než povzbudivé. Prodáváme už do USA, Austrálie, Indie, Holandska a dalších zemí. Pikantrní je to, že nás přes taiwanskou pobočku kontaktoval i jeden zákazník z naší republiky.

Kromě toho nám naši taiwanští kollegové pomáhají s nákupem komponentů a s obchodní činností. Jablotron totiž také dokáže zprostředkovat vývoz či dovoz různého zboží na Dálném východě. Už jsme kontrahovali takové výrobky jako falešné zuby, nabytek, tetování a opačným směrem sklo, dřevěné palety a len....

Jaké jsou plány Jablotronu do budoucna?

Mottem naší firmy je uspokojovat přání našich zákazníků tak, aby byli plně spokojeni a cítili potřebu nakupovat naše výrobky. Hodláme investovat do pořízení moderní výrobní technologie. Velkou pozornost věnujeme přípravě odborníků. Spolupracujeme s řadou středních škol v regionu, ale také s ČVUT Praha a technickou univerzitou v Rochesteru. Studenti z USA dokonce letos v léti absolvovali v Jablotronu stáže. To je jedna z cest, jak udržet krok s rychlým rozvojem v elektronice (a také prohloubit znalosti angličtiny našich techniků).

V čem podle vás spočívají úspěchy Jablotronu?

V tvrdé a poctivé práci našich lidí. Většina pracovníků věnuje svému zaměstnání mnohem více než je v této zemi zvykem. Je radost pracovat s lidmi, kteří dělají svou práci s nadšením a dokáží mít radost z výsledků. Přál bych si, aby se taková pracovní atmosféra z naší firmy nikdy nevytratila.

Vaše firma má velice nezvyklé logo, můžete nám o něm něco říci?

Křížící „JABLÍK“ je postavička, která symbolizuje reakci na signál (ten je znázorněn žlutým puntíkem). Zpočátku vzbuzoval tento znak mezi našimi zaměstnanci značné rozpaky. Našly se dokonce hlasy, které říkaly, že se jedná o můj portrét ve chvíli, když jsem zjistil nepořádek na některém pracovišti.

Nyní je figurka brána s patřičnou hrdoští. Tuto značku jsme si dokonče nechali v Ženevě mezinárodně chránit.

Přejí vám tedy, aby váš JABLÍK křížec nadále pouze radostí nad úspěchy firmy.

Děkuji za rozhovor.

Rozmlouval ing. Josef Kellner

vždy zachytit signály alespoň 4 satelitů a z nich vypočítat vlastní polohu i výšku s přesností na 15 metrů. Tento systém umožňuje dokonce ověřovat a upřesňovat námořní mapy a zachycovat změny pobřeží, ostrovů a náplavů.

Pro kolejovou dopravu přináší elektronika nejen řídicí a zabezpečovací zařízení pro nové trati s rychlosmi 200 až 300 km/h, ale i zcela nové principy. Na pokusné trati TRANSRAPID v oblasti Brémy-Osnabrück v délce 80 km dosahuje "vlak" (vlastně pouze vagon) rychlosti 400 až 500 km/h bez přímého dotyku s kolejnicí; vagon pro 200 lidí o hmotnosti 110 tun se vznáší asi 20 mm nad širokou kolejnicí nesen magnetickými silami, a při tom nemá vlastní motor, energii pro osvětlení a klimatizaci získává indukcí z kolejnice bez přímého dotyku. Tajemstvím celého systému je široká "kolejnica", která obsahuje po celé délce na každém úseku 4 systémy elektronicky řízených elektromagnetů a čidel, zajišťujících okamžitou polohu vozu. Vagon totiž obepíná "kolejnici" ze stran a částečně i zespodu, a právě zde působí elektromagnety, které vagon zvedají do výše asi 20 mm nad horní plochu kolejnice, avšak ponechávají i vespod mezeru též 20 mm. Elektromagnety mají jádra složená z jemných plechů, aby mohly rychle reagovat, zpětnovazební smyčky stabilizující polohu vagonu pracují s rychlosí odezvy 10 µs, tj. s mezním kmitočtem asi 50 kHz. Druhý systém elektromagnetů stabilizuje polohu vagonu příčně tak, aby i po stranách zůstávala mezera mezi kolejnicí a vagonem též 20 mm. Třetí a čtvrtý systém

Hlavní směry vývoje elektroniky

**Doc. Ing. Jiří Vackář, Csc.
(Dokončení)**

Elektronika v dopravě se uplatňuje mnoha různými způsoby, a to jak v automobilech, na železnicích, na dálnicích, tak i v organizaci a zabezpečení dopravy.

V automobilech roste význam diagnostiky, moderní vozy jsou opatřeny řadou senzorů a čidel s mnohapólovým konektorem, na který opravna připojí diagnostické zařízení a zjistí ihned veškeré závady v chodu motoru, na převedech, na řízení i na pěrování a tlumičích. Celkové elektronické vybavení automobilu, které dnes stojí asi 1200 \$, patrně poroste na asi 5000 \$ zavedením řízeného pěrování, navigačních pomůcek, protismykových a protisíťkových systémů atd. Diagnostický systém vyvinutý pro vozy Jaguar nyní převzaly Ford, Fiat a Rover.

Výkonová elektronika však patrně zasáhne i do pohonné části. Pro čistý elektromobil, který by byl ideálním řešením, zatím stále nemáme dosažené výkonné a lehké akumulátory, které by současně byly bezpečné. Palivové články jsou příliš těžké, zdokonalené olověné akumulátory s plastovými nosnými deskami jsou sice dvakrát lepší než klasické, ale to stále nestačí, typy s roztaženým sodíkem a sírou jsou příliš nebezpečné při havárii. Schůdné řešení nabízí Volvo, a to elektromobil s olověnými akumulátory s dojezdem 50 km a s pomocným

spalovacím motorem 30 kW, vázaným s dynamem, které dobíjí akumulátor při jízdě mimo město nebo podle potřeby, motor se otáčí stálou rychlosí a má konstantní zátěž, může být proto snadno seřízen pro minimální exhalace. Řídicí elektronika umožňuje i rekuperaci energie při brzdění.

Elektronika však umožňuje i podstatně zjednodušit kabeláž a tím uspořit výrobní náklady, kdyby byly jednotlivé spotřebiče připojené na palubní síť paralelně spínány elektronicky, řídicími impulsy, superponovanými na palubní síť příslušnými ovládacími prvky. Na to stačí 8bitový mikroprocesor, EPROM a několik integrovaných obvodů s výkonovými tranzistory.

V pokusném provozu v USA je i několik různých informačních dálkových systémů, které mohou spolupracovat s palubním počítačem vozidla a navigovat řidiče optimální cestou ke zvolenému cíli i při respektování případných překážek, uzávěr nebo dopravních kašamat.

Pro leteckou dopravu a lodní dopravu je již v provozu navigační systém GPS - Global Positioning System, který používá 24 satelity ve výšce 20,2 km s oběžnou dobou 12 hodin, satelity krouží kolem Země v 6 rovinách skloněných o 55° k rovníku a pravidelně rozložených. Přijímač s počítačem v letadle nebo na lodi může

elektromagnetů je rozložen též po obou stranách kolejnice a tvoří stator tzv. lineárního motoru. Tyto elektromagnety jsou napájeny třífázovým střídavým proudem proměnného směnu z výkonových měničů energie osazených tyristory GTO a indukují vlivné proudy do měděných závitů se železnými jádry na povrchu spodní části vagonu. Elektronickým řízením tyristoru se takto vytváří postupující magnetické pole, které uvádí vagon do pohybu, urychluje jej nebo brzdí. Vagon při svém pohybu překonává pouze odpor vzduchu, proto i při rychlosti 500 km/h stačí příkon pouze 1000 kW, ke zrychlení na plnou rychlosť během 2 minut však potřebuje 15 000 kW, tuto energii však částečně rekuperuje při brzdění. Aby elektromagnety udržely vagon ve správné poloze i v zatáčkách, musí mít zatáčky minimální poloměr 10 km. Náklady na 1 km trati činily 24 milionů DM, jízdné je kalkulováno na 2 až 2,5 DM/km, trať München-Hamburg by se zvládla za 80 minut (proti dnešnímu stavu úspora přes 4 hodiny).

Podobný systém je nyní plánován ve Švýcarsku pro spojení mezi Curychem a Ženevou, a to podzemním "potrubím" o průměru 4 metry, mezi ním a válcovitým vagonem by měla být mezera 20 cm.

Aby se zmenšíl odpor vzduchu při pohybu vagonu, bude vzduch v potrubí zředěn na tlak asi 0,05 MPa, tj. asi na polovinu běžného tlaku. Cesta Curych-Ženeva by se tím měla zkrátit na 57 minut. Výstavba má trvat 4 roky, v projektu byly využity zkušenosti z Transrapidu a výsledky výzkumných prací švýcarských univerzit.

Elektronika v oblasti vojenské a kosmické techniky nyní sice prožívá určitou recesi, způsobenou omezením vojenského rozpočtu USA (např. byl podstatně omezen program SDI, antibalistický a úplně zastaven program CETI, hledání mimozemských civilizací), ale pokračuje vývoj nových raket a elektroniky s nimi spojené. Rакета DC-Y má být pouze jednostupňová a má dopravit 9 tun na oběžnou dráhu - rozměry 38 m délka, 580 tun hmotnost, palivo kyslík-vodík. Další raketa THAAD má zachytit a zneškodnit útočící balistickou raketu ještě ve stratosféře, o její vývoji se intenzivně zajímá i např. Japonsko, ohrožované severní Koreou. Vzniká též nová generace raket PATRIOT PAC-3, použitých v Kuwaitu.

Také kosmický program výzkumných družic byl podstatně zredukován, i když nyní v souvislosti se srážkou komety Shoemaker-Levy s Jupiterem jejich význam opět vzrostl. Na tento rok je plánováno pouze vypuštění několika malých družic pro výzkum Měsíce (Clementine), pro výzkum rentgenové astronomie a pro monitoring balistických raket a nukleárních experimentů.

Lékařská elektronika úspěšně využívá technologických i systémových možností ostatních oblastí elektroniky. Tak vzniká např. komunikační systém pro péči o pacienty ležící ve

svých bytech, skládající se z monitorovací jednotky pacienta, z modemu a radiotelefuru, který signalizuje automaticky ošetřujícímu (sestře nebo lékaři) potřebu zásahu, sestra má přenosný radiotelefon se záznamníkem a notebookem, s možností přivolat další pomoc v případě potřeby. Systém vyuvinuli studenti Carnegie Mellon University.

Pokračuje další zdokonalování počítacových tomografů - rentgenových, nukleárně rezonančních i ultrazvukových, a počítacového zpracování jejich obrazů pro třírozměrné displeje metodami "virtuální reality". To dává chirurgům možnost předběžně modelovat různé možné postupy při plánované operaci - při vlastní operaci mohou pak využívat endoskopických sond se světlovodnými vlákny (nebo s miniaturními kamerami CCD či s mikrofrezami) pro angioplastické operace, takže vzniká samostatný obor endoskopické mikrochirurgie.

Mechanicky náročné chirurgické zásahy (např. endoprotézy kyčelních kloubů) může podstatně usnadnit a zkomplikovat ROBODOC - chirurgický robot řízený počítačem, jehož používání bylo již v USA povoleno.

Průmyslová elektronika naznačuje další pokrok zejména v oblasti výkonových měničů energie pro pohony, ve vývoji měřicích sond a čidel fyzikálních a chemických veličin i ve vývoji pružných a adaptabilních systémů automatizace výroby. Tato poslední oblast je považována za klíčovou např. v Mexiku, kde bylo pro tento účel zřízeno vývojové centrum LABRIN v Monterrey. K novým směrům patří aplikace videokamer s počítačem, které identifikují obrysy kontrolovaných součástek a polotovarů a zajišťují např. kontrolu povrchové montáže na plošných spojích (SMT) s přesností na 0,005 mm, dále aplikace tzv. fuzzy-logiky ve zpětnovazebních smyčkách PID řídících systémů a pokusy s aplikací „neural-networks“, tj. obvodů, simulujících funkce nervové soustavy. To vše směřuje k vyšší automatizaci výroby, k větší produktivitě, ovšem také k větším požadavkům na technickou kvalifikaci pracovníků.

Elektronika v životním prostředí je oblastí s rychlým růstem objemu i s rostoucí diverzifikací výrobků, provozů i služeb. Zahnuje měřicí techniku pro monitoring různých druhů znečištění, řídici elektroniku pro filtrační a rafinační technologické procesy i vývoj nových technologií.

Patří sem však také **elektronika v meteorologii i ve výzkumu oceánu**. Některé z aktivit v této oblasti jsou i ekonomicky rentabilní, např. elektronicky řízené systémy pro umělé pěstování půdních mikroorganismů, ale většina z nich bude patrně rentabilní až v dlouhodobém výhledu a proto potřebuje buď počáteční podporu státu nebo dlouhodobé úvěry; jde zřejmě o nový druh hospodářské infrastruktury, který bude nutno zařadit do státních rozpočtů. Americké ministerstvo energetiky např. vypsalo v této oblasti

řadu grantů a Ioni odměnilo 5 firem za zavedení ekologických inovací do technologických procesů (např. za nové druhy povrchových úprav bez exhalaci ředitel, za systém čištění vzduchu od exhalací vymrazováním, za zavedení procesu pájení na plošných spojích bez exhalací, za systém filtrace a recyklace odpadové vody apod.). To jsou však jen první krůčky, soustavná péče o životní prostředí se musí rozvinout v nejbližších letech a je naděje, že tímto způsobem bude do značné míry možno řešit i problém nezaměstnanosti.

Jak vidno z předchozího přehledu informací, hlavním pramenem inovací v elektronice je fyzikální aplikovaný výzkum pevné fáze a jejich struktur, který v posledních desetiletích přinesl mnoho nových poznatků zejména zásluhou počítacového modelování interakcí elementárních čistic v krytalových mřížkách i v amorfních strukturách různých prvků i sloučenin. Ten to výzkum stále pokračuje, v poslední době vzbudily pozornost např. publikace M. Johnsona a R. Silsbee ve Physical Review, kde jsou popsány experimenty s ovlivněním statistického rozložení prostorové orientace spinu elektronů magnetickým polem, což umožňuje vytvářet proudy elektronů s různě orientovaným spinem a vzájemné interakce těchto proudů. Na tomto principu byl již vytvořen celkový tranzistor, skládající se ze dvou tenkých vrstev magnetického materiálu (emitor a kolektor) s mezihrstvou mědi nebo zlata, který může být realizován v rozmezí podmikronových a vykazuje spínací čas řádu jednotek nanosekund. Podařilo se vytvořit technologii pro hromadnou výrobu a pro integrované obvody tohoto druhu, půjde opět o podstatný krok dopředu. Další překvapení jsou pravděpodobná.

Hlavním motorem inovací v oblasti finálních výrobků je ovšem společenská potřeba, konkrétně tedy zájem těch složek společnosti, které jsou schopny financovat vývoj těchto inovací. Tím je samozřejmě určen i směr tohoto vývoje, který přinesl již změněné celosvětové komunikační a navigační systémy, a který bude dále přispívat ke vzniku celosvětových informačních a datových sítí a k celkové globalizaci hospodářství, snad i k stabilizaci politických struktur. To poslední bude asi nejtěžší - sám jsem se kdysi domníval ve svém naivním optimisu, že budu-li stavět vysílače, budu tím přispívat k dorozumění mezi národy - ach, kde že ty loňské sněhy jsou.... Kéž by tyto nové naděje dopadly lépe.

Prameny

Časopisy organizace The Institute of Electrical and Electronic Engineers (IEEE)
Spectrum, Proceedings, Transactions of Manufacturing Technology, Institute European Power Electronic Journal Physical Review



Některé zajímavé přístroje pro vánoční trh

V tomto předvánočním čísle učiním výjimku a seznámím čtenáře s několika zajímavými přístroji, které jsem našel v katalogu firmy Conrad a které jsem si od této firmy vyžádal k otestování. Již v úvodu bych rád upozornil na to, že firma Conrad nemá sice u nás dosud prodejnu, v niž by bylo možné nakupovat, je to však prozatím firma pouze zaslátelská, u které si lze objednat libovolný zboží z katalogu buď písemně nebo telefonicky, popřípadě faxem. Podrobné informace uvedu v závěru testu.

Stolní hodiny s buzením řízené rádiovým signálem

Od běžně používaných hodin řízených krystalovým oscilátorem se tyto hodiny liší tím, že obsahují navíc miniaturní přijímač rádiových signálů, kterými jsou tyto hodiny synchronizovány. Vysílač těchto kódovaných informací je umístěn v Mainflingenu (SRN), ležícím mezi Frankfurtem a Aschaffenburgem. Vysílač vysílá na kmitočtu 77,5 kHz a lze jej zachytit, díky použité vlnové délce, i za méně příznivých okolností až do vzdálosti 1500 km od vysílače.

Z řady důvodů nejsou podobné hodiny synchronizovány řídícím signálem přímo, avšak jsou pouze synchronizovány v určitých časových intervalech. Kdybyste totiž hodiny umístili ve zcela odstíněném místě, kde by řídící signál nebyl zachytitelný, šly by pochopitelně dálé s přesnosti běžných krystalem řízených hodin. Jakmile by se však řídící signál znova objevil, okamžitě by se případná chyba zkorigovala. I kdyby řídící signál chyběl celých 24 hodin, nebyla by tato chyba větší než 1 sekunda.

Kromě naprosté přesného času zobrazují tyto hodiny i den a měsíc a také zkratku názvu dne v týdnu. Další výhodou těchto hodin je, že se automaticky přestaví při změně zimního času na letní čas a naopak. Hodiny proto zobrazují za všechny okolnosti naprostě přesný čas a v domácnosti představují jakýsi „časový normál“, na jehož údaj se lze bez výhrad spolehnout.

Zmíněné hodiny se mi zalíbily na první pohled nejen pro to co všechno umějí (to především), ale také pro jejich velice přijatelnou cenu. Kromě naprosté přesného času zobrazují i datum a zkratku pojmenování dne v týdnu (zkratka je pochopitelně převzata z německého pojmenování dnů). Lze u nich nastavit buzení a to buď buzení denně, nebo pouze od pondělí do pátku (tedy bez sobot a nedělí). Průběh buzení je zajímavý tím, že prvních deset sekund se ozývá jednoduchý akustický signál (pípnutí po jedné sekundě), nezrušte-li buzení, začne se dalších deset sekund ozývat tento signál dvojitě (dvě pípnutí každou sekundu), po dalších deseti sekundách čtyři pípnutí za sekundu a pak dokonce nepřetržité pípnání. To už je tak do téřní zvuk, že se nelze neprobudit.

Hodiny lze v jiném pásmovém čase zkorigovat tak, aby i tam ukazovaly správný čas (v rozmezí -9 až +9 hodin). Nepřítomnost synchronizačního signálu je na displeji indikována a v takovém případě jdou hodiny jako běžné krystalem řízené.

Nastavování času i buzení je bezproblémové, bohužel si ho musí částečně vydědukovat a vyzkoušet každý majitel sám, protože jak německý, tak i český návod (který je věrným překladem německého) je velmi těžko srozumitelný a sám jsem se podle něj nedokázal orientovat. Kromě toho, že je velice zmatený, obsahuje označení ovládacích prvků, které na hodinách vůbec nejsou (např. MODE). Ještě jednu výtku bych měl k designérovi: vytvořil sice velice úhledné provedení se značně zaoblenou čelní stěnou - v ní se však v širokém úhlu odráží všechno světlé z okolí, takže musíme pečlivě volit umístění hodin, aby na ně byl nerušený pohled.

Přes vyslovené dvě připomínky po-važuji tyto hodiny za vynikající výrobek, který je nejen funkčně perfektní, ale i co do vzhledu velmi elegantní. Na 15 mm vysoké číslice je (pokud hodiny správně umístíme) i z daleka vidět. Také cena, za níž je firma Conrad na-



bízí, je velice přijatelná. Hodiny stojí 657,80 Kč a jejich objednací číslo je 61 01 00.

Náramkové hodinky řízené rádiovým signálem

Popsané stolní hodiny bych rád doplnil popisem dvou typů náramkových hodinek. Ty pracují na zcela obdobném principu jako hodiny stolní, pouze s tím rozdílem, že vzhledem k jejich miniaturizaci (a tudíž i miniaturnímu napájecímu zdroji) je u nich přijímač synchronizačního signálu zapínán pouze v době mezi 2 a 3 hodinou ráno. Hodiny jsou tedy přes den řízeny vlastním krystalovým oscilátorem a pouze v noci je jejich údaj upraven řídícím signálem z vysílače. Přijímač proto odebírá ze zdroje energii jen v této krátké době. To na přesnosti hodin prakticky nic nemění, protože i jen průměrné (krystalem řízené) hodiny mají denní chybu menší než jedna sekunda.



Hodinky kruhového tvaru jsou levnější, avšak nezobrazují datum a den v týdnu. Hodinky čtvercového tvaru jsou o 200,- Kč dražší a zobrazují datum i den v týdnu. Oba typy hodin mají kontrolu synchronizace, to znamená, že pokud by byl z důvodů špatného příjmu porušen synchronizační cyklus, je to u obou typu zobrazeno na displeji. Až do obnovení dalšího příjmu jsou hodinky řízeny vlastním krystalovým oscilátorem a jakmile se příjem obnoví, jsou během první noci automaticky zasynchronizovány. Oba typy hodinek jsou napájeny třívoltovým lithiovým článkem, který vydrží v provozu déle než tři roky a nutnost brzké výměny článků je majiteli včas indikována.

Hodinky čtvercového provedení mají objednací číslo 64 00 00 a stojí 1958,- Kč, hodinky kruhového provedení (bez indikace data) mají objednací číslo 64 04 09 a stojí 1757,80 Kč.

Teploměr s dvojí indikací

Tento teploměr umožňuje měřit teplotu v místnosti (čidlo je umístěno v jeho pouzdro) a současně teplotu kdekoliv jinde (například vnější teplotu) pomocí druhého čidla, které je na konci třímetrového kablíku. Přístroj má dvě identické stupnice a je schopen měřit teplotu v rozmezí -50 až +70 °C. Obě měření jsou pochopitelně na sobě zcela nezávislá.

Indikaci teploty lze bezpečně přečíst i ze vzdálenosti několika metrů, protože použitý displej z tekutých krystalů má výšku číslic 30 mm a tloušťku čár segmentu 5 mm. Čitelnost je skutečně perfektní. Údaj teploty je třímístný, tedy na jedno desetinné místo. Přesnost měření uvádí výrobce ±1 °C, rozlišovací schopnost je 0,1 °C. Rozlišovací schopnost je tedy mnohem větší než udávaná přesnost, což by se mohlo zdát nelogické. Je si třeba však uvědomit, že taková rozlišovací schopnost nám umožňuje rychle se orientovat, zda teplota stoupá nebo klesá, přičemž absolutní přesnost je v naprosté většině případů zcela zbytečná.

Teploměr umožňuje ještě opticky a akusticky upozornit na to, že teplota bud překročila určitou mez nebo pod určitou mez klesla. Rovněž lze indikovat, když teplota „opustí“ určité nastavené pásmo, případně jestliže se do tohoto pásma dostane. To lze nastavit v jednotkách stupňů u vnějšího čidla v celém měřicím rozsahu. Indikace probíhá tak, že se každou minutu ozve pět sekundových pípnutí a současně blikne červená a zelená svítivá dioda. Tuto funkci nemusí majitel samozřejmě využívat.

Přístroj jsem velmi pečlivě vyzkoušel a byl jsem přijemně překvapen nejen vynikající čitelnosti jeho údajů, ale i shodnosti obou údajů, když byla obě teplotní čidla vymontována a umístěna těsně vedle sebe. Pokud by se chtěl někdo přesvědčit o shodnosti tak, že by vnější čidlo dal do blízkosti teploměru, musí počítat s tím, že by získal shodné údaje jen za velmi výj-

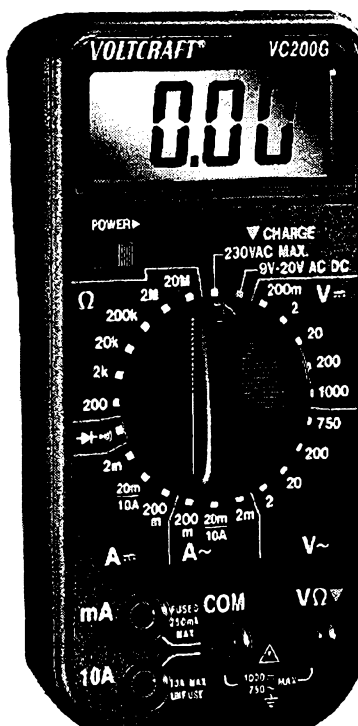


mečných okolností. Velkou roli zde totiž hraje tepelná setrvačnost obalu čidel, proudění vzduchu v místnosti i další okolnosti.

Přístroj je napájen jednou „mikrotužkou“ (typ AAA), která pokud není trvale využívána funkce hlídání teploty, vydrží v provozu až dva roky. Stupnice není osvětlena a rozměry přístroje jsou 10 x 10 x 2 cm. Teploměr se dodává s nástenným držákem, který lze upevnit na stěnu a přístroj pak do něj zasunout. Teploměr lze též postavit na vodorovnou podložku. Má objednací číslo 13 50 20 a stojí 657,80 Kč (nad tři kusy 613,80 Kč).

Multimetr VC-200 G

Tento přístroj jsem vybral proto, že představuje určitou novinku v oboru napájení. Je totiž napájen z kondenzátoru o velké kapacitě. Tento kondenzátor lze nabít buď ze sítě 220 V nebo z libovolného zdroje stejnosměrného nebo střídavého napětí 9 až 20 V (přes měřicí šňůry). Nabity kondenzátor vydrží napájet přístroj 2,5 hodiny, pak je nutné jej znova nabít (nabíjení trvá tři minuty).



Přístroj umožňuje měřit střídavá i stejnosměrná napětí a proudy, odpoxy, testovat diodové přechody a kontrolovat průchodnost vodičů. displej je tříapůlmístný a má výbornou čitelnost, protože číslice jsou 17 mm vysoké a šířka segmentu je 2 mm. Přesnost stejnosměrných napěťových rozsahů je 0,5 %, střídavých 1,2 %, ss proudů 1 % a střídavých 1,2 %.

Vyzkoušel jsem funkční dobu neprerušitého provozu a naměřil bez deseti minut tři hodiny. Pak jsem ponechal přístroj s nabitym kondenzátorem v klidu 72 hodin a měřil (aniž by ještě indikoval potřebu nabít) déle než dvě hodiny. I to považuji za plně vyhovující.

Multimetr lze objednat pod číslem 12 80 40 a stojí 1738,- Kč.

Elektronická digitální váha

Posledním výrobkem, který jsem zařadil do testu, je elektronická digitální váha. Je určena jak pro kancelář, tak i pro domácnost. Váží do 2 kg s rozlišovací schopností 1 g. Váha má dvojí napájení. Jednak lithiovým článkem, jehož životnost udává výrobce na 10 let, jednak solárními články. Vystavěný článek umožňuje (podle výrobce) zajistit více než 100 000 vážení.



Kontroloval jsem přesnost váhy (která není udávána) a zjistil jsem cejchovaným závažím 1000 g, že nepřesáhla 0,5 %, což považuji rovněž za plně vyhovující. Další přednosti váhy je možnost vážit pouze obsah, to znamená, že můžeme na váhu položit misku, její váhu pak anulovat a vážit pouze obsah, který do misky vložíme.

Váha má objednací číslo 82 11 36 a je nabízena za 1738,- Kč. Její cena považuji za velmi solidní, protože odpovídá německé ceně 79,- DM (u firmy Conrad v Německu), zatímco v letním katalogu 1994 nabízí firma Neckermann zcela shodnou váhu za 99,95 DM.

Poslední informace se týkají firmy Conrad, která tyto výrobky nabízí. Tato firma má zasilatelskou službu v průmyslovém areálu Vysoké Mýto, 348 02 Bor u Tachova. Lze si u ní objednat libovolný výrobek z katalogu v ceně nejméně 500,- Kč a cenu v korunách lze vypočítat tak, že cenu v markách násobíme činitelem 22. To je konečná cena, v níž je již započteno clo a DPH. Ke každé zásilce je pouze připočten zasilací a balicí paušál 50,- Kč. Objednávat si můžete písemně, telefonicky (019/50 71 19) nebo faxem (019/50 71 20).

Hofhans

MODULY PRO NEPÁJIVÉ KONTAKTNÍ POLE

(Pokračování)

Při oživování zjistíte, že je možné některé součástky v širokých mezích měnit či zcela vyněchat. Např. vynecháním rezistoru R8 a změnou R9 na 10 kΩ získáte rychlejší střidu tří signálů nastavených kmitočty.

V zapojení jsou ještě dva kondenzátory, které nejsou pro činnost multivibrátorů rozdodující - C5 je nutný pro „čistý“ sled tónů, díky jemu se vyrovnává malý vnitřní odporník zdroje.

Kondenzátor C6 by při zapojení obyčejného zvonkového tláčítka do obvodu zdroje nebyl potřeba. Ke generátoru je však možné jako zdroj vstupního signálu připojit elektronický spínač, který uvede generátor SGM do provozu podle zadaných vstupních podmínek. Použijete např. modul SPR, který připojíte přes ochranný rezistor asi 10 kΩ. Výstup modulu SPR je však v obvodu kolektoru výstupního tranzistoru T5 a proto má proměnný vnitřní odporník. Tím by se dále ovlivnila „směs“ tónů generátoru a právě tomu má kondenzátor C6 zamezit. Nevhodou tohoto kondenzátoru je zbytkový proud, ale ten bývá tak malý, že neohrozí život baterie.

Deska s plošnými spoji a umístění součástek byla na obr. 93.

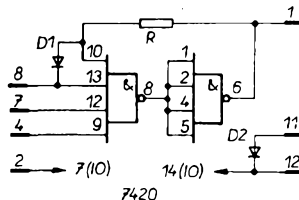
Součástky

| | |
|------------|--|
| R1, R5, R6 | miniaturní rezistor 6,8 až 8,2 kΩ |
| R2 | miniaturní rezistor 10 až 22 kΩ |
| R3 | odporový trimr 1 MΩ (např. typ TP 040) |
| R4 | miniaturní rezistor 0,18 až 0,22 MΩ |
| R7, R8, R9 | miniaturní rezistor 0,15 až 0,18 MΩ |
| R10 | miniaturní rezistor 8,2 až 10 kΩ |
| R11 | miniaturní rezistor 0,15 až 0,22 MΩ |
| R12 | odporový trimr 10 kΩ (např. typ TP 008) |
| R13 | miniaturní rezistor 0 až 10 kΩ |
| C1, C2 | keramický kondenzátor 4,7 nF až 6,8 nF |
| C3, C4 | elektrolytický kondenzátor 5 µF, 15 V až 10 µF, 10 V |
| C5 | elektrolytický kondenzátor 1000 µF, 10 V |
| C6 | elektrolytický kondenzátor 500 µF, 10 V |
| T1 až T4 | tranzistor n-p-n (např. KSY21...) $\beta \geq 100$ |
| T5 | tranzistor n-p-n (např. KF507, KC637 ...) $\beta \geq 300$ |
| body X, Y | drátová spojka |
| 1, 22 | Zapojení vývodů drátová spojka (viz text) |
| 2, 14 | 0 V |
| 14, 20 | reprodukтор |
| 21, 24 | tlačítko |
| 24 | +4 až 4,5 V |

SKO - Schmittův klopny obvod

Zhotovení tohoto modulu (obr. 94) je snadné. Může mimo jiné sloužit jako převodník napětí signálů „cizích“ systémů - např. pro napětí sinusového průběhu - na napětí pravoúhlého průběhu se strmnými hranami, potřebné pro zapojení obvodů TTL.

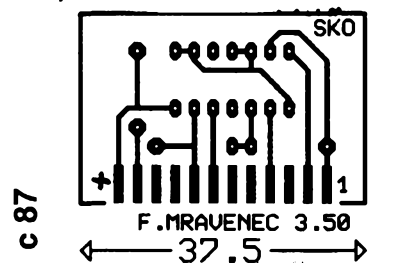
Mimoto můžete modul SKO použít ve sta-tickém zapojení jako spínač určitého prahového napětí - tj. při pozvolném zvětšování napětí sepne při napětí určité velikosti.



Obr. 94. Schéma Schmittova klopyného obvodu SKO

Je-li na vstup 1 (vývod 8) přivedeno napětí úrovně log.1 (2 V nebo větší), přejde výstup Q z úrovně log. 0 na úrovně log. 1 za předpokladu, že je úrovně log. 1 rovněž na vstupech 2 a 3. Pokud je ale spoj na jednom z těchto vstupů úrovně log. 0, nemá změna napětí na vstupu 1 žádný účinek. Naopak je tomu, přechází-li výstup Q z úrovně log. 1 na log. 0 - když při úrovni log. 1 na vstupu 1 přejde vstup 2 nebo 3 na úrovně log. 0. Při úrovni log. 1 na vstupech 2 a 3 se musí úrovně log. 1 na vstupu 1 změnit asi na 1,4 V, aby na výstupu Q byla opět úrovně log. 0 (účinek diody D1 - tzv. hystereze).

Obr. 95 vám poskytne potřebné informace ke konstrukci modulu, který má rozměr 37,5 x 25 mm. Na desce je dosti místa, proto je možné napájet obvod i napětím 6 V přes diodu D2 (vývod 11), pro napájení 5 V zůstává k dispozici vývod 12.



Obr. 95. Deska s plošnými spoji a umístění součástek modulu SKO

Nejsou-li všechny vstupy využity, lze zapojit Schmittův klopny obvod také s jednou polovinou pouzdra 7400, případně zhotovit

z celého pouzdra dvojitý Schmittův klopny obvod - jeden z nich pak s použitím další diody před vstupem poslouží jako indikátor určité napěťové úrovně.

Součástky

| | |
|--------|-----------------------------------|
| R | miniaturní rezistor 390 Ω |
| D1, D2 | křemíková dioda (např. KA206 ...) |
| IO | integrovaný obvod 7420 |

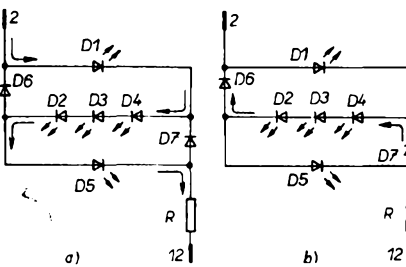
Zapojení vývodů

| | |
|----|-----------------|
| 1 | výstup Q |
| 2 | 0 V |
| 4 | vstup 3 |
| 7 | vstup 2 |
| 8 | vstup 1 |
| 11 | +6 V (viz text) |
| 12 | +5 V |

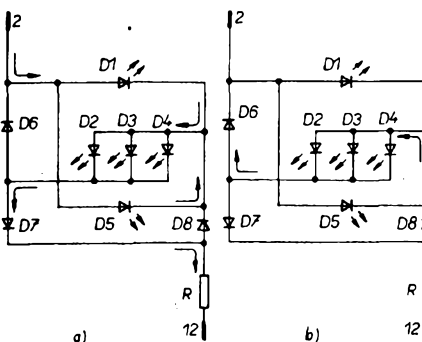
SLM, SLV - Symboly ze svítivých diod

Zapojení pro efektivní indikaci polarity napětí, která je vyjadřována přímo symboly + nebo -, je na schématech obr. 96 a 97. Na schématech je šípkami vyznačen proud diodami pro kladnou (a) a zápornou (b) indikaci. Zapojení na obr. 96 je pro měřená napětí od 8 do 12 V, na obr. 97 je varianta pro napětí 4 až 8 V.

Desky s plošnými spoji a umístění součástek jsou na obr. 98 (pro první zapojení) a na obr. 99 (druhá varianta).



Obr. 96. Symboly polarity pro napětí 8 až 12 V



Obr. 97. Symboly polarity pro napětí 4 až 8 V

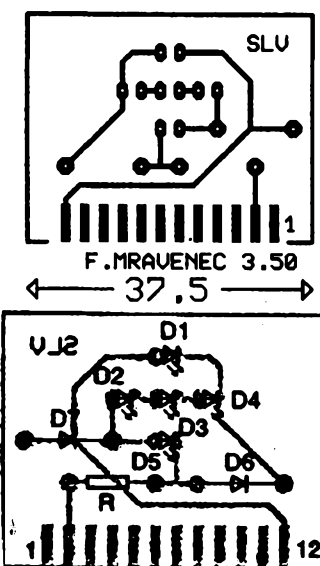
Součástky

| | |
|-----------------------------|--|
| R | miniaturní rezistor 330 Ω (pro zapojení podle obr. 96) nebo 33 Ω (obr. 97) |
| D1 až D5 | svítivá dioda |
| D6 až D8 | křemíková dioda |
| Zapojení vývodů obou modulů | |
| 2(12) | 0 V |
| 12(2) | +U |

SPR - Senzorový přepínač

Základem každého senzoru, kterými jsou doplněny přístroje spotřební elektroniky, je elektronický spínač, reagující na velmi malé vstupní proudy. Propojením dvou takových základních obvodů lze získat přepínač.

c 88

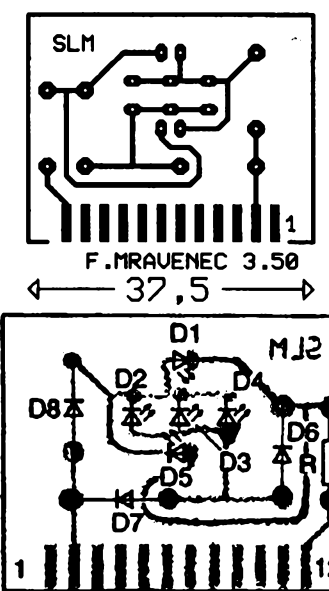


Obr. 98. Deska s plošnými spoji modulu SLV (8 až 12 V)

Základem modulu SPR je bistabilní multivibrátor. Před každým tranzistor multivibrátoru je zapojen předzesilovač, na kolektor jednoho z nich je připojen navíc zesilovač, který může ovládat relé nebo přímo žárovku s proudem do 10 mA.

Spínač můžete ovládat „dynamicky“ jednopólovým vstupem 1 nebo 2 (vývody 4 nebo 9), na který přiložte prst (v blízkosti nebo poblíž zařízení se střídavým napájením, která vyzařují střídavé elektrické pole). Střídavé napětí, označované také jako síťový brum, které přiložením prstu přivedete na senzor, postačí pro senzorový přepínač jako zdroj proudu na vstupu. Pro

c 89

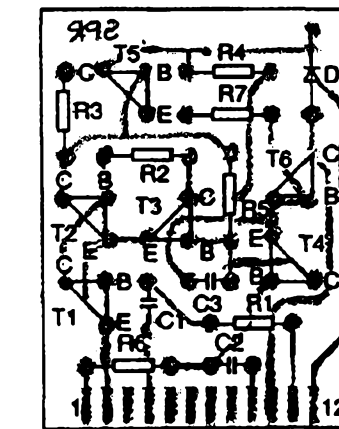
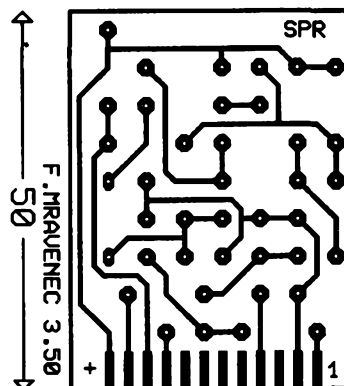


Obr. 99. Deska s plošnými spoji modulu SLV (4 až 8 V)

přípůsobení spínače k prostředí je však nutno vstupní obvod vyvážit, aby cizí střídavá pole, kapacitně vzaňaná, nepůsobila rušivě.

Při ovládání senzorového spínače „statickým“ vstupem nepůsobí tělo jako zdroj proudu, ale prstem pouze uzavřete cestu ke zdroji (baterii) stejnosměrného proudu. K tomu je třeba připojit ke vstupu 1 nebo 2 (vývody 1 nebo 17) dvoudílnou plošku, jejíž druhá část je spojena s kladným pólem napětí (vývod 12) - plošku zhotovte např. z kupřextitu. Rušivé impulsy jsou potlačeny dolní propustí R1, C1 (R6, C2), proto je nutné při „statickém“ provozu spojit „dynamické“ vstupy s vývodem 2 — tedy nulovým pólem zdroje. Na obr. 100 je označeno zapojení „statického“ provozu přerušovanou čarou.

c 90

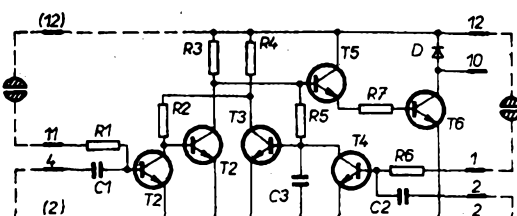


Obr. 101. Deska s plošnými spoji a umístění součástek SPR

ké“ vstupy s vývodom 2 — tedy nulovým pólem zdroje. Na obr. 100 je označeno zapojení „statického“ provozu přerušovanou čarou.

Podobně jako senzorové plošky se chová při „dynamickém“ provozu připojené vedení ve funkci antény. Budete-li si navrhovat obrazec plošných spojů sami: vstupní body 4 a 9 a tranzistory předzesilovačů musí být umístěny blízko sebe, viz obr. 101.

Modul senzorového přepínače je opatřen obvodem pro definované nastavení výstupu (vývod 10) při připojení zdroje. K tomu slouží



Obr. 101. Schéma zapojení senzorového přepínače SPR

NÁŠ KVÍZ

Naše poslední letošní kvízové úlohy budou mít se základními zákony elektrotechniky či elektroniky málo společného. Problém, který nadcházíme, však může být pro kterehokoliv uživatele rozhlasového nebo televizního přijímače (zejména však pro výkonného amatéra-vysílače) určitě zajímavý.

Úloha 25

Jak daleko je obzor (1)?

Je známo, že se elektromagnetické vlny, zprostředkující přenos rozhlasových a televizních signálů (VHF, UHF, tj. asi od 50 MHz, což je oblast 1. kanálu I. TV pásmo, do stovek MHz, což odpovídá kanálu 60 V. televizního pásmá) šíří bez problémů v podstatě pouze v okruhu přímé viditelnosti vysílací antény. Toto tvrzení platí tím přesněji, čím je kmitočet vysílače vyšší (viz příjem družicových signálů na kmitočtech rádu jednotek či desítek GHz). Z uvedeného jevu plyne několik zajímavých otázek.

Protože je naše Země „kulatá“, vysílač stanice se dostává teoreticky z našeho dosahu, jakmile její anténa míří za obzor. Jak je však náš obzor vzhledem k zakřivení zemského povrchu vzdálen?

Zkusme pro začátek tuto vzdálenost odhadnout. Bude to: a) kolem 1 km, b) kolem 5 km, c) podstatně více než 10 km? Odpověď zřejmě souvisí s výškou pozorovatele, předpokládejme proto, že se jeho oči nacházejí ve výšce 1,5 m.

Theoretický dosah spojení přenosními radiostanicemi např. typu „walkie-talkie“, vybavené dostatečně výkonnou vysílační částí (správný český název „občanské radiostanice“, vysílají v pásmu 27 nebo 40 MHz), je vymezen podobným způsobem, bude však záviset na výšce, v níž jsou umístěny obě antény, přijímací i vysílač.

Podobný poznatek platí i pro rozhlasové a televizní vysílače, které se proto umisťují na výškách místech a v rovinaté krajině na vysokých věžích. Odhadněte, jaký je dosah televizního vysílače pro Varšavu, umístěného v rovinaté oblasti na věži s jedinečnou výškou 646 m. Bude to a) nejméně 400 km, b) kolem 200 km, c) kolem 100 km.

ÚLOHA 26

Jak daleko je obzor (2)?

Zúšťáme u předchozí úlohy. Vládněli elementárními základy matematiky, vzdálenost obzoru a tedy teoretický dosah vysílání VKV-FM a TV byste měli umět odvodit a to pro oba případy: pro případ, je-li výška

přijímací antény proti umístění zářiče vysílače zanedbatelná i pro nezanedbatelnou výšku obou antén.

Podle řady poznatků je praktický dosah elektromagnetických vln VKV, VHF i UHF o „něco“ větší, než je přímá viditelnost. Kupř. autoři Gilde-Altrichter v knize zajímavých výpočtů (Möglichkeiten des Taschenrechners, vydané ještě v bývalé NDR) uvádějí dosah asi o 15 % větší, což při výpočtech můžete respektovat.

Pro zajímavost dodejme, že technický kvíz, o který v této rubrice usilujeme, nepředstavuje nic nového. Formulaci úlohy o vzdálenosti našeho obzoru a vzájemné viditelnosti dvou zeměpisně rozdílně umístěných, různě vysokých objektů i její řešení formou zajímavého technického kvízu nabídl již v roce 1917 svým čtenářům Vladimír Řepa v útlé knížce s názvem Nuly (vyšla v nakladatelství J. Svátka v Českých Budějovicích). Důstojný pan V. Řepa neopomněl žádnou ze svých úloh odět do poutavého roucha: v jeho interpretaci nad „nekonečným obzorem“ přemítá zasněná básnička na břehu mořském. Řepa ji ze snění o nekonečnosti obzoru probouzí suchým konstatováním, že její NEKONEČNO je vzdáleno pouhých ... m (kolik vlastně?).

kondenzátor C3, který se nabíjí, „zpomalí“ činnost této části obvodu a zajistí požadovaný stav výstupu (výstupní tranzistor nevede).

Zapojení odebírá v této klidové poloze proud menší než $100 \mu\text{A}$ při zdroji $4,5 \text{ V}$. Baterie by tedy v pohotovostním stavu vydřela velmi dlouho, ale delší doby sepnutí dobou jejího života výrazně zkrátí.

Součástky

| | |
|----------|--|
| R1, R6 | miniaturní rezistor $0,47 \text{ M}\Omega$ |
| R2, R5 | miniaturní rezistor $47 \text{ k}\Omega$ |
| R3 | miniaturní rezistor $68 \text{ k}\Omega$ |
| R4 | miniaturní rezistor $0,15 \text{ M}\Omega$ |
| R7 | miniaturní rezistor $4,7 \text{ k}\Omega$ |
| C1, C2, | keramický kondenzátor 22 nF |
| C3 | keramický kondenzátor $22 \text{ až } 47 \text{ nF}$ |
| D | křemíková dioda (např. KY130/80...) |
| T1 až T5 | tranzistor n-p-n (např. KC507...) |
| T6 | tranzistor n-p-n (např. KF507...) |

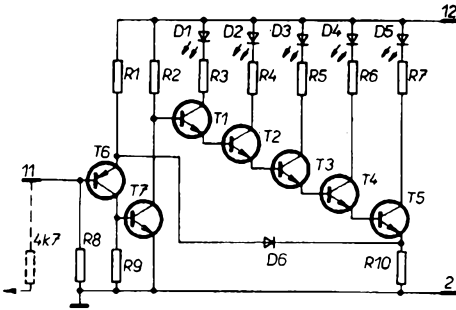
Zapojení vývodů

| | |
|--------|---------------------|
| 1, 12 | statický vstup 2 |
| 2 | 0 V |
| 4 | dynamický vstup 1 |
| 9 | dynamický vstup 2 |
| 10 | výstup |
| 11, 12 | statický vstup 1 |
| 12 | +4 až 6 V |

STE — Svítící teploměr

Podle naměřené teploty okolí se prodlužuje světelný sloupec, složený z bodů — svítivých diod. Řešení spočívá v několikastupňovém emitorovém sledovači, obr. 102.

Počítajte diodou D1, která je zapojena do kolektoričového obvodu tranzistoru T1, svítí postupně všechny pět svítivých diod, zvětšuje-li se vstupní napětí od 0 do 1 V. Závislost indikace na vstupním napětí se řídí společným emitorovým rezistorem R10, na němž je zesi-



Obr. 102. Svítící teploměr

lovačem s tranzistory T6, T7 a diodou D6 nastaveno určité výchozí napětí.

(Pokračování)

NÁŠ KVÍZ

Řešení úlohy 25

Situaci, kterou popisují naše úlohy, ilustrují obr. 1 a 2. Nachází-li se pozorovatel na zemském povrchu v bodu A (předpokládáme tvar ideální koule), jeho obzor se nalézá v bodu B, určeném místem dotyku tečny ke kružnici, dané rozměry zeměkoule. Uvedme zatím bez odvození, že tato tečna vymezuje vzdálenost s , pro kterou, při výšce očí h pozorovatele, platí

$$s = 3,57 \sqrt{h} \quad [\text{km; m}] \quad (1)$$

násobek je pro zadaný příklad vzdálen asi $4,37 \text{ km}$ — „nekonečno“ z úlohy V. Répy je tedy neočekávaně blízko.

Jde-li o případ dvou pozorovatelů, kteří jsou v různých vzdálenostech h_1 , h_2 od povrchu Země (obr. 2), jde o celkovou vzdálenost ($s = s_1 + s_2$)

$$s = 3,57 (\sqrt{h_1} + \sqrt{h_2}) \quad [\text{km; m; m}] \quad (2).$$

Obzor je tedy z extrémně vysoké televizní věže vysílače pro Varšavu vzdálen také překvapivě málo, pouze asi $90,74 \text{ km}$.

Řešení úlohy 26

Uvedené vzorce (1) a (2) není obtížné odvodit. Na průměru zeměkoule (obr. 1) např. můžeme vymezit pravoúhlý trojúhelník o odvěsnách, daných vzdáleností s a poloměrem zeměkoule r , a o přeponě, dané součtem poloměru zeměkoule a výšce (očí) pozorova-

tele ($r + h$). Podle Pythagorovy věty platí

$$s^2 + r^2 = (r + h)^2$$

nebo

$$s^2 + r^2 = r^2 + 2rh + h^2.$$

Po úpravě a za předpokladu, že výška pozorovatele (umístění antény) je mnohem menší než poloměr zeměkoule (který volíme např. podle Atlasu světa $r = 6378 \text{ km}$), dostáváme již uvedený vzorec (1).

Jde-li o dvě antény, jde o případ dvou pravoúhlých trojúhelníků (obr. 2), jejichž řešení vede ke vzorců (2).

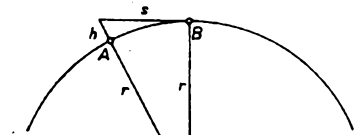
Předpokládáme-li, že praktický dosah vysílače na velmi krátkých a ultrakrátkých vlnách (VHF, UHF) je s ohledem na částečný ohýb elektromagnetických vln o asi 15 % větší, dostáváme pro praxi

$$s = 4,1 \sqrt{h}.$$

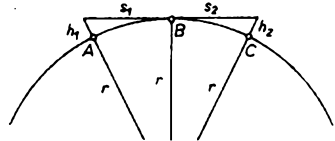
U vysílače Varšava můžeme proto předpokládat dosah asi 104 km .

Při této a podobných výpočtech je si třeba uvědomit, že jde pouze o hrubé, orientační výpočty, při nichž se nebude na zřetel mnoho dalších, někdy i důležitých činitelů.

-li-



Obr. 1.



Obr. 2.



INFORMACE, INFORMACE ...

Mezi časopisy z USA, které si lze předplatit, vypůjčit nebo prostudovat v knihovně STAR MAN BOHEMIA, 5. května 1, 140 00 Praha 4 - Pankrác, tel. (02) 42 42 80, jsme tentokrát objevili dva zajímavé časopisy, které jsou věnovány v technice v nejširším slova smyslu.

První z nich, RF design, s podtitulkem "technické principy a praxe", slaví v letošním roce 15. výročí svého založení a je věnován technickým a technologickým otázkám v technice. K ilustraci obsahového zaměření názvy několika hlavních článků z vybraného čísla: Výkonové výtranzistory DMOS a jejich charakteristiky proud/napětí/kapacita, Simulace obvodů výkonových zesilovačů při použití modelu Gummel-Poon ve SPICE, Použití křemíkových tranzistorů řízených polem, FET, ve výkonových zesilovačích pro pásmo L (500 až 1300 MHz), Kruhové směšovače s diodami, Program, analyzující produkty směšovače, Elektromagnetická služitelnost (EMC) nabývá na důležitosti atd.

Časopis má samozřejmě množství inzerátů z oblasti jak součástek, tak měřicích přístrojů z oboru výstav, má 76 stran formátu A4, vychází měsíčně a stojí v USA 5 \$.



Dalším časopisem je měsíčník **Microwaves & RF** (Microwaves a výstav) s podtitulkem "pro návrh obvodů vyšších kmitočtů". Časopis má 168 stran formátu A4, roční předplatné v USA je 60 \$.

Z obsahu letošního únorového čísla: Zajímavá je rubrika Feedback, kterou časopis začíná (jde o poznámky čtenářů k obsahu uveřejněných článků), následuje úvodník o součástkách GaAs a jako aktualita Novinky na trhu, Přehled přednášek na konferenci RF EXPO v San Jose, CA. Dále je uveden interview s Ch. Kermarrecem, ředitelem výroby z firmy Analog Devices, finanční zprávy z činnosti firem z oblasti výstav, konferencí, přehled výstav, konferencí, přednášek apod. z výstav, konference, Tepřve na 60. stránce je první z technických článků - Rídící obvod k získání lineární charakteristiky atenuátoru (pro pásmo Ku). Dalšími články jsou popisy mikropáskového obvodu, který umožnuje rozšířit měření při velké šířce pásm, článek o analýze vnějších a vnitřních zdrojů šumu oscilátoru, Jak porozumět měřením šumového čísla, článek o způsobu přesných měření v mikrovlnné technice, o vlivu bočníkových kapacit v přizpůsobovacích obvodech a výkonových zesilovačích, Keramická pouzdra jsou nahrazována plastovými atd.

Ochrana před nebezpečím kysličníku uhelnatého

Zdeněk Richter

O indikaci různých toxických, výbušných i jiných plynů již bylo na stránkách AR několik článků včetně stavebních navodů. V podstatě bylo popsáno použití skoro všech druhů dostupných senzorů FIGARO - a není jich málo - které jsou citlivé na různé druhy plynů (nebo skupiny plynů). Tyto senzory jsou upraveny tak, aby jejich citlivost byla maximální pro daný plyn a podstatně menší pro ostatní plyny, aby nemohly vzniknout falešné poplachy. Výrobce přitom udává citlivost, určující dolní hranici koncentrace, když již čidla musí reagovat na přítomnost daného plynu nebo par.

V poslední době už i u nás přicházejí různí výrobci na trh s detektory, které citlivě reagují na nebezpečí výbušných a toxických plynů ještě před jejich kritickou koncentrací. Objevilo se i zařízení naší výroby, které digitálně měří stupeň koncentrace sledovaného plynu.

Od konce šedesátých let se japonská firma FIGARO specializovala na výrobu plynových senzorů na bázi polovodičů. V podstatě se jedná o sinterovaný materiál na bázi kysličníku cínu dotovaný různými prvky. Přijde-li tělesko do styku s určitým plynem, jeho povrchové molekuly vyvolají chemické a fyzikální procesy měnící elektrickou vodivost těleska. Zmenší-li se koncentrace sledovaného plynu v okolí, zmizí i změny materiálu těleska a obnoví se původní stav vodivosti. Změna vodivosti závisí na koncentraci daného plynu.

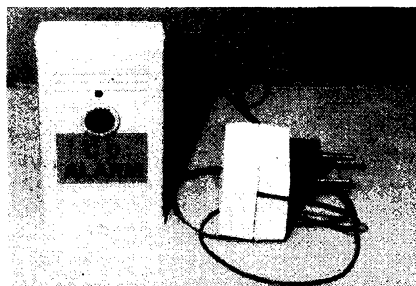
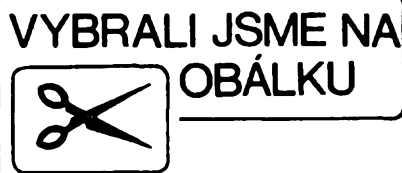
Chemické procesy probíhají v závislosti na teplotě těleska, které se liší podle materiálu a podle daného plynu. Pro každý plyn a materiál existuje určitá optimální teplota. Proto je tělesko ohříváno topnou spirálou z ušlechtilého kovu (platina apod.) na optimální teplotu, která bývá 100 až 300 °C. Firma FIGARO nabízí nejrůznější typy senzorů (AR 4/93), které vykazují velkou citlivost na určité plyny nebo sku-

pinu plynů a u kterých je potlačena citlivost na jiné plyny a páry.

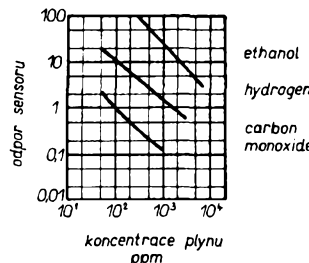
Jedním z nejnebezpečnějších plynů, se kterým jsme prakticky v každodenním styku je CO - kysličník uhelnatý. Jeho přítomnost svými smysly nevnímáme a jeho účinek se projevuje po určitém časovém úseku - někdy až příliš pozdě. Je bezbarvý a bez záparu. Koncentrace jedné setiny procenta způsobí za dvě až tři hodiny bolesti hlavy. Koncentrace 0,16 % (poměrně velmi malá) usmrť člověka za dvě hodiny, koncentrace větší než 1 % za dvě až tři minuty. CO vzniká při nedokonalém spalování biologických a fosilních paliv (dřevo, uhlí, benzín apod.), a může tedy být přítomen v každé garáži, autě, kotelniči domácnosti, kde se netopí elektricky, ve stanu v kempu, je přítomen v plynárenském plynu a kouřových zplodinách.

V článku se budeme zabývat speciálním čidlem pro indikaci CO a jeho použitím, i když jiná čidla (viz AR 4/93) kromě ostatních plynů reagují také citlivě i na CO. Čidlo TGS203 je výrobkem firmy FIGARO a prodává jej obchodní organizace Unitronic (SRN).

Čidlo TGS203 je vyrobeno z polovodičového materiálu, oxidu ciničitého (SnO_2), ve kterém jsou zataveny dvě spirály z paladia-india, umístěné na



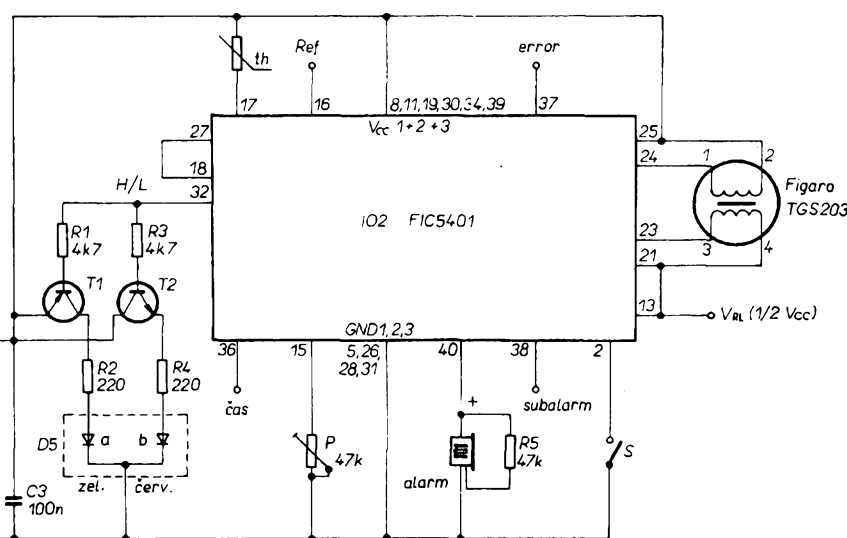
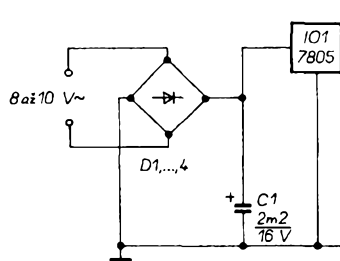
čtyřech niklových sloupcích a upevněné ve vysoce odolném plastovém pouzdře. Celá konstrukce je svrchu chráněna dvojitou jemnou mřížkou z ušlechtilé oceli. Nad krytem je vrstva aktivního uhlí (jako v plynové masce), která propouští CO, ale zadružuje ostatní plyny. Materiál polovodiče a pracovní teplota 100 °C jsou voleny tak, že je čidlo velmi citlivé na CO. Na obr. 1 je závislost změny odporu čidla na koncentraci CO v ovzduší. Citlivost čidla na vodík je jen 10 %, na alkohol jen 2,5 % ve srovnání s citlivostí na kysličník uhelnatý. Při poměrně nízké teplotě a v přítomnosti vzdušné vlhkosti reaguje čidlo pomalu. Proto je na krátkou dobu přezavárováno tak, aby



Obr. 1. Závislost změny odporu čidla na koncentraci CO

T1 = KC308 a pod
T2 = KC238 a pod

D1,...4 = 1N4003
D5 = LQ2134



Obr. 2. Zapojení detektoru CO

se vypařily vodní páry a zbytky molekul plynů předešlého stavu. Čidlo tedy indikuje koncentraci plynu při přežhavení polovodičového materiálu, během této periody je žhavicí proud třikrát přerušen, aby bylo možné měřit činný odpor čidla.

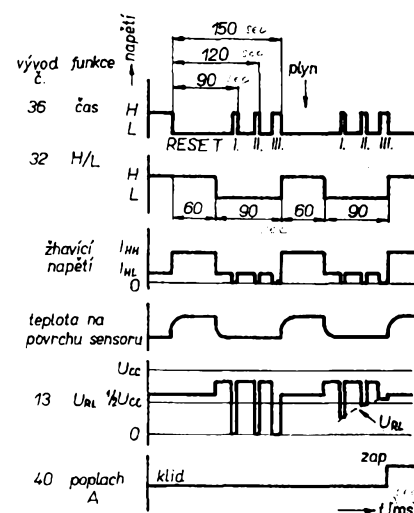
Pro zjednodušení měření, resp. indikaci přítomnosti CO pomocí čidla TGS203 vyrábí firma FIGARO jednoúčelový hybridní obvod FIC5401, k němuž stačí připojit senzor, napájecí napětí a několik málo externích součástek. Hybridní obvod obsahuje čtyřbitový mikroprocesor s generátorem taktu, přepnávací zdroj konstantního proudu (řídí vytápění snímacího těleska), detektor signálu, poplachový obvod a teplotní kompenzaci se speciálním externím termistorem. Pro optickou kontrolu činnosti obvodu slouží indikace dvoubarevnou svítivou diodou.

Casovací obvod řízený mikroprocesorem ovládá zdroj konstantního proudu tak, že po dobu 60 sekund je topné těleso napájeno proudem 369 mA (max. 380 mA), a podobu 90 sekund proudem 133 mA (max. 137 mA), takže tělesko má periodicky vyšší nebo nižší teplotu. Ve vhodné naprogramovaném čase přichází snímaný signál na komparátor mikroprocesoru a je-li snímané napětí větší než naprogramované, je spuštěn poplach. Tepelná kompenzace (termistor) vyrovnává vliv okolní teploty na přesnost indikace.

Obvod FIC5401 je ve čtyřicetivývodovém pouzdru o velikosti 56 x 12 x 31 mm. K napájení je použito stabilizované napětí 5 V. Má dva poplachové vývody: hlavní dává stejnosměrný signál o zatížitelnosti do 100 mA, vedlejší „subalarm“ jen do 12 mA. Jsou vyvedeny i úrovně L a H a časování.

Zapojení celého zařízení je na obr. 2. Odporovým trimrem P se nastavuje citlivost komparátoru: čím větší je jeho odpor, tím citlivěji snímač reaguje. Pro koncentraci CO nad 100 ppm je použit trimr s odporem 22 k Ω , pro nižší koncentrace 47 k Ω . Časový průběh signálu je uveden na obr. 3, kde vidíme tři časové intervaly: 28 ms, 27 ms a 500 ms, během nichž se měří signálové napětí. Během nejdélšího času - 500 ms - se sleduje napětí na výstupu čidla: je-li výstupní napětí větší než napětí nastavené trimrem P, uvede se v činnost poplachové zařízení.

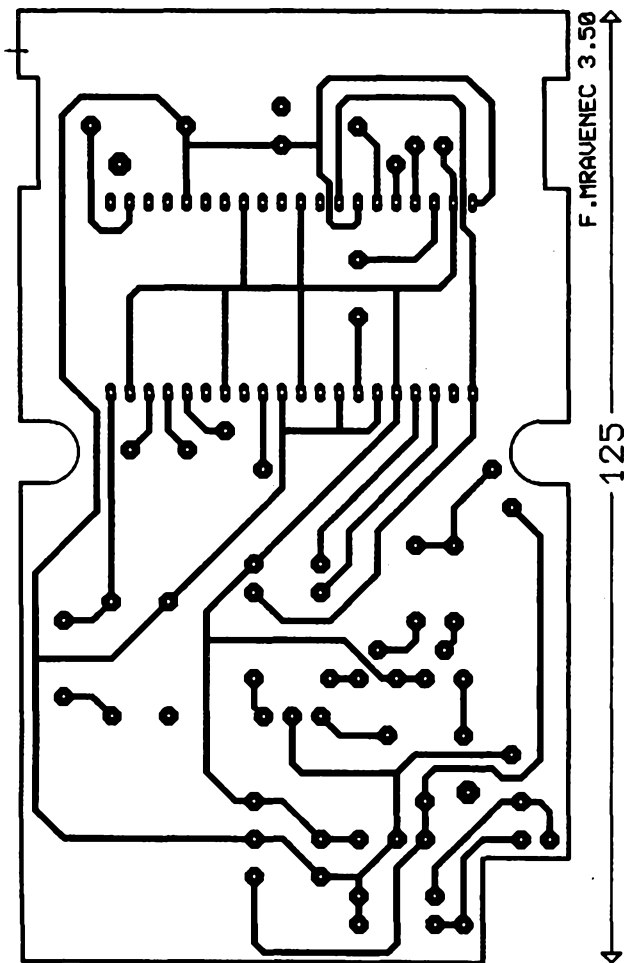
Průběh celého procesu musí být časově velmi přesný. Na diagramu na třetím rádku je znázorněn průběh žhavicího proudu. Ohřívání větším proudem na vyšší teplotu trvá 60 sekund, na nižší 90 sekund, a tedy celý měřící cyklus trvá 150 sekund. Během této doby je po 90 sekundách proud přerušen na dobu 28 ms, po 120 sekundách na 27 ms a na závěr na 500 ms, kdy komparátor porovnává napětí. Tento složitý proces je řízen mikroprocesorem, který zavádí i teplotní kom-



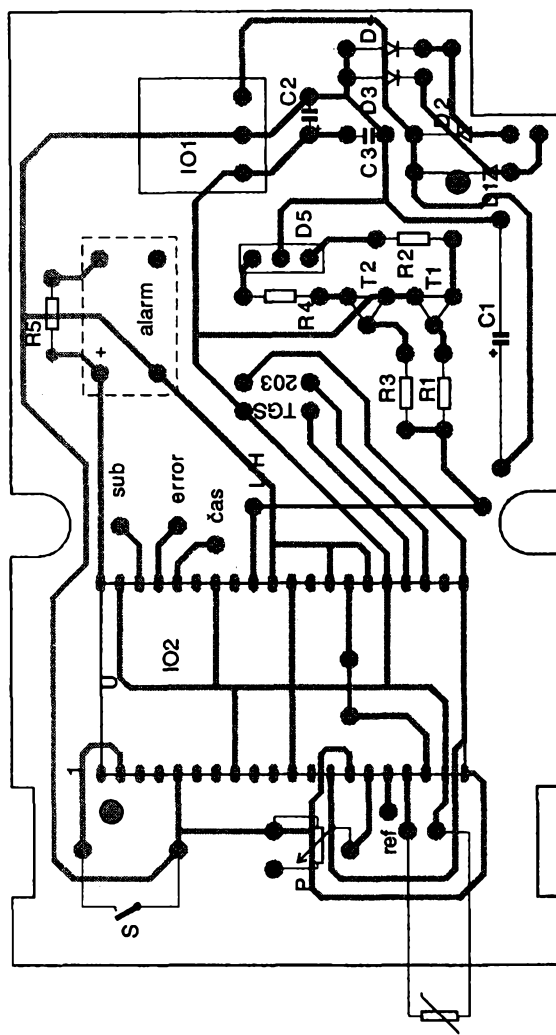
Obr. 3. Časový průběh signálů v zařízení

penzaci speciálním termistorem. Mikroprocesor může být připojen i na externí počítač nebo zapisovač a tak neustále sledovat stav ovzduší, či průběžně měřit koncentraci CO.

Po obr. 2 vidíme, že díky speciálnímu obvodu je počet externích součástí minimální. Pro napájení použijeme externí (síťový) zdroj se střídavým napětím 8 až 10 V pro zatížení 400 až 500 mA. Usměrňovač a stabilizátor 5 V je součástí přístroje. Stabilizátor připěváme na chladič. Speciální termistor



Obr. 4. Deska s plošnými spoji detektoru CO



c 91

(8KD-5-ISHIZUKA ELEKT., R₂₅-8kΩ, B-4200), dodávaný s mikroprocesorem a senzorem, umístíme co nejdále od chladiče. Termistor spolu s mikroprocesorem zabezpečuje správnou funkci zařízení pro okolní teplotu v rozmezí od -10 do +60°C. Tranzistory T1 a T2 a dvojitá LED (např. LQ2134) slouží k vizuální kontrole funkce přístroje. Na vývodu 32 mikroprocesoru je v době, kdy probíhá žhavení větším proudem, úroveň H, při menším proudu úroveň L. Podle střídání barev je možno sledovat správnou funkci zařízení. LED je zasazena do kontaktů z dutinek konektorů FRB, aby její výška odpovídala výšce senzoru. Vývod 40 (alarm) může sepnout stejnosměrné signální zařízení s napájením do 100 mA. Přidáme-li jeden tranzistor a tři odpory (viz katalog GM electronic - červenec 1993, str. 115) můžeme použít „samovyzuzovací piezoelement“ KPE121 nebo podobný. Výstup „subalarm“ je předpoplach (vývod 38), který je aktivní v okamžiku, kdy měřené napětí na komparátoru dosáhne jedné poloviny úrovni, při níž vzniká poplach. Může tedy dát předběžné varování, dosáhne-li koncentrace CO asi třetiny koncentrace, nutné pro vyvolání poplachu, ale zatížit jej můžeme jen proudem do 12 mA. Na vývodu 37 je při správné funkci obvodu stálé úroveň H, při poruše se změní na L. Spínač S slouží k testování a nastavení. Zapojíme-li místo čidla mezi vývody 21 a 25 rezistor s odporem 20 až 50 kΩ a sepneme S, musí se při určitém nastavení trimru P ozvat poplach. V prostředí bez CO nastavíme trim tak, aby po určité době žhavení právě nebyl vyvolán poplach. Odbor 50 kΩ vyvolá poplach při koncentraci CO 100 ppm (0,01 %). Koncentrace CO pod 50 ppm lze podle americké normy OSHA považovat za neškodné, německá norma povoluje max. 30 ppm. V kotelnách bývá hranice poplachu pro nedokonalé spalování 200 ppm.

Prototyp přístroje jsem postavil na desce s plošnými spoji o rozměrech 126 x 72 mm do plastikové krabice INZA (GM), viz obr. 4. Střídavé napětí

z externího napáječe je přivedeno konektorem v pravé horní části skřínky na desku s plošnými spoji. Na vysouvací čelní straně skřínky je umístěn spínač S. Na vrchní straně skřínky je vyříznuta díra o průměru 25 mm, kterou vyčnívá čidlo asi o 2 mm. Do desky se spoji jsou zapojeny čtyři duté nýtky, do kterých je čidlo zasazeno. Nad čidlem vyčnívá z krabice signální LED D5. Pro alarm jsem použil stejnosměrný bzučák. Integrovaný hybridní obvod je vyroben technologií CMOS, a proto ho na desku s plošnými spoji umístíme jako poslední. Použijeme odpovídající objímku, vyrobenou buď z rozříznuté objímky pro čtyřicetivývodové IO nebo z lámací objímky 2 x 20. Kromě dvou výstupků, na které přišroubujeme desku s plošnými spoji, všechny ostatní na obou půlkách skřínky odřizneme.

Souprava: čidlo FIGARO TGS203, termistor a obvod FIC5401 distribuuje UNITRONIC GMBH, Mundelheimer Weg 9, 4000 Düsseldorf 30, SRN. Katalogová cena souvavy při kusovém odběru je asi 120 DM, při odběru nad 25 kusů 103 DM.

Seznam součástek

Odpory miniaturní (TR 191 apod.)

| | |
|--------|-----------------------------|
| R1, R3 | 4,7 kΩ |
| R2, R4 | 220 Ω |
| P | 4,7 kΩ na ležato cermentový |

Kondenzátory

| | |
|----|---------------|
| C1 | 220 μF/16 V |
| C2 | 20 μF/10 V |
| C3 | 100 nF, TC215 |

Polovodičové součástky

| | |
|----------|--------------|
| D1 až D4 | 1N4003 |
| D5 | LQ3134 apod. |
| T1 | KC308 apod. |
| T2 | KC238 apod. |
| IO1 | 7805 |
| IO2 | FIC5401 |

Čidlo - TGS203

Termistor - viz text

Ostatní

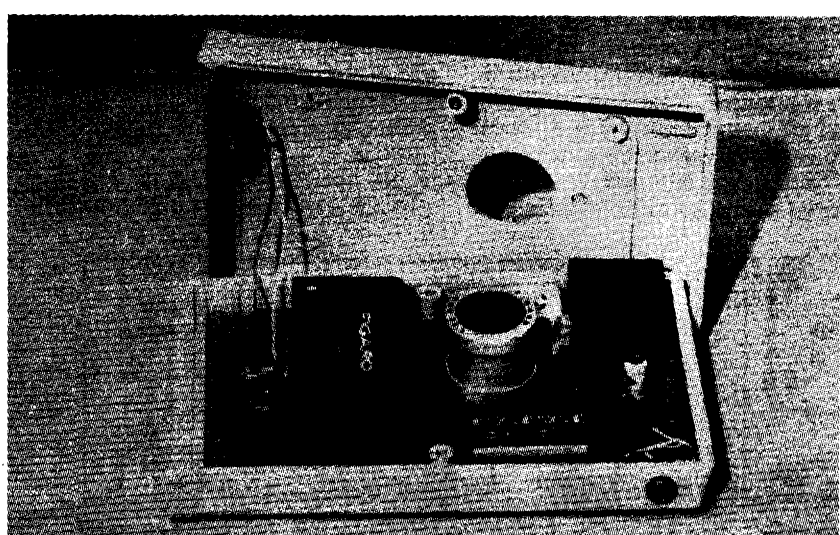
S - jednopohlový miniaturní spínač

Napájecí 8 až 10 V, 500 mA stříd.

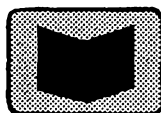
Skřínka INZA

Objímka - viz text

Napájecí konektor



ČETLI JSME

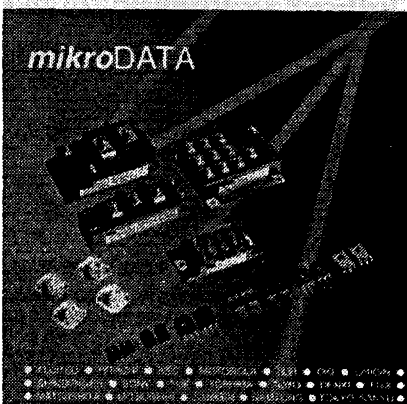


Vítězslav Šířík

Jiri Čuda

Japonské polovodičové součástky 2

Tranzistory 2SC11 - 2SC3300



Strží V., Ing.; Čuda J.: Japonské polovodičové součástky 2, vydalo nakladatelství Mikrodata, 1994, rozsah 112 stran A4, cena 58 Kč.

Již v září vyšel další díl úspěšné edice, který navazuje na započatou řadu katalogů. Obsahuje přehled parametrů tranzistorů 2SC11 až 2SC3300. Informace o prvním dílu Japonských polovodičových součástek jsme přinesli v AR A12/93.

Další očekávaný díl edice mikroDATA „Katalog polovodičových součástek 3“ je připravován na první čtvrtletí příštího roku.

Katalog elektrických přístrojů, vydalo nakladatelství STRO-M, 1994, rozsah 112 stran A4, cena 123 Kč.

Katalog elektrických přístrojů obsahuje vedle nabídky konkrétních přístrojů s uvedením jejich technických parametrů i souhrnný přehled výrobců a distributorů, kteří tyto výrobky nabízejí. Pro snazší orientaci v katalogu jsou výrobky členěny do jednotlivých sortimentních skupin (např. jističe, stykače a relé, přístrojové transformátory, spínači přístroje a ovladače pomocných obvodů, apod.). Cílem katalogu, který bude v následujících letech aktualizován, je podat široké elektrotechnické veřejnosti souhrnný přehled o výrobcích z oblasti elektrických přístrojů dostupných na našem trhu.

Oba tituly si můžete zakoupit nebo objednat na dobríku v prodejně technické literatury BEN, Věšínova 5, Praha 10, 100 00, tel. (02) 781 84 12, fax 782 27 75.

Slovenská pobočka : ul. Hr. Králove 4, 974 01 Banská Bystrica, tel. (088) 350 12.

Přehled japonských součástek také zasílá nakladatelství mikroDATA, PS 51, 738 01, Frýdek-Místek. Na Slovensku ho rozšiřuje Magnet-Press Slovakia s. r. o., Groslingova 62, 811 09 Bratislava.

Stavebnice SMT firmy MIRA - 5

Zapojení se světelnými efekty jsou v děčíním námětem příspěvků v časopisech a návody či stavebnice jsou mezi elektroniky ze záliby velmi populární. Zejména v pochmurných zimních měsících oživují různé elektronické blikáče, svítící šperky, světelní hadi a běžící světla naše okolí.

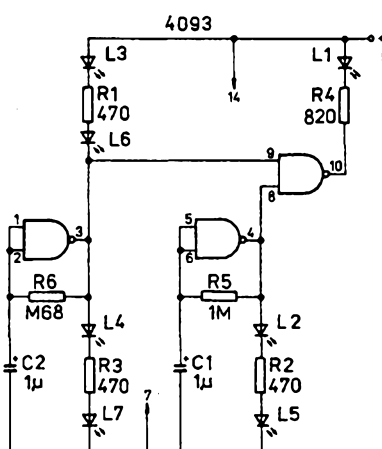
Vánoční doba je rovněž nakloněna různým blikajícím světlům. Příkladem může být jedno z nejúspěšnějších zapojení, blikající „vánoční hvězda“ (uvedeno v předvánoční době v AR).

A tak není divu, že nejen firma Conrad nabízí stavebnici blikajícího vánočního stromku (popisáno v AR A 93/6, str. 21), nýbrž i norimberská firma MIRA má ve svém rozsáhlém programu stavebnic provedených technikou povrchové montáže SMT (surface mounted technology) blikající ozdobu ve formě vánočního stromečku.

Vánoční ozdoba

Blikající vánoční stromeček je vhodný pro dekoraci, pro miniaturní pokojíčky panenek nebo kupecké krámy, — pro modelářství, jako nápadný odznak nebo ozdoba na vánoční stůl či pod stromeček.

Vestavěn je v plochém průhledném plastovém pouzdru s rozměry 69 x 32 x 7 mm, ve kterém je nale-



Obr. 1. Zapojení vánoční ozdoby

pena fólie se stylizovaným vánočním stromečkem, na jehož větvích nepravidelně bliká na místě svíček sedm miniaturních diod LED.

Technická data

Napájecí napětí: 9 V.
Odebíraný proud: 15 mA.
Rozměry: 69 x 32 x 7 mm.

Popis zapojení

Použitý integrovaný obvod 4093 obsahuje čtyři dvouvstupová hradla NAND, jejichž vstupy jsou opatřeny Schmittovými klopými obvody. Podle zapojení na obr. 1 jsou dvě hradla zapojena jako volně kmitající oscilátory s různým kmitočtem, na jejichž výstupech jsou diody LED (L3, L6 střídavě s L4, L7 a dále L2, L5) třetí hradlo je zapojeno tak, že výstupní takt pro diodu L1 je tvořen smíšením taktů obou oscilátorů.

Na obrázku 2 je deska s plošnými spoji MIRA 3661 (skutečné rozložení: 64 x 25 mm) a na obr. 3 zapojovací plánek vánoční ozdoby. Nejprve se doporučuje opatrně osadit integrovaný obvod (orientace je podle skosené hrany a protože se jedná o choulostivý obvod CMOS, citlivý na elektrostatické výboje, je vhodné jej vyjmout z ochranného vodivého obalu až těsně před zapojením), dále rezistorů, tantalových elektrolytických kondenzátorů (pozor na polaritu, proužek na pouzdro je +) a nakonec miniaturních diod LED (průměr 2 mm). Ty jsou v obvyklém drátovému provedení (nikoli SMD) a všechny anody směřují vždy k napájecím přívodům.

Předtím se však na neosazenou stranu desky s plošnými spoji nalepí přiložený samolepící bílý papír a jehou se propichá ze strany samolepky 14 otvorů pro vývody LED. Do nich se pak diody LED zasunou, na straně spojů poněkud ohnou (aby nevypadávaly) a připojí. Nakonec se připojí vývod pro baterii (červený je +, černý -). Po kontrole celého zapojení lze připojit destičkovou baterii (tu lze přilepit na zadní stranu pouzdra, takže slouží

jako podpěra). Z přiložené zelené samolepky se vystříhnou obrys vánočního stromečku a nalepí se na průsvitné pouzdro.

Seznam součástek:

| | |
|-------------------------|---------------------------|
| IO | HCF4093, ozn. 4093 |
| L1 až L7 | LD171 |
| C1, C2 | 1 μ F, ozn. 1 |
| R1, R2, R3 | 470 Ω , ozn. 471 |
| R4 | 820 Ω , ozn. 821 |
| R5 | 1 M Ω , ozn. 105 |
| R6 | 680 k Ω , ozn. 684 |
| R7, R8 | 0 Ω , ozn. 000 |
| přípoj pro baterii | |
| Samolepka bílá a zelená | |
| pouzdro | |

Třpytka

Miniaturní elektronický drahokam, pestře se třpytící různými barvami, vzniká nepravidelnými záblesky světla ze sedmi diod LED, zakrytých navíc rozptylovou destičkou, která ještě rozkládá každé světlo ve čtyři světelné segmenty. Použity jsou jednoduché i dvojitě diody LED v miniaturních pouzdrách SOT-23.

Třpytka je vhodná jako brož pro večírky (pokud chceme za každou cenu budit pozornost), pro hračky, v modelářství a pod.

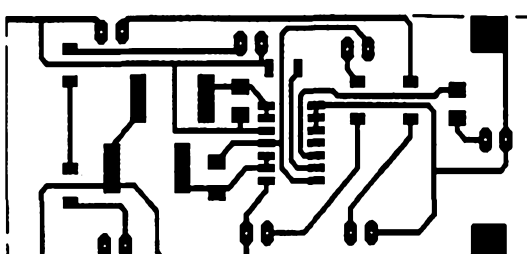
Technická data

Napájecí napětí: 9 V.
Odebíraný proud: 15 mA.
Rozměry: 36 x 26 x 8 mm.

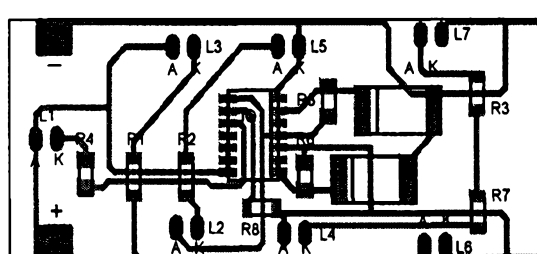
Popis zapojení

Opět je použit integrovaný obvod 4093 se čtyřmi hradly NAND se vstupními Schmittovými klopými obvody. Zapojení na obr. 4 je velmi podobné zapojení na obr. 1: dva volně kmitající oscilátory s různým kmitočtem, na jejichž výstupech jsou diody LED (L4 střídavě s jednou polovinou L1, L5 střídavě s druhou polovinou L1 a dále L3 mezi oběma výstupy). Třetí takt pro jednu polovinu L2 je získáván směšováním taktů obou oscilátorů. Tento takt je pak opět směšován s jedním ze základních kmitočtů a vzniká takt pro druhou polovinu dvojitě svítivé diody LED L2.

Na obr. 5 deska s plošnými spoji M 3662 s rozložením 30 x 20 mm (sta-



Obr. 2. Deska s plošnými spoji vánoční ozdoby



Obr. 3. Zapojovací plánek vánoční ozdoby s SMD

PowerPC 604 dále zvětšuje datovou výkonnost

Pouze 18 měsíců po zahájení výroby prvních procesorů řady RISC PowerPC 601 představuje aliance Apple/IBM/Motorola již třetí čip této řady PowerPC 604. Druhý procesor řady PowerPC 603 byl nabízen již v říjnu minulého roku. Mikroprocesory PowerPC, vyvíjené společně firmami Apple, IBM a Motorola, jsou založeny na architektuře RISC a integrují špičkové technologie a výrobní postupy IBM a Motorola. První testy Benchmark prokázaly u PowerPC 604 při hodinovém signálu 100 MHz odhadovanou hodnotu 165 podle SPECfp92.

PowerPC 604 je multiprocesorový čip se superskalární architekturou. Bude se vyrábět technologií CMOS se šírkou struktury 0,5 μm. Je vytvořen ze 3,6 miliónů tranzistorů, napájí se napětím 3,3 V. Zpracovává paralelně až čtyři instrukce během jednoho hodinového cyklu šesti prováděcími jednotkami. Rychlé třístupňové, s dvojnásobnou přesností pracující jednotky klouzavé desetinné tečky, umožňují uživateli zpracovávat stále častější programové pakety a multimediová použití.

Pomocí výkonné jednotky integer procesoru PowerPC 604 se plně využívají přednosti současných i budoucích požadavků na desktopy a servery. Společnosti Apple Computer a Power Personal Systems Division IBM uvedou na trh na bázi PowerPC 604 pracující osobní počítače a servery. Navíc tyto procesory budou použity v počítačích IBM model RS/6000 a pracovních stanicích a serverech skupiny Bull, Thomson CSF a Harris Computer Systems. Mezi další podniky, které své přístroje vybavují procesorem PowerPC, patří ASI, Canon, Escom, Ford Motor Company, HOB, Mercury Computer Systems, Parsytec, Peacock, Scientific Atlanta, Tadpole Technologies, Taiwan New PC Consortium, Vobis a řada dalších.

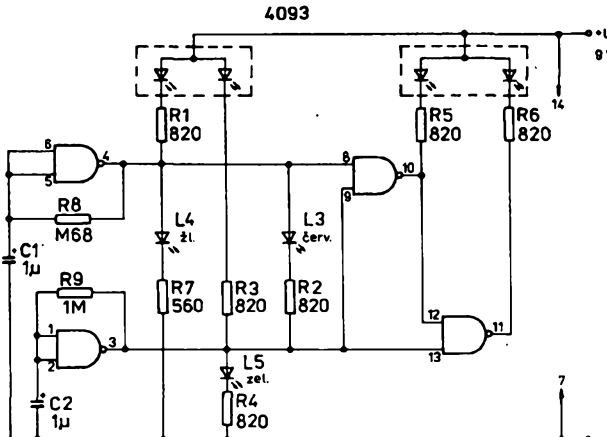
Mikroprocesory PowerPC mohou využívat rozsáhlé zázemí vyzkoušených programů. Mezi provozní systémy, podporující tyto mikroprocesory, patří Systém 7 firmy Apple, AIX a OS/2 firmy IBM, jakož též DOS, Power Open, Solaris, Taligent, Windows a Windows NT.

Vývoj mikroprocesorů PowerPC 604 probíhal ve středisku Somerset Design Center Motorola v americkém Austinu/Texas, výrobu bude zajišťovat IBM Microelectronics v Burlingtonu/Vermont a Motorola v Austinu. Vzorky nového čipu budou nabízeny ve třetím čtvrtletí 1994, náběh hromadné výroby se má uskutečnit koncem letošního roku.

SZ

Informace Apple, Motorola, IBM

Obr. 4.
Zapojení
třpytky



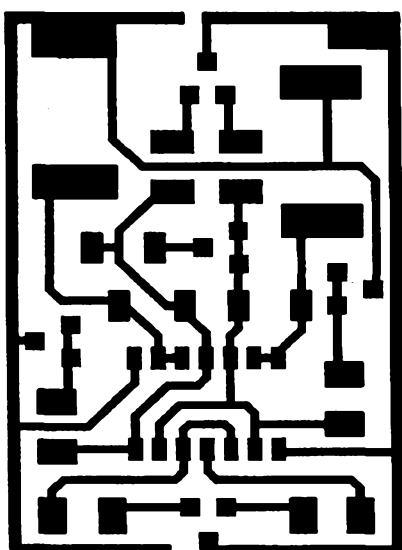
vebnice MIRA 3662) a na obr. 6 zapojovací plánek třpytky. Správná poloha integrovaného obvodu je označena skosením hrany pouzdra.

Při sestavování se doporučuje nejprve osadit integrovaný obvod, pak rezistory, dále diody LED (dvoujité svítivé diody LED mají bílé pouzdro, svítí však červeně nebo zeleně) a tantalové elektrolytické kondenzátory (polarita: proužek na pouzdro je +).

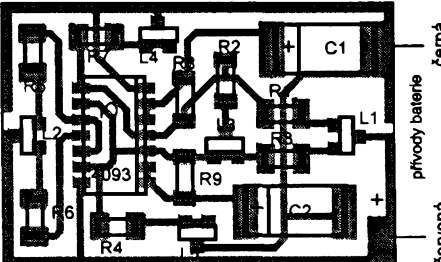
Osazená deska s plošnými spoji se vloží do průsvitného plastového pouzdra, na jehož včko se průsvitným lepidlem přilepí rozptylová destička.

Seznam součástek

| | |
|---------------------|------------------------|
| TO | HCF4093, ozn. 4093 |
| L1, L2 | dvojitá LED bílá |
| L3 | miniaturní LED červená |
| L4 | miniaturní LED žlutá |
| L5 | miniaturní LED zelená |
| R1 až R6 | 820 Ω, ozn. 821 |
| R7 | 560 Ω, ozn. 561 |
| R8 | 680 kΩ, ozn. 684 |
| R9 | 1 MΩ, ozn. 105 |
| C1, C2 | 1 μF, ozn. 1 M |
| průsvitné pouzdro | 36 x 26 x 6 mm |
| rozptylová destička | 36 x 26 x 2 mm |
| přípoj pro baterii | |



Obr. 5. Deska s plošnými spoji třpytky



Obr. 6. Zapojovací plánek třpytky s SMD

- Pro druhou odbočku děliče platí:

$$R_a = \frac{(U_{ref1} \cdot R_c - U_{ref} \cdot R_p) + \sqrt{(U_{ref} \cdot R_p - U_{ref1} \cdot R_c)^2 + 4 \cdot U_{ref1}^2 \cdot R_c \cdot R_p}}{2 \cdot U_{ref1}}$$

kde U_{ref} je napětí na vyšší odbočce děliče, v našem případě 1 V,

$$R_a = R7 + R8,$$

- Určíme $R7$:

$$R7 = R_a - R8,$$

- Určíme $R5 + R6$:

$$R5 + R6 = R_c - R_a,$$

- Kontrolujeme max. proud tekoucí do děliče:

$$I_{max} = \frac{U_{ref} \cdot (R8 + R7 + R_p)}{(R5 + R6) \cdot (R8 + R7 + R_p) + R_p \cdot (R8 + R7)}$$

Aby nebylo výrazněji ovlivňováno U_{ref} , mají být I_{max} i I_{min} podstatně menší než I_{ref} .

Ve zhotoveném vzorku byla použita referenční dioda KZZ45 s doporučeným I_{ref} přibližně 6 mA a potenciometr s odporem dráhy 94 kΩ. Tomu odpovídají i hodnoty součástek ve schématu. Rezistory R7 a R8 jsou dělené, aby bylo možné se snadno přiblížit vypočtenému odporu (je uveden ve schématu na obr. 3 u R7 a R8 v závorce). Pokud se nechcete zdržovat výpočtem, použijte součástky podle schématu, potenciometr s odporem zhruba 100 kΩ (ale min. 94 kΩ) a na 94 kΩ ho „dotáhněte“ paralelním odporem. Můžete si to dovolit, protože sběrač potenciometru v tomto zapojení zatížen není.

Použitý operační zesilovač, společně se zvoleným typem přepínače rozsahů a konstrukčním uspořádáním citlivých vývodů, rozhoduje o dolní mezi dosažitelného proudu na výstupu. Požadujeme-li nejcitlivější rozsah 1-10 pA s přesností lepší než 10 %, musíme použít OZ s $I_{out} < 100$ fA. Ve vzorku byl použit tuzemský typ

WSH223, který má bohužel atypické pouzdro s 12 vývody. V nabídce zahraničních výrobců se vyskytují vhodné typy i v klasickém kovovém pouzdu s 8 vývody; pak bude třeba upravit desku s plošnými spoji.

Konstrukční uspořádání

Obecně lze říci, že pouzdro OZ má být spojeno se sběračem potenciometru (tzv. aktivní stínění), neinvertující vstup OZ až po výstupní konektor a přepínač vyžaduje velmi kvalitní izolaci (teflonové pájecí body, popř. skleněné průchodky). Rovněž izolační hmota přepínače, který zde nahrazuje i pájecí body pro rezistory, musí být z hlediska izolačních odporů velmi kvalitní. Nelze tedy např. +IN vstup OZ zapojit do desky s plošnými spoji, popř. zasunout do objímky, avšak je nutné tento vývod vyhnout a připájet jej buď na kvalitně izolovaný pájecí bod nebo v nouzí jen letmo přímo na přívodní vodič. Ostatní vývody OZ doporučují umístit do objímky nebo do vhodných dutinek, např. z tzv. „precisní“ objímky DIL. Vývody 2, 3 a 10 (u WSH223) lze ponechat volné. Pro přívod k výstupnímu konektoru vyhověl běžný nf kablik s polyetylénovou izolací.

Jako přepínač S1 pro volbu polarity výstupu jakýkoli typ s malým přechodovým odporem i při malém zatížení, např. běžný páčkový nebo Isostat.

Z dostupných přepínačů vyhověl pro přepínač S2 bez problémů typ WK 53343 s 5 pakety a max. 12 polohami (lze nastavit zarážkou na požadovaných 10 poloh, 2. a 4. paket nejsou využity). Při použití rezistorů s velkým odporem menších rozměrů bylo možné použít i typ WK 53341 se 4 pakety, popř. WK 53339 se 3 pakety. Umístění referenčních rezistorů

je patrné ze schématu na obr. 3. Rezistory s odpory většími než 100 MΩ s malou tolerancí se shánějí hůře a pro co největší přesnost bude třeba vybírat z více kusů. Stupnice pod přepínačem je označena v jednotlivých polohách zleva od 10^{-12} do 10^{-3} A.

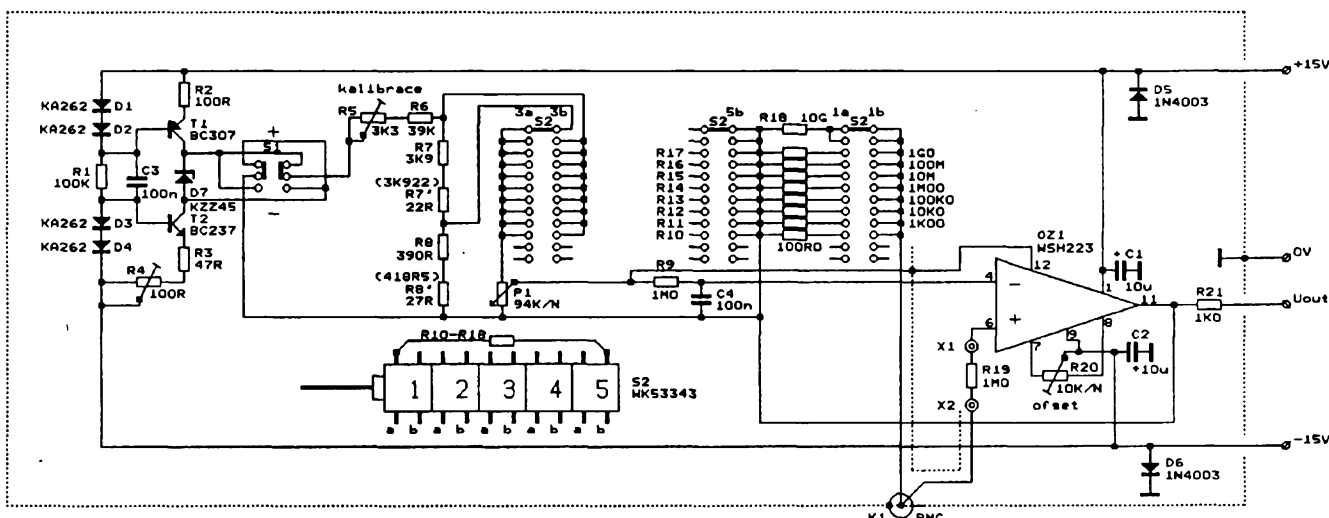
Celý přístroj je umístěn v kovové skříni (stačí z kuprextitu), která je u výstupního konektoru vodivě spojena s interní zemí (0 V). Deska s plošnými spoji je na obr. 4, rozmístění součástek je na obr. 5. Připojení přepínačů a potenciometru je na obr. 5 jen naznačeno, je třeba se orientovat podle schématu. Napájení ±15 V je vnější; síťový zdroj lze vestavět, je však vhodné jej umístit na oddělenou desku s plošnými spoji (popř. jen pájecí body) a od ostatních obvodů ho odstínit kovovou přepážkou. Ochranné diody D5 a D6 pak lze ze zapojení vystoupit.

Postup nastavení

- Vymout OZ1 z objímky a trimrem R4 nastavit na kolektoru T1 napětí přibližně $U_{ref}/2$ (+5,4 V při použití KZZ45 na místě D7). Tím se nastaví shodnost obou pomocných zdrojů proudu. OZ1 zasunout zpět do objímky.

- Nastavit 9. polohu S2 (0-1 mA), P1 na 10 (tj. doprava) a R20 nastavit tak, aby proud na výstupu měl stejnou absolutní hodnotu v obou polaritách (přepínáme S1).

- Zkratovat výstup U_{out} , S2 na 9. rozsah; pak je napětí na zátěži nulové a $U_{out} = U_{ref}$. P1 na maximum (pravá krajní poloha) a na výstupu U_{out} nastaví trimrem R5 přesně 1 V. Pak pomocí P1 nastavovat na výstupu U_{out} napětí od 0 do 1 V s krokem 50 mV a na přední panel zakreslovat značky, podle nichž pak nakreslíme stupnice. Tímto postupem se vyloučí vliv R_{ref} a tím i jeho tolerance na přesnost cejchování P1 (potenciometr lze ocejchovat i samostatně jako klasický napěťový dělič s rozsahem stupnice 0 až 10). Linearita stupnice odpovídá



Obr. 3. Celkové schéma zapojení

průběhu odporové dráhy použitého potenciometru.

- S2 na 9. rozsah, P1 na max. (tj. doprava) a na výstupu měřit proud. Má být 1 mA s předepsanou tolerancí (při změně polarity se absolutní hodnota proudu nesmí změnit o více než 0,5 %). Obdobně lze zkontrolovat i ostatní rozsahy.

Použití

Po připojení napájecího napětí zvolíme polaritu výstupního proudu přepínačem S1 a jeho velikost jako součin mezi údajem stupnice u potenciometru a exponentem u přepínače. Zvolený proud je k dispozici na konektoru K1. Pokud nás zajímá napětí na zátěži, lze je stanovit snadno bez ovlivnění podmínek měření podle vztahu pro U_{Ro} , kde za U_{ref} dosadíme pro 1. až 9. rozsah údaj u P1/10, pro 10. rozsah P1/100. Pak lze měřit (při libovolné polaritě a volitelném napětí do asi 10 V) odpory až do 10 TΩ !

Závěr

Popsané zapojení lze modifikovat podle požadavků; potenciometr lze nahradit odporovou kaskádou, ovládanou např. palcovými přepínači. Místo cejchování stupnice lze referenční napětí na výstupu potenciometru a tím i velikost výstupního proudu vyhodnocovat voltmetrem (třeba číslicovým modulem) atd. Výstupní proud lze ještě zvětšit pomocí komplementárních sledovačů na výstupu OZ. Pro proudy větší než asi 1 nA vyhoví běžný operační zesilovač JFET, např. MAC155.

Měřící zdroj proudu patří mezi ty přístroje, bez kterých se uživatel těžko obejde, když si na práci s nimi zvykne. V možnosti měřit extrémně velké odpory při malém napětí nemá popsáne zapojení (vzhledem k porizovací ceně) konkurenci. Uvedené zapojení bylo zvoleno jako kompromis mezi užitnými vlastnostmi a pořizovacími náklady a po delším používání tohoto přístroje se ukázalo, že zcela vyhoví jak pro amatérskou, tak i pro běžnou profesionální praxi.

Literatura

[1] Dostál, J.: Operační zesilovače. SNTL: Praha 1981.

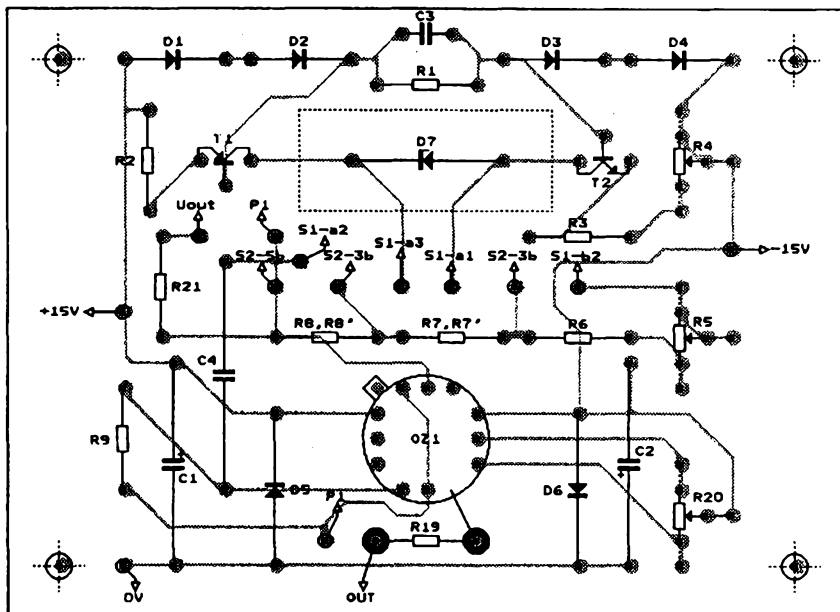
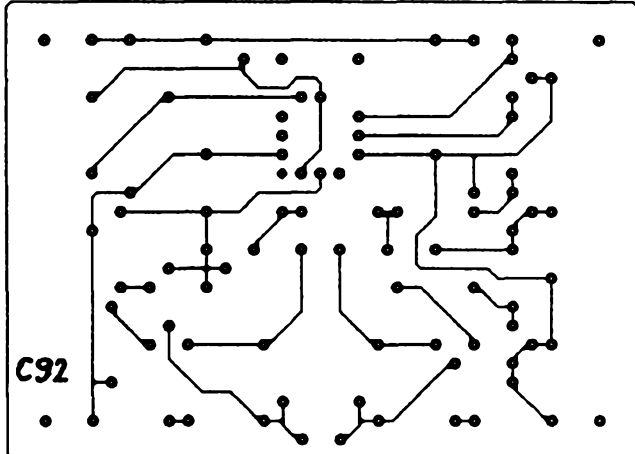
[2] Kol.: Hybridní integrované obvody pro měřicí techniku. TESLA Lanškroun, 1983 (katalog).

Seznam součástek

Rezistory

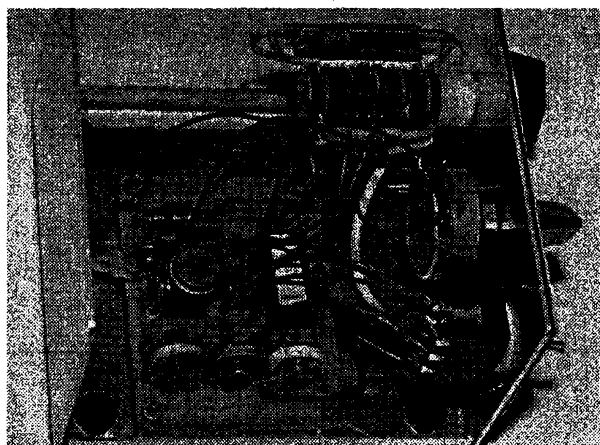
| | |
|-------|-----------------|
| R1 | 100 kΩ, J (5 %) |
| R2,R4 | 100 Ω, J |
| R3 | 47 Ω, J |
| R5 | 3,3 kΩ, J |
| R6 | 39 kΩ, J |
| R7 | 3,9 kΩ, F (1 %) |
| R7' | 22 Ω, J |
| R8 | 390 Ω, F |

Obr. 4.
Deska
s plošnými
spoji
(rozměr:
82,5 x 60 mm)



Obr. 5. Rozmístění součástek

| | | | |
|--------|-----------------------|------------------------------|--------------------------|
| R8' | 27 Ω, J | Kondenzátory | C1,C2 10 µF/35 V, TE 986 |
| R9,R19 | 1 MΩ, J | C3,C4 100 nF/12 V, keramický | |
| R10 | 100 Ω, F | | |
| R11 | 1 kΩ, F | | |
| R12 | 10 kΩ, F | Položivočové součástky | D1,D2,D3,D4 KA262 |
| R13 | 100 kΩ, F | | D6,D5 1N4003 |
| R14 | 1 MΩ, F | | D7 KZZ45 |
| R15 | 10 MΩ, F | | T1 BC307 |
| R16 | 100 MΩ, F | | T2 BC237 |
| R17 | 1 GΩ, J | | OZ1 WSH223 |
| R18 | 10 GΩ, J | Ostatní součástky | |
| R20 | 10 kΩ/N, trimr | S1 páčkový | |
| R21 | 1 kΩ, J | S2 WK53343 | |
| P1 | 94 kΩ/N, potenciometr | K1 BNC | |



Obr. 6.
Pohled
dovnitř
přístroje

Televizní přijímač pro teletextovou kartu do PC

Technické údaje přijímače

Norma příjmu: CCIR D/K.
Pásma: I - III. tv pásmo, S - pásmo,
IV - V. tv pásmo.
Napájení: z teletextové karty PC
(kabel v přísl.).
Vstup: anténní $75\ \Omega$,
VHF koaxiální zásuvka.
Výstup: standardní videosignál,
výst. konektor CINCH,
(kabel není v příslušenství).
Teplota okolí při provozu: 10 až 30°C.
Rozměry: 170 x 90 x 35 mm.
Hmotnost: 270 g.

Provedení

Přijímač je vybaven vstupní jednotkou NOKIA SK 1005, laděnou frekvenci syntézou. Jako mf zesilovač a demodulátor je použit IO A241D. Výstup signálu VIDEO je vyveden přes emitorový sledovač na konektor CINCH. Součástí jednotky přijímače je i měnič 12/33V. Přijímaný kmitočet (kanál) se nastavuje prostřednictvím programu v počítači. Program je součástí dodávky zařízení.

Popis přijímače

— Vstupní jednotka SK 1005 je řízena po sběrnici IC². Data, potřebná k řízení jednotky, jsou získávána softwarově v počítači PC ve spolupráci s kartou teletextu. Tato karta se zasouvá do volného slotu v počítači. Prodejce bude dodávat tuto teletexto-

vou kartu také jako vnější jednotku, která bude řízena z počítače po sériovém výstupu PC.

Data se přenášejí do přijímače po sběrnici IC², po dvou vodičích. Program poskytuje možnost nastavit potřebný vysílací kanál a dále jej jemně doladit. Vše se uloží a přejde se do programu teletextu, ve kterém lze ukládat jednotlivé stránky do paměti počítače, případně je průběžně obnovovat atd. Softwarové podrobnosti poškynete prodejce.

Přijímač je napájen z karty teletextu napětím +5 V a +12 V. Protože v počítači není k dispozici napětí +33 V, potřebné k napájení smyčky ladění fázového závesu vstupní jednotky, je napětí 33 V získáno měničem 12/33 V se stabilizací obvodem TAA550 (MAA550). Kmitočet měniče se pohybuje v rozmezí 6 až 8 kHz.

Mf signál ze vstupní jednotky je přiveden na filtr s postupnou vlnou Siemens OFWK 1950M (norma CCIR D/K). Signálem z výstupu tohoto hřebenového filtru je napájen symetrický vstup obvodu A241D. Výstup filtru je přizpůsoben rezistorem 1 kΩ.

Z vývodu 4 IO A241D je odebíráno napětí pro řízení AVC vstupní jednotky. Bod AVC se nastavuje trimrem 220 kΩ. Jednotka má tedy vlastní řízení AVC, nezávislé na počítači.

Obrazový demodulátor je realizován obvodem LC - čívek TOKO 1046Z s kondenzátorem 68 pF. Výstupní signál VIDEO je vyveden přes emitorový

sledovač a elektrolytický kondenzátor 10 µF. Jednotka přijímače je dále opatřena anténním vstupem, který je galvanicky oddělen od desky s plošnými spoji jednotky. Vychází se ze zkušenosti, že není výjimečný stav, kdy na rozvodu STA je proti nulovému vodiči rozvodné síť 220 V až 30voltový potenciál. Po připojení antény k přijímací jednotce bez galvanického oddělení by počítač „zkolaboval“.

Pro datový a napájecí výstup je použit konektor CANON 9pin. Součástí dodávky přijímače je i kabel pro spojení s kartou teletextu.

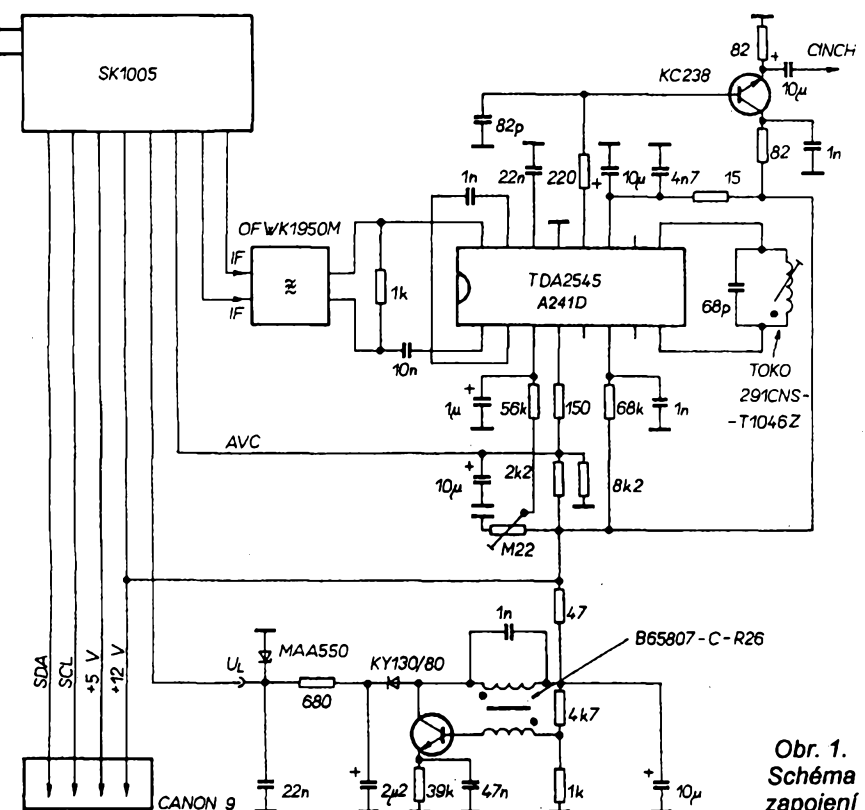
Přijímač je osazen na dvoustranné maskované desce s plošnými spoji. Jako kryt byla použita známá krabička U-VATRON, kterou prodává firma GM electronic.

Montáž

Na kartě teletextu vytáhneme spojku zátěže 75 Ω. Jednotku teletextu, kterou tvoří karta opatřená konektory CINCH a CANON, vložíme do volného slotu v počítači. Je přitom lhůtné, do které pozice bude karta vložena. Kartu zajistíme šroubkem a počítač zakrytujeme. Při vypnutém počítači spojíme tv přijímač s kartou teletextu kabelem s konektory CANON a kabelem CINCH (běžný stíněný kabel s koncovkami CINCH). V žádném případě nepřipojujeme přijímač do počítače při zapnutém přístroji! Mohl by se poškodit počítač!

Do počítače vložíme disketu s programy ladění a teletextu. Instalujeme programy podle návodu. Spustíme program ladění a nejprve zvolíme požadovaný televizní kanál. Pokud bychom si chtěli zkontrolovat kvalitu videosignálu na výstupu CINCH přijímače, použijeme ke kontrole televizní přijímač se vstupem pro VIDEO signál. Dále v případě potřeby jemně doladíme přijímaný tv kanál dalším krokem v programu. Poté spustíme program TELETEXT. Program je určen pro počítače řady 286 a vyšší. V teletextovém programu pak můžeme jednotlivé stránky načítat, ukládat, obnovovat apod. Obsluha programu je velice snadná a přistupná i osobám bez znalosti práce na PC. Program například umožnuje ukládat denní informace (např. kurzovní listky, výsledky obchodů na burze atd.). Programově lze volit cestu kam informace budeme ukládat, zda je budeme obnovovat, přidávat apod. Tento způsob ukládání informací ocení zejména ti, kdo denně vystříhují různé aktuální tabulky z tisku a pracně je vylepují do sešitů (např. jako účetní kurzové listky), aby tak uchovali pravidelné informace, které stále potřebují mít k dispozici.

Tv přijímače pro teletext vyrábí firma TES elektronika a.s., Kamennice 41, Praha-východ, koupit je můžete u firmy EPLT Tibor Lipták, Myslíkova 5, Praha 1.



Obr. 1. Schéma zapojení

Jednoduchý „mini“ přijímač AM

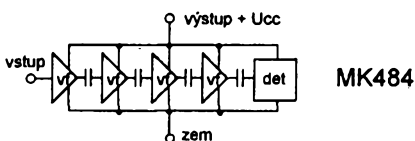
Přijímač je konstruován jako kapesní, pro příjem rozhlasových stanic v pásmu středních nebo dlouhých vln. Může být napájen z devítivoltové baterie nebo z externího zdroje. Při jeho návrhu byla dána přednost přemozesilujícímu zapojení před zapojením superhetu z důvodu jednoduchosti zapojení a snadného nastavení. Přijímač je vhodný (díky dobré reprodukovatelnosti) i pro začátečníky.

Technické údaje

Napájecí napětí: 9 V (7 až 12 V).
Klidový odběr proudu: asi 5 mA.
Kmitočtový rozsah: SV nebo DV.
Výstupní výkon: 0,5 W.

Zapojení „mini“ přijímače AM

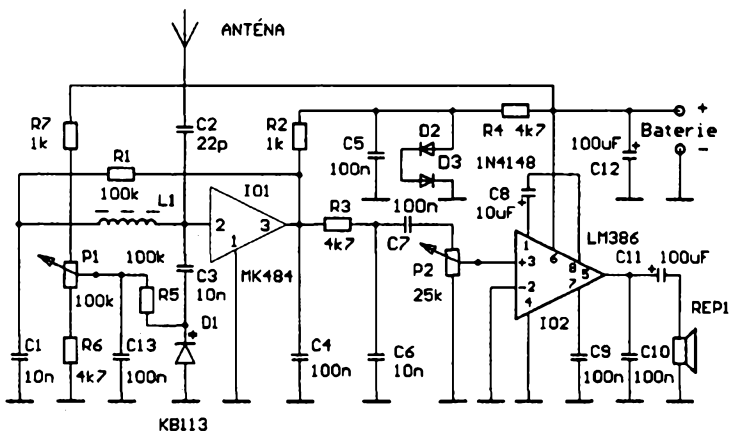
Přijímač je osazen speciálním integrovaným obvodem MK484 - firmy Mostek. Tento integrovaný obvod se skládá ze čtyřstupňového řízeného vf zesilovače s velkým ziskem a demodulátoru s malým zkreslením. Blokové zapojení integrovaného obvodu je na obr. 1.



Obr. 1. Blokové schéma obvodu

Odebíraný proud IO MK484 je 400 μ A, minimální napájecí napětí je 1,2 V a maximální povolené napájecí napětí je 1,8 V.

Vstupním obvodem (obr. 2), do něhož přicházejí vysokofrekvenční signály, je laděný rezonanční obvod L1,D1, jehož selektivita pro příjem silnějších stanic vyhovuje. Rezonanční obvod je plynule laděn změnou napětí přívaděného z potenciometru P1 přes oddělovací rezistor R5 na varikap D1. Cívka L1 je navinuta na feritové tyčce o průměru 10 mm a délce 80 mm, můžeme použít i delší. Feritovou tyčku omotáme papírem a na něj vineme příslušný počet závitů podle toho, jaké pásmo chceme přijímat. Aby se dalo cívku po navinutí závitů volně posouvat, vložíme mezi feritovou tyčku a papírovou kostřičku ještě podélně kousek rovného drátu o průměru 1 mm, který po navinutí vyjmeme. Pro příjem stanic v pásmu středních vln navineme na cívku L 50 závitů měděným lakovaným drátem o průměru 0,2 mm; pro příjem v pásmu dlouhých vln navineme na cívku L1 200 závitů mědě-



Obr. 2. Schéma zapojení

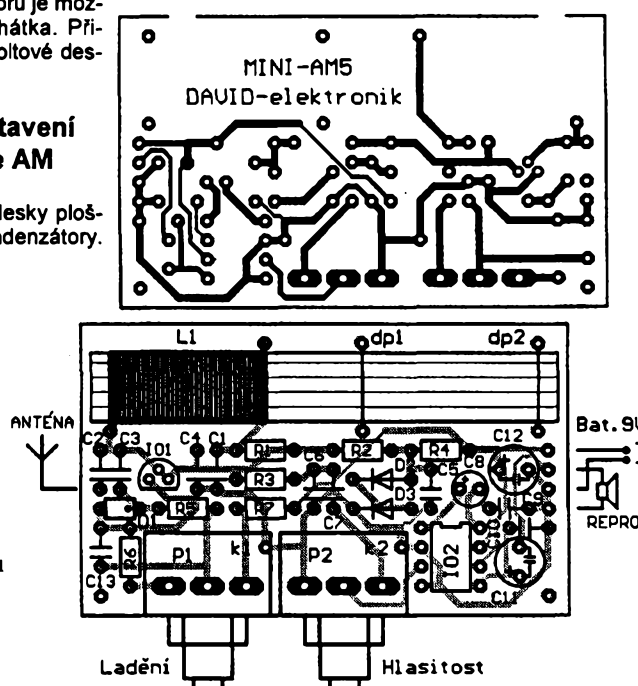
U elektrolytických kondenzátorů dbáme na správnou polaritu. Zapojíme integrované obvody a pak potenciometry a cívku L1. U integrovaných obvodů dbáme na správnou orientaci vývodů. Kostru potenciometrů P1, P2 připojíme na pájecí body k1, a k2. Po správném a pečlivém zapojení pfedepsaných součástek připojíme napájecí napětí. Přijímač po naladění potenciometrem P1 již musí zachytit rozhlasové vysílání silných místních stanic v pásmu středních nebo dlouhých vln. Posouváním cívky L1 po feritové tyčce nastavíme přijímané pásmo. Pro případné větší změny lze změnit počet závitů cívky L1. Směrováním feritové antény lze nastavit optimální příjem. Po naladění přijímače zajistíme feritovou tyčku dvěma spojkami k desce s plošnými spoji a cívku zakápneme proti posuvu voskem. Pro příjem slabších stanic je potřeba připojit jedno až dvoumetrový kus drátu na vstup IO1 přes oddělovací kondenzátor C2.

Seznam součástek

| | |
|----------------------|------------------|
| R1, R5 | 100 kΩ |
| R2, R7 | 1 kΩ |
| R3,R6,R4 | 4,7 kΩ |
| P1 | 100 kΩ/N, TP160 |
| P2 | 25 kΩ/G, TP160 |
| C1,C3,C6 | 10 nF, keramika |
| C2 | 22 pF, keramika |
| C4,C5,C7,C9,C10 | 100 nF, keramika |
| C11, C12 | 100 μF, 16 V |
| C8 | 10 μF, 16 V |
| D1 | KB113 |
| D2, D3 | 1N4148 |
| IO1 | MK484 |
| IO2 | LM386 |
| L1 | viz text |
| Konektor baterie 9 V | |

Sadu součástek „mini“ přijímače AM - rezistory, kondenzátory, diody, potenciometry, integrované obvody, desku s plošnými spoji, konektor 9 V a feritovou anténu lze objednat na dobitku za cenu 184 Kč, osazený a oživený mini přijímač za cenu 199 Kč. Poštovné 26 Kč. Uvedené ceny jsou včetně DPH. Adresa: DAVID - elektronik, Teyschlova 15, Brno 635 00.

V článku „Stavebnice pro přenos zvuku IČ světlém“ byly uvedeny nesprávné ceny stavebnic. Sada součástek pro vysílač je za 269 Kč a sada pro přijímač za 342 Kč.



Obr. 3. Deska s plošnými spoji

Vánoční hvězdička potřetí

Cyril Běčák

Stavba tohoto elektronického obvodu byla poprvé zveřejněna v AR A10/91 [1]. Podle redakce AR to byl velmi oblíbený výrobek, do kterého se pouštěli i začátečníci, kteří tuto stavbu často zcela nezvládli. Mohu to potvrdit, protože během tří let (od zveřejnění) jsem měl možnost posoudit větší množství těchto výrobců a sotva 10 % z nich bylo zcela funkčních. Chyby při stavbě, kterých se málo úspěšní konstruktéři dopouštěli, by se daly rozdělit do čtyř skupin:

1. Nejčastěji - nezvládnutí pájení na titerných plošných spojích se stěsnanými součástkami (zkraty - cínové můstky).

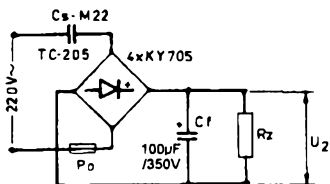
2. Neznalost funkce jednotlivých součástek obvodu a s tím spojená neúspěšnost při hledání chyb a jejich odstraňování.

3. Nezvládnutí mechanických prací jak na desce s plošnými spoji (vrtání děr pro součástky), tak při sestavení desek (vnější estetika!).

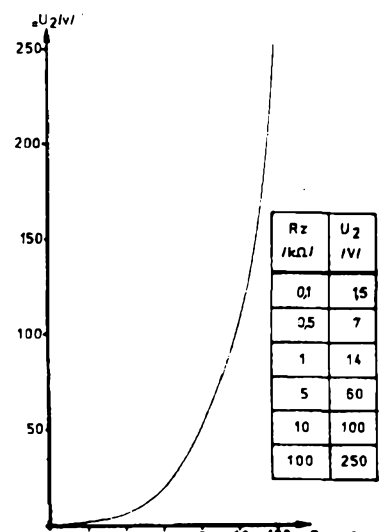
4. Obecně nezvládnutá bezpečnostní stránka elektronického obvodu, který je galvanicky spojen se sítí - (ač na tu stránku stavby autor zvláště upozorňoval!).

Dohodl jsem s šéfredaktorem AR, že tento článek venuji právě těm, kteří touží mít svou hvězdičku plně funkční. Proto prosím o shovívavost ty pokročilé amatéry, kterým se mé rady a návody budou zdát příliš jednoduché či zbytečné.

Renovace původní konstrukce - viz [1] spočívá v přemístění zdrojové části do samostatné krabičky, na které je přišroubována síťová vidlice. Tato úprava zaručuje nezámenné připojení fázového přívodu na "bezpečné místo"



Obr. 1. Zapojení napájecího zdroje pro seznámení s jeho funkcí



Obr. 2. Napětí na výstupu zdroje pro měnič se zátěž

- viz popis dále. Rovněž deska s plošnými spoji je upravena překreslením na systém "vodivých čar a pájecích bodů" - terčíků, dostatečně od sebe vzdálených, aby při pájení nevznikaly mezi zkraty cínovými můstky.

Za dosi důležité považuji seznámit se důkladně s napájecím zdrojem. Ten byl pro mnohé části zdrojem nepřijemnosti. Jeho zapojení je na obr. 1. Pro experimenty se zdrojem jsem zvolil diody a filtrační kondenzátor pro větší napětí. Zdroj jsem měřil pro různé zátěže, z měření vyplynulo:

- je-li zdroj bez zátěže, napětí na filtračním kondenzátoru se zvětší na napětí sítě krát odmocnina ze 2 (asi 310 V). Toto napětí je měkké a po připojení zátěže se zmenšuje. Čím je zátěž větší (např. rezistor s menším odporem), tím je napětí na zátěži menší,

- je-li místo zátěže zkrat, pak i napětí na filtračním kondenzátoru C_f bude nulové, na sériovém kondenzátoru C_s bude téměř plné napětí sítě a diodami v můstku teče proud, omezený impedancí kondenzátoru C_s. Pro napětí 220 V, kmitočet 50 Hz a kondenzátor 220 nF je tento proud zhruba 15 mA a někdy tedy poškození diodového můstku.

Výsledek měření pro měnič se zátěž je na obr. 2. Nyní tyto znalosti aplikujeme na elektroniku hvězdičky - viz [1]:

- Předpokládejme zkrat na C₅ nežádoucím cínovým můstkem. Na C₆ je plné sítové napětí. Obvod je nefunkční, nic se však nepoškodí, viz výše.

- Jiný předpoklad: diody LED jsou chybějící zapojeny a nevedou proud. Stejnosměrné napětí na C₅ se zvětší až nad maximální přípustné napětí C₅ - elektrolytický kondenzátor se zahřeje, poškodi a často i exploduje (jak dožíml v konkrétní události).

- Je nutné dodržet stanovené typy kondenzátorů (jejich jmenovité napětí). Použijeme-li například C₆ na menší napětí, může se stát, že se po krátké době provozu zničí (zkratuje). Pojistka se sice přeruší, ale současně se mohou také poškodit diody v můstku.

- Úspěchu při konstrukci lze dosáhnout jen při dodržení všech bezpečnostních zásad.

Na desce napájecího zdroje na obr. 3 je místo pro tři Zenerovy diody (D₅, D₆, D₇). Zvolíme je tak, aby součet jejich Zenerových napětí byl v rozmezí 55 až 60 V. Mají za úkol ochránit zdroj před zkázou i tehdy, nejsou-li připojeny LED. Navíc si můžeme ověřit činnost zdroje samostatně. Zenerovy dio-

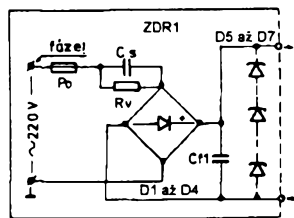
dy nepotřebují sériový odpor v kladné větví, protože zdroj dává jen omezený proud - viz obr. 2. Deska s plošnými spoji a rozmístění součástek zdroje ZDR1 je na obr. 4.

Elektronické obvody

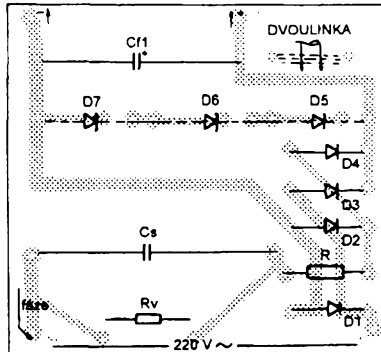
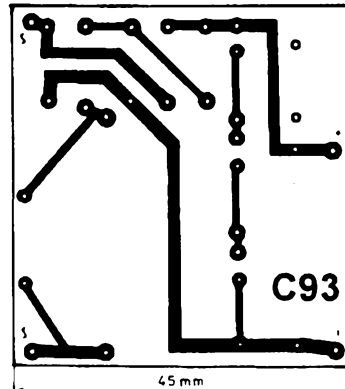
- varianta 1

Blokové schéma na obr. 5 znázorňuje propojení obvodů, téměř shodné s původní deskou elektroniky, pouze napájecí napětí je přivedeno ke hvězdě tenkou dvoulinkou - pozor na správnou polaritu! Schéma postupného spínače pro tři skupiny LED je na obr. 6. Deska s plošnými spoji a rozmístění součástek je na obr. 7. Pro vazební elektrolytické kondenzátory C₁, C₂ a C₃ jsou nevhodnější tantalové kapky naší nebo zahraniční výroby (2 až 4 µF/40 V), či běžné elektrolytické kondenzátory Philips nebo japonské s radiálními vývody (2 až 4 µF/50 V). Tužemské elektrolytické kondenzátory starší výroby (TC, TE) raději nepoužijete, stárnutím se zhoršují jejich vlastnosti a zařízení se s nimi obtížně uvádí do provozu.

Tranzistory T₁, T₂ a T₃ jsem vyzkoušel jak původní KC237A, tak i KC507, a to dlouhodobě. Z devíti kusů nevydržel pouze jeden, ostatní pracují dodnes bez závad. Deska s plošnými



Obr. 3. Zapojení napájecího zdroje ZDR1



Obr. 4. Deska s plošnými spoji a rozmístění součástek pro ZDR1

spoji je navržena pro oba typy. Pro "rozbežový" kondenzátor C_1 je nejvhodnější keramický typ, může být zapojen do okruhu T2, nebo T3 (C_1 , C_2 , viz obr. 7). Filtrační kondenzátor C_1 může být "rozdělen" na dva - C_{11} na desce zdroje a C_{12} na desce hvězdičky. Sloupce LED připojíme jen na výstupy a, b a c viz obr. 6 a 5a. Počet LED a odpory srážecích rezistorů zůstává zachován ve shodě s původní konstrukcí.

Nyní dvě kuriozity, které cituji z počání "stavitelů": ... zdroj nedával žádné napětí, odpojil jsem tedy LED a než jsem připravil měřidlo, ozvala se šupa a kondík zmizel z plošnáku... (dodávám - viz druhý bod popisu zdroje)... Dále ... doma jsem našel jen M5/200 V (jako C6). Na chvíli to blikalo, ale moc silně, pak svítla jen jedna řada LED. Vzápětí C6 zasyčel a explodoval. Usměrňovací diody a filtrační kondenzátor se zahřály a zároveň vypadly v bytě pojistky. Nás "stavitel" neměl zřejmě zdroj jištěný pojistikou a provinil se... (viz třetí bod popisu zdroje).

Další rekonstrukce - varianta 2

V tomto případě je jako zdroj napětí použit malý transformátor 220/24 V, 2 VA. Tato varianta je nejbezpečnějším způsobem napájení této ozdoby vánočního stromku. Zapojení zdroje ZDR2 je na obr. 8, deska s plošnými spoji na obr. 9.

Tento zdroj je rovněž vestavěn do krabičky, ale jako přívod může být použita dvoužilová flexošňůra. V zapojení je nutno upravit připojení LED - při napájecím napětí, dodaném tímto zdrojem, lze zapojit v jednom sloupci jen asi 15 LED v sérii. Sloupce LED proto rozdělíme na dva, každý s vlastním sériovým rezistorem - viz obr. 5b a 6. Je to dánou tím, že transformátor dává po usměrnění menší napětí, než zdroj ZDR1 z obr. 3.

Při použití jiného transformátoru musíme změnit usměrněné napětí U_{ss} na kondenzátoru C_{11} . Maximální počet LED je pak poloviční, protože každá LED potřebuje napětí asi 2 V. Zbyly

"volt či půlvol特" srazíme sériovým rezistorem s odporem asi 100 Ω na každý zbylý volt. Sériové odpory jsou R4 až R6, popř. R4' až R6' na obr. 6 a 7b. Ani tento zdroj nedává dosti tvrdé napětí, takže odpor této rezistoru můžeme při slabším svitu LED zmenšit tak, aby diodami tekly proudy asi 13 až 15 mA. Velikost proudu, tekoucího LED, měříme nepřímo tak, že změříme napětí na sériovém rezistoru. Pak proud LED vypočteme z Ohmova zákona:

$$I = U_{Rs} / R_s \quad [A; V, \Omega]$$

Není-li v některém sloupci plný počet LED, pak sériový odpor vypočteme z rozdílu napětí zatíženého zdroje, napětí na LED (počet LED krát 2) a zvoleného proudu LED:

$$R_s = U_{ss} / I_{LED} \quad [\Omega; V, A]$$

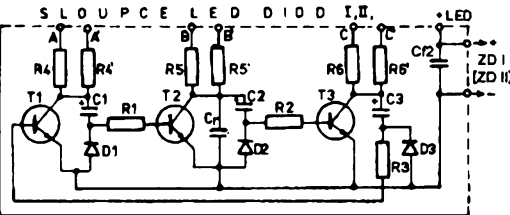
Uvedu příklad: máme zdroj podle obr. 8, k filtračnímu kondenzátoru C_{11} připojíme zatěžovací rezistor 1,8 k Ω a na něm změříme napětí, např. 33 V. Ve sloupcích je 8 LED a na nich při svitu vznikne úbytek např. $8 \times 2 V = 16 V$. Střední provozní proud LED zvolíme 14 mA. Z této údajů pak vypočteme podle předchozího vzorce sériový odpor:

$$R_s = (33-16) / 0,014 = 1214 \Omega$$

Odpor zvolíme nejbližší z řady E12, v tomto případě 1,2 k Ω . Při slabším svitu jej změníme na 1 k Ω . Takto postupujeme ve všech sloupcích LED. Uvedený příklad je reálný, ale údaje nemusí platit pro jiný transformátor, byť by měl stejně typové označení! Upravená deska s plošnými spoji je připravena pro obě varianty. U varianty 2 můžeme použít tranzistory T1 až T3 typu KC507 nebo KC237 bez obav o napěťové či proudové přetížení. Filtrační kondenzátory postačí na 40 V.

Dále uvádím jeden příběh na "bezpečnostní téma": "...zapnul jsem šňůru do zásuvky a připevňoval hvězdu na vršek stromu. V tu ránu jsem dostal pecku, až jsem spad se židle. Byl jsem se tam podívat, co bylo toho příčinou: Hvězdička polepená staniolem - zahnutým i dovnitř. Kousek volného staniolu se dotkl přívodu fáze ze sítě. Nulák byl přiveden staniolovým řetězem, jenž se dotýkal špatně izolovaných sériových žárovíček, napájených také přímo ze sítě... (není co dodat !?).

A na závěr několik rad k provedení mechanických částí obou variant: Z původní sestavy [1] jsem vypustil desku s plošnými spoji označenou Z56 (pro spojování LED). Je totiž dosti obtížné, aby dírky pro pájení diod souhlasily s děrami o průměru 5,2 mm v první desce. Nosná deska pro LED byla vyrobena z tvrzeného polystyrénu tloušťky 3 až 4 mm. Deska je (po opracování) polepená barevným staniolem, díry o průměru 5,2 mm znova "protaženy" a LED jsou do nich vloženy chemoprémem. Diódám před vložením zkrátíme vývody na délku asi 5 mm. Po zaschnutí lepidla (za 24 hod.) projme LED tenkým drátkem. Usnadní se tím následná kontrola, nepoškodíme-li se některá dioda pájením. Eventuální výměna nečiní potíže.

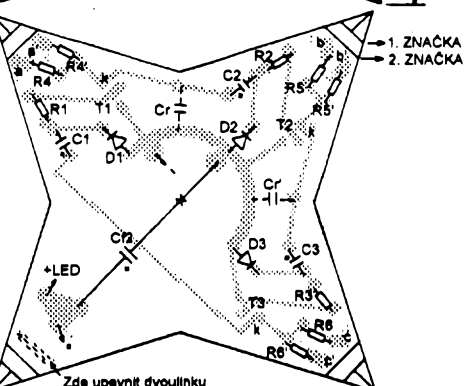
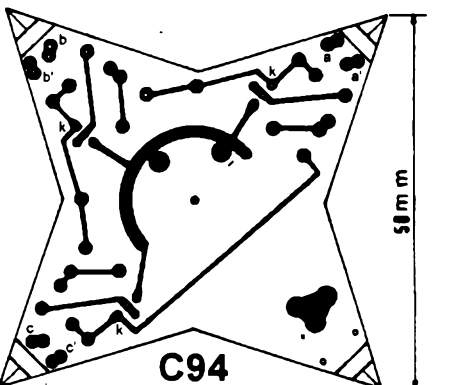


Obr. 6. Zapojení spínačů pro LED

Přívody střídavého napětí u zdrojů provrtejte na průměr 2 mm a pronýjte dutým nýtkem. Do nýtku lze vpájet tvrdší vodič o průměru 1 až 1,2 mm jako krátký opěrný přívod k síťové vidlici a pojistce (alternativa I), či k transformátoru (alternativa II). Spodní uzavírací deska je rovněž z polystyrénu o tloušťce asi 1,5 mm. Všechny tři desky (deska s plošnými spoji, deska horní a dolní) užívné větší. Ve středu vyvrtejte díru o průměru 5 mm (střed je označen mezikružím) a spojte šroubem M5. Tuto sestavu opilujte přesně podle obrazce plošných spojů. Počet LED a jejich rozmištění je stejné jako v původní konstrukci.

Přesné opracování také podmiňuje úspěch při stavbě. Po opilování na přesný tvar ustříhneme z desky s plošnými spoji 4 růžky (po první značku - viz obr. 7) a desku s plošnými spoji osadíme a oživíme. Z pěnového polystyrénu vyřízeme 4 rohy ve tvaru trojúhelníku, které pak představují růžek hvězdičky. Velikost rohu je od špičky po druhou značku. Výšku rohu určíme odměřením z výšky desky s plošnými spoji se součástkami, délky vývodů LED a kousku přídavku (asi 7 mm). Zárez na zasunutí desky s plošnými spoji je asi 4 až 5 mm vzdálen od spodní desky - viz obr. 10.

Celou sestavu klepeme modelářským lepidlem na polystyrénové sta-



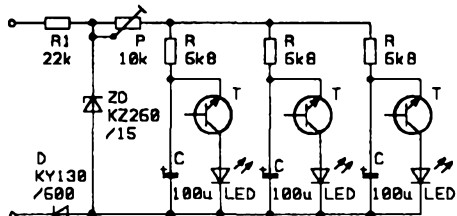
Obr. 7. Deska s plošnými spoji spínačů

Obr. 5. Blokové zapojení hvězdy a připojení LED pro variantu 1 (a) a pro variantu 2 (b)

„Plápolající světýlko“

Již před dvěma lety, před Vánočními, mě poprosil kamarád, abych mu vyrobil nějaký „ohýnek“ do dřevěného betléma, tedy světýlko, imituje plápolající plaménky.

Úkol jsem vyřešil třemi nezávisle blikajícími diodami, sestavenými do trojúhelníku. Všechny blikají na přibližně stejném kmitočtu - okolo 1 Hz, výsledná sestava pak budí dojem světla s náhodně se měnící intenzitou.



Obr. 1. Schéma zapojení

Schéma využívá lavinového jevu na přechodu emitor - kolektor u tranzistoru. Usměrněné napětí nabíjí přes rezistor R kondenzátor C. Při dosažení napětí asi 10 V se tranzistor lavinovité otevře a kondenzátor C se vybije přes svítivou diodu LED. Tranzistor se za-

vře, kondenzátor se začne znova nabíjet a proces se znova opakuje. Zenerová dioda ZD omezuje napětí na kondenzátoru na max. 15 V, odporovým trimrem P lze jemně regulovat kmitočet blikání všech diod. Pro rozsah napájecího napětí 30 až 220 V má rezistor R1 odporník 22 kΩ. Pro napětí 15 až 30 V je nutné jej změnit asi na polovinu. Při napájení ze sítě je nutná zvýšená operačnost, použijte raději transformátor.

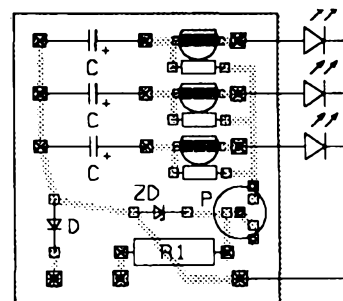
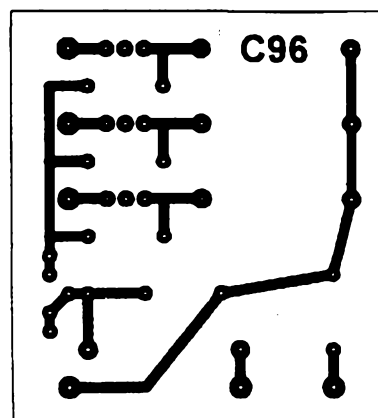
Pro toto zapojení využívá většina křemíkových tranzistorů n-p-n, vybral jsem je i z starých šuplíkových zásob.

Obvod funguje spolehlivě i při nepřetržitém provozu. Zařízení se dá využít všude tam, kde je vyžadován nepravidelný světelný tok - různá signalizace, světelné efekty apod.

Seznam součástek

| | |
|-----|---------------------------------------|
| R1 | 22 kΩ / 1 W , viz text |
| R | 6,8 kΩ, 3 ks |
| P | 10 kΩ, TP 008 |
| C | 100 μF/25 V, TF 009, 3 ks |
| D | KY130/600 |
| ZD | KZ260/15 |
| LED | libovolné 3 ks stejné barvy (červené) |
| T | libovolný křemíkový n-p-n , 3 ks |

Ing. Jiří Hlaváček



Obr. 2. Deska s plošnými spoji (50 x 55 mm)

vebnice. Není-li k dispozici, lze získat vhodné lepidlo rozpuštěním kousku tvrzeného polystyrénu v asi 20 ml tetrachloru (v malé lahvičce - nutno třepat). Lepidlo lehce naneseeme na desku s LED a nalepíme rohy. Po zaschnutí přeměříme vzdáleností zárezů pro desku s plošnými spoji a zárezy vyřízneeme ve všech čtyřech rozích. Desku s plošnými spoji připojíme tenkými lanymi k LED a napojíme tenkou přívodní dvoulinkou, kterou provlečeme dírou v zadní desce. Na zadní desku nalepíme klips s tenkého polystyrénu, nebo prostě upevníme 8 až 10 cm drátu v bužirce - pro uchycení ke stromku.

Pak desku s plošnými spoji zasuneme do drážek v rozích a lehce zakápneme lepidlem (chemoprén). Přilepíme přesně zadní desku a tuto sestavu připojíme (ve správné polaritě) ke zdroji a odzkoušíme funkci zařízení. Pokud hvězdička funguje a všechny desky jsou správně sesazeny (v zákytu), přilepíme bočnice z polystyrénu o tloušťce do 1 mm (lepidlem na polystyrén). Po zaschnutí opatrně opilujeme vše, co přečnívá a zbytek hvězdičky polepíme barevným staniolem (chemoprén). Teprve pak budete mít tu pravou hvězdu, jak byla vyobrazená v původním článku. Pro polepování staniolem lze použít i lepidlo DISPERCOLL SC, ale to nedříž již tak dobře a musíme při odstříhávání zbytků pracovat velmi opatrně.

Krabičku pro zdroj vyrobíme z polystyrénových destiček uříznutých na míru postaveného zdroje a polepíme ji z důvodů bezpečnosti pouze tapetovým nebo dekoracním papírem. Hvězdu doporučuji stavět a oživovat potaji, aby překvapení rodiny z precizního výrobku bylo nepředstíráno!

Seznam součástek

| | |
|------------|--|
| Zdroj ZDR1 | |
| D1 až D4 | KY130/80, (1N...aj.) |
| D5 až D7 | KZ..., KZZ..., celkové napětí asi 55 V |
| Cs | 220 nF/400 V stříd., TC 207 |
| Cf1 | 47 μF/63 V, TF 011 |
| Rv | 270 až 390 kΩ, TR 151 (212) |
| Po | trubičková pojistka 0,1 A |

| | |
|------------|---|
| Zdroj ZDR2 | |
| D1 až D4 | KY130/80, (1N.. aj.) |
| Cf1 | 47 μF/40 V, TF 010 |
| Tr | transformátor 220/24 V, 2 VA, závitý, typové označení TAH 2 |

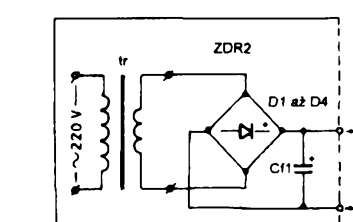
| | |
|--------------------------|---------------------------------|
| Elektronika - varianta 1 | |
| T1 až T3 | KC237A (KC507, BC546A ...) |
| D1 až D3 | KA... libovolné |
| C1 až C3 | 2,2 μF/50 V (Philips, viz text) |
| Cf2 | 47 μF/63 V, TF 011 |
| Cr | 68 nF, TK 783 (keramický !) |
| R1 až R3 | 47 až 68 kΩ, TR 151(212) |
| R4 | 150 Ω, TR 151(212) - 20 LED |
| R5 | 1,5 kΩ, TR 151(212) - 8 LED |
| R6 | 1,8 kΩ, TR 151(212) - 5 LED |

| | |
|--------------------------|---------------------------------|
| Elektronika - varianta 2 | |
| T1 až T3 | KC507, 237A: BC546A... |
| D1 až D3 | KA... libovolné |
| C1 až C3 | 2,2 μF/50 V (Philips, viz text) |
| Cf2 | 47 μF/40 V, TF 010 |
| Cr | 68 nF, TK 783 (jen keramický !) |
| R1 až R3 | 47 až 68 kΩ, TR 151(212) |
| R4 až R6, R4 až R6 | - viz výpočet v textu |

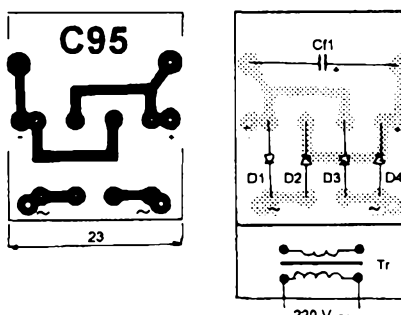
- LED - svítivé diody pro všechny varianty:**
- starší typy LQ1132, 1732
 - novější typy (průměr 5 mm) - L - HLMP 3300, 3502, 3400 (červená, zelená, žlutá),
 - velký svít (průměr 5 mm) - L - HLMP 3750, 3950, 3850 (červená, zelená, žlutá),
 - malý příkon (průměr 5 mm) - L - HLMP 4700, 4740, 4719 (červená, zelená, žlutá)

Použitá literatura

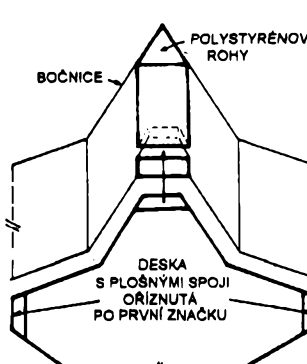
- [1] Budínský, Z.: Hvězda na vánoční stromek. AR A, č. 10/91.
[2] Katalog GM electronic 7/93



Obr. 8. Zapojení napájecího zdroje ZDR2



Obr. 9. Deska s plošnými spoji a rozmištění součástek pro ZDR2



Obr. 10. Mechanická sestava hvězdy

DIGITÁLNÍ AUDIOPAMĚŤ G102, G103

Jindřich Tölg, Ing. Tomáš Tölg

Jedná se o jednoduchou digitální audiopaměť (firma GES - ELECTRONICS), do které můžeme zaznamenat jednu nebo několik různých zpráv o délce až 16 s (ISD1416), popř. 20 s (ISD1420). Zprávy vydrží v obvodu bez napájecího napětí až 10 let. Podle nastavení operačního módu je možno tyto zprávy reprodukovat za sebou, opakovat dokola nebo nastavením adresy vybrat pouze jednu konkrétní zprávu. Zvuk je reprodukován ve velmi dobré kvalitě.

Základní parametry

Rodina obvodů ISD14xx byla navržena pro záznam a reprodukci zvukových informací v aplikacích vyžadujících minimální počet součástek. Obvod používá technologii DAST (Direct Analog Storage Technology) patentovanou firmou ISD. Obvody řady ISD 14xx používají pro záznam paměťové pole EEPROM, sestavené ze 128 000 buněk. Informace vydrží v paměti podle výrobce až 100 let, nicméně stoprocentně je zaručováno 10 let.

Max. doba záznamu:

ISD1416: 16 s,
ISD1420: 20 s.

Max. zaznamenaný kmitočet:

ISD1416: 3,4 kHz,
ISD1420: 2,7 kHz.

Vzorkovací kmitočet:

ISD1416: 8 kHz,
ISD1420: 6,4 kHz.

Celkové harmonické zkreslení (f = 1 kHz):

1 %.

Odběr při „power down“ módu:

0,5 µA.

Napájecí napětí:

4,5 až 6,5 V.

Maximální odběr:

35 mA.

Impedance reproduktoru:

min. 16 Ω.

Jmenovitý výkon výstupu zosilovače:

12,2 mW.

ISD1416/1420 integruje na čipu všechny funkce pro záznam a reprodukci: mikrofonní zesilovač s potlačením šumu, automatické nastavení záznamové úrovni, nf filtry, zesilovač pro reproduktor. Obvod umožňuje adresování uložených dat. Na konci reprodukčního nebo záznamového cyklu se obvod vždy automaticky vraci do stavu velmi malého odběru proudu 0,5 µA („power down“ mód).

Popis funkce

Obvod zaznamenává, je-li vstup REC trvale ve stavu „L“. REC má přednost před vstupy PLAYE a PLAYL. Jestliže při reprodukci přejde REC do stavu „L“, reprodukce je okamžitě přerušena a začíná záznam. Na konci každé zprávy je ukládána značka konce zprávy EOM (End Of Message).

Reprodukce probíhá, je-li na vstupu PLAYE detekována sestupná hrana, nebo je na vstupu PLAYL trvale úroveň „L“. Při detekci konce zprávy nebo konce paměťového prostoru reprodukce končí. Pak se obvod automaticky vraci do „power down“ módu. Dioda LED indikuje záznam a je připojena na výstup RECLED.

Kondenzátorový mikrofon je napájen stejnosměrným napětím přes R7, R9 a je střídavě vázán kondenzátory C7, C8. Mikrofonní signál je zesílen a vyveden na výstup ANA OUT a odtud dále přes C2, R5 na ANA IN. Zesílení je řízeno automaticky podle úrovně vstupního signálu. Maximální zesílení je 24 dB. C5 a R6 slouží k nastavení časových konstant obvodu automatického řízení zisku mikrofonního zesilovače. Kondenzátor spolu s vnitřním odporem obvodu 5 kΩ nastavuje náběhovou konstantu a rezistor R6 nastavuje odběrovou konstantu.

Reprodukтор je připojen na vývody SP+ a SP-. Při připojení reproduktoru pouze na jeden z těchto výstupů proti zemi je nutno připojit sériově s reproduktorem oddělovací kondenzátor. Doporučená impedance reproduktoru je 16 Ω. Analogové a digitální obvody jsou na čipu napájeny odděleně, aby se zmínil vliv rušivých signálů, a tato napájení jsou vyvedena jako V_{CCA} a V_{CCD}. Rovněž jsou odděleny analogové a digitální země. Kondenzátory C3 a C4 musí být co nejbližší u pouzdra obvodu.

Adresové vstupy A0 - A7

Adresové vstupy mají dvě funkce závisející na úrovni dvou nejvyšších adresových bitů A6 a A7 (vývod 9 a 10).

1. Pokud je kterýkoliv z nich v „L“, všechny vstupy jsou interpretovány jako „adresové bity“ a jsou užity pro volbu počáteční adresy v režimu záznam nebo reprodukce (přímé adresování). Adresování je možné v rozsahu 0 až 159 (binárně 00000000 až 10011111 pro vstupy A7 A0).

2. Pokud jsou oba bity A6 a A7 v „H“, adresové vstupy jsou interpretovány jako bity pro volbu operačního módu - viz tabulka:

Operační mód je nastaven, když kterýkoliv z řídicích vstupů PLAYE, PLAYL nebo REC přejde z „H“ do „L“. Operační módy je možné kombinovat.

Oživení

Zkontrolujte napájecí napětí 5 V za stabilizátorem IC2. Pak odzkoušejte zařízení takto:

Nastavte všechny spínače ADRESA na ON, čímž bude na adresových vstupech A0 až A7 úroveň „L“ a bude nastaven základní operační mód. Poté stiskněte a držte po dobu záznamu tlačítko REC a namluvte do mikrofonu zprávu. Dioda musí přitom svítit. Po zaznamenání stiskněte např. tlačítko PLAYE a zpráva se přehraje.

| Speciální operační módy | | |
|-------------------------|--------------|--|
| A6=H A7=H | A0=H A4=H | přeskakování zpráv bez reprodukce |
| | A1=H A4=H | při záznamu ruší EOM značku a umisťuje ji za poslední zprávu, záznam lze pak přehrát jako jednu zprávu |
| | A4=H | záznam/reprodukce zpráv za sebou |
| | A3=H | neustálá reprodukce zprávy od adresy 0 |
| | | |

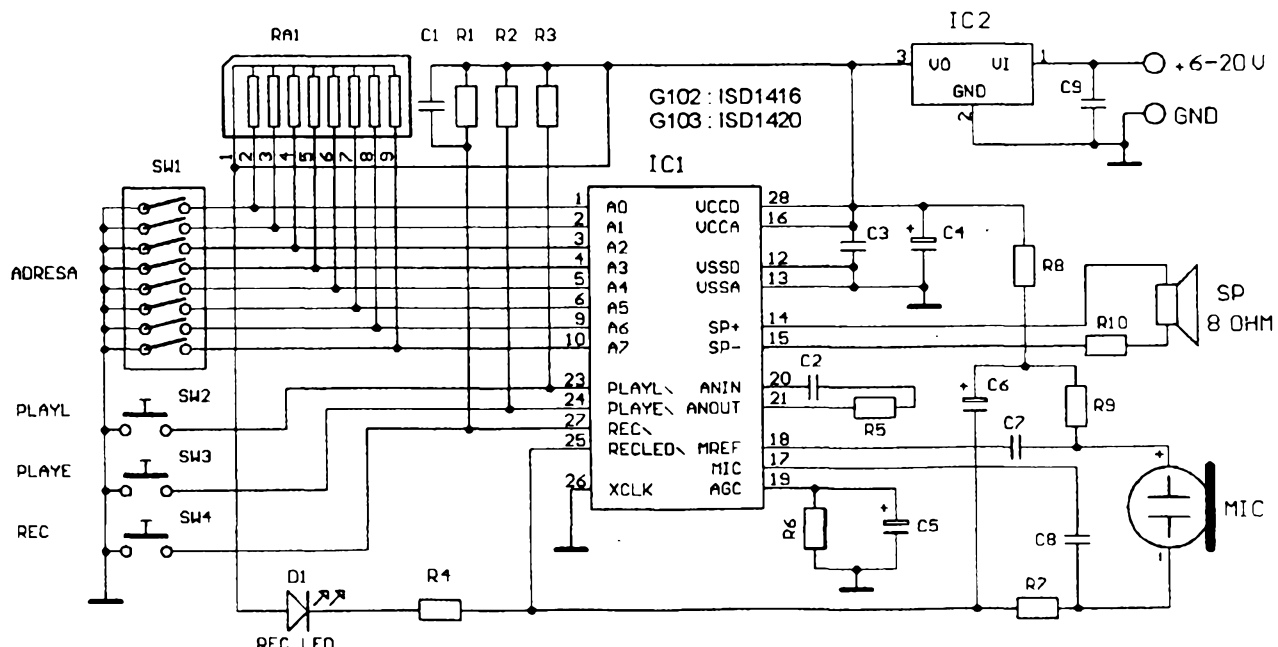
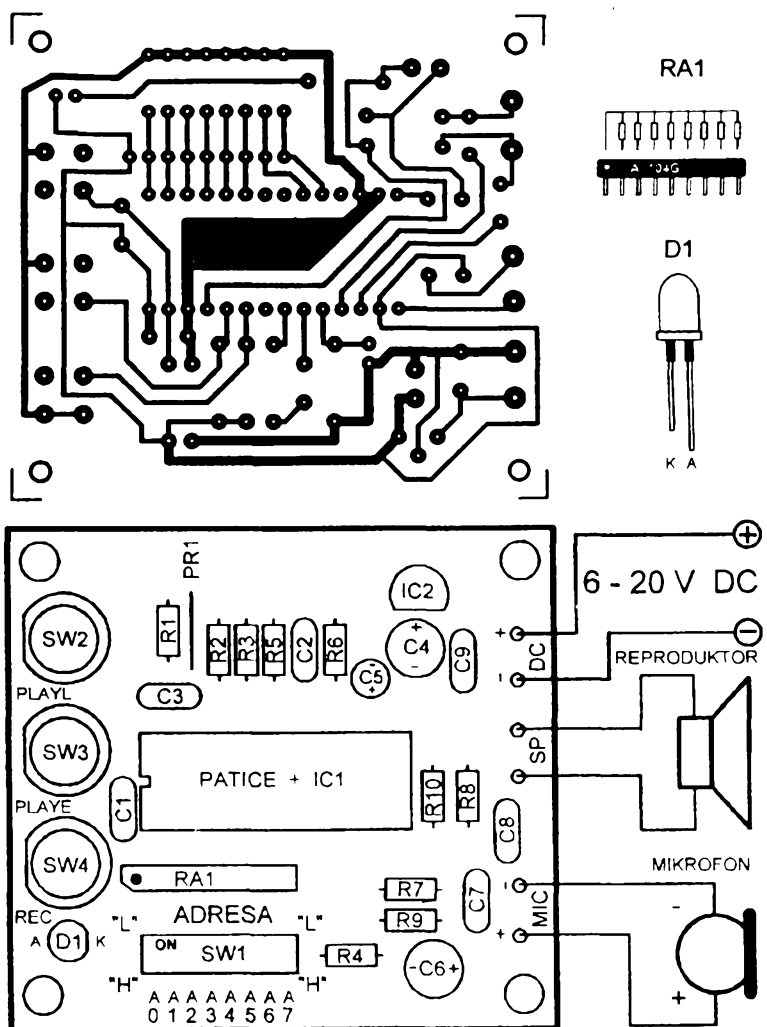
Digitální audiopaměť je k dostání jako kompletní stavebnice včetně reproduktoru u firmy GES-ELECTRONICS (kontakt viz 4. strana obálky) pod označením G102 - STAVEBNICE 16s (ISD1416), G103 - STAVEBNICE 20s (ISD1420). Pod označením G102M, G103M si můžete audiopaměť koupit jako již hotové funkční moduly 16s, 20s. Desku s plošnými spoji pro obě varianty dostanete pod označením G102-PCB.

Literatura

Information Storage Devices: Single-Chip Voice Record/Playback Devices 10-, 12-, 16- and 20-Second Durations, December 1993.

| SEZNAM SOUČÁSTEK - G102, G103 | | |
|-------------------------------|-----------|--------------------|
| OZNAČENÍ VE SCHÉMATU | HODNOTA | PŘESNÉ OZNAČENÍ |
| R1, R2, R3 | 100 K | SMA0207 50 100K 1% |
| R4, R5, R8 | 1K | SMA0207 50 1K00 1% |
| R6 | 470 K | SMA0207 50 470K 1% |
| R7, R9 | 10 K | SMA0207 50 10K0 1% |
| R10 | 8,2 Ω | SMA0207 50 8R20 1% |
| RA1 | 8 x 100 K | SIL 9-8 100K |
| C1 | 1N | KERKO 1N |
| C2, C3, C7, C8, C9 | 100 N | KERKO 100N |
| C4, C6 | 220 M | 220/16 RAD |
| C5 | 4,7M | 4,7/35 RAD |
| D1 | | LED 3mm rudá |
| IC1 | | ISD1416 / ISD1420 |
| IC2 | | uA78L05 |
| SW1 | | NT 08 |
| SW2 | | DT 6 zelená |
| SW3 | | DT 6 černá |
| SW4 | | DT 6 rudá |
| MIC | | MCE 100 |
| SP | | BL 66 |
| Patice | | GS 28 |
| PR1 | | Propojka |
| Plošný spoj | | G102-PCB |

Obr. 1. Deska s plošnými spoji digitální audiopaměti a rozložení součástek (deska se dodává pod označením G102-PCB pro obě varianty)

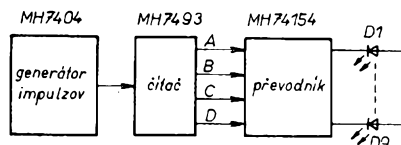
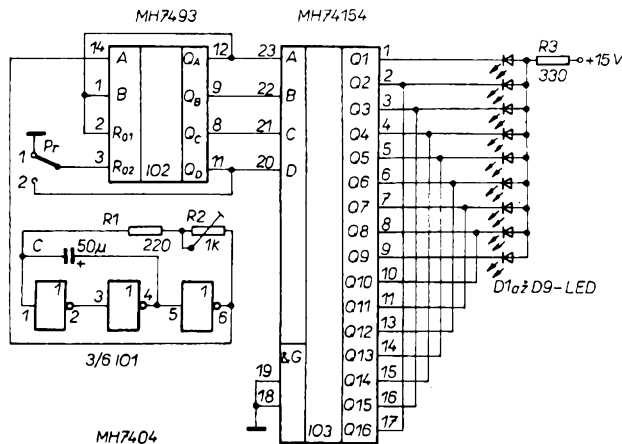


Obr. 2. Schéma zapojení stavebnice G102, G103

Svetelné efekty à la „K. I. T. T.“

Obvod sa skladá (viď bloková schéma) z GI - generátora impulzov, z ktorého je signál privezený na vstup čítača a z prevodníka kódu BCD na kód 1 zo 16. Čítač počíta impulzy z GI do 16, ak je prepínač v polohe 1. Ak je prepínač v polohe 2, čítač číta do 9. stavu a v 10. stave sa vynuluje. Výstupy čítača A, B, C, D sú privedené na prevodník. Výstupy prevodníka Q1 až Q9 sú privedené priamo na diody LED. Výstup Q10 je prepojený s výstupom Q8, výstup Q11 s Q7 atď., až výstup Q16 je spojený s Q2. Týmto spojením výstupov vzniká už spomínaný efekt („bežíci“ svetlo pozn. red.). Po prepnu-

Obr. 2.
Schéma
zapojenia
obvodu pre
svetelné efekty



Obr. 1. Blokové zapojenie

tí prepínača do polohy 2 sa diody LED postupne rozsvecujú od 1. až po 9.

Jednoduchá logická sonda

Každý dobре ví, že při stavbě elektronických zařízení vznikají problémy při oživování. Proto je vhodné doplnit si domácí dílnu pomůckami, které pomohou vzniklé závady lokalizovat. Výbornou pomůckou pro konstruktéry obvodů, využívajících logických IO, je logická sonda.

Logická sonda je zařízení, jímž lze kontrolovat logické úrovny v testovaném obvodu. Pro obvody postavené na bázi logiky TTL platí, že:

- signál má úroveň log. 1 (neboli H), je-li jeho napětí větší než 2 V,
- signál má úroveň log. 0 (neboli L), je-li jeho napětí menší než 0,8 V.

Po mnoha pokusech s různými zapojeními se ukázalo jako optimální řešení na obr. 1.

Sonda rozpozná logické úrovny 0 a 1. Navíc upozorňuje na výskyt přechodů mezi těmito úrovniemi. Vzhledem k použitým součástkám ji lze použít až do kmitočtu vstupního signálu

a potom opět 1. a postup sa opakuje. Rýchlosť pohybu je určená obvodom RC multivibrátora (C a R1+R2). R2 je trimer, tj. rýchlosť je regulovateľná. Zapojenie som realizoval a odsúšal. Popis zapojenia je dosť jednoduchý, no verím, že konštrukciu zvládne i začiatočník.

Martin Záhradník

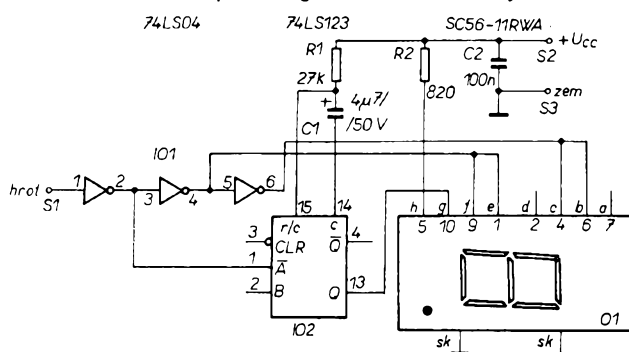
Poznámka redakce: obvod 74154 nemá výstupy s otevřeným kolektorem. Při paralelním spojení výstupů se pak stává, že jeden výstup je v log. 1

a druhý v log. 0. Protože výstup, který je v log. 0, je „silnější“, objeví se na takto spojených výstupech log. 0 a LED svítí. Z výstupu, který je v log. 1, teče do výstupu v log. 0 proud a o tento proud se zvětšuje spotřeba zařízení (asi o 10 až 30 mA). Pro „čisté“ řešení obvodu by bylo třeba ke každému výstupu, spojenému s jiným, zapojit běžnou diodu (např. KA261 nebo 1N4148) tak, aby katoda diody byla připojena k IO a anoda ke katodě LED.

Belza

40 MHz. Zapojení na obr. 1 lze rozdělit na dvě části. Část první, obsahující IO 74LS04, zajišťuje indikaci stabilních úrovní 0 a 1. Část druhá indikuje pomocí klopného obvodu 74LS123 přechody mezi úrovněmi 0 a 1. Jako zobrazovací prvek je netradičně použita sedmsegmentovka. Není to jen konstrukčně rozmařilost, ale zobrazení úrovní sedmsegmentovkou má své podstatné výhody, jak je patrné z obr. 2. Černé vyplňené segmenty jsou rozsvícené. Se sondou lze při troše cviku odhadnout i průběh signálu. Sonda tedy v jednoduchých případech nahradí osciloskop.

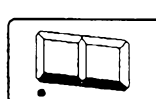
Stavebnici sondy, obsahující kompletní sadu součástek, desku s plošnými spoji, osazovací předpis, spojovací vodič a krokosvorky zasílá na dobírkovou službu ELCO spol. s r. o., Smetanova 992, 755 01 Vsetín, tel./fax: 0657/83 30. Cena stavebnice je 98,- Kč plus poštovné. Firma si vyhrazuje právo na zasílání ekvivalentů součástek uvedených ve schématu.



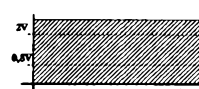
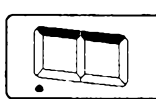
Obr. 1. Zapojení logické sondy

Pozn. redakce: Vzhledem ke své jednoduchosti sonda neumožňuje rozlišit neurčitý stav, tj. napěťová úrovně mezi 0,8 až 2 V. Rozhodovací úroveň hradí TTL v provedení LS je 1,1 až 1,4 V. Proto bude-li se vstupní napětí pohybovat v rozmezí neurčitého stavu, což téměř vždy signalizuje nějakou závadu, nemusí být tato závada vžebec odhalena. Naopak velmi výhodná je možnost přibližné indikace střídy signálu.

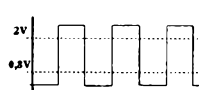
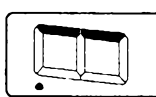
a) statický signál 0



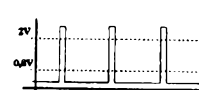
b) statický signál 1



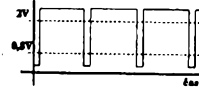
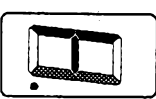
c) signál se střídou 1:1 (0:1)



d) signál se střídou 10:1 (0:1)



e) signál se střídou 1:10 (0:1)



Obr. 2. Signály indikované sondou

| TYP | D | U | Δ_c | P _{tot} | U _{DG} | U _{DGR} | U _{GS} | I _D | Δ_K | R _{thjc} | U _{DS} | U _{GS} | I _{DS} | y_{21S} | -U _{GS(TO)} | C _I | t _{ON+} | P | V | Z |
|------------|--------|----|------------|------------------|-----------------|------------------|-----------------|----------------|------------|-------------------|-----------------|-----------------|-----------------|---------------------|----------------------|----------------|------------------|-------------------|----|---------|
| | | | [°C] | max [W] | max [V] | max [V] | max [V] | max [A] | max [°C] | max [K/W] | [V] | [V] | [mA] | r _{DS(ON)} | [Ω] | | [pF] | t _{OFF-} | | |
| IXFH7N90 | SMn av | SP | 25 | 180 | 900R | 900 | 20 30M | 7 | 150 | 0,7 | 720 | 10 0 | < 0,25 | < 1,4+ | 2-4 | 2800 | | T0247 AD | IX | 247 T1N |
| IXFH9N100 | SMn av | SP | 25 | 250 | 1000R | 1000 | 20 30M | 9 | 150 | 0,5 | 800 | 10 0 | < 0,25 | < 1,4+ | 2-4 | 4500 | | T0247 AD | IX | 247 T1N |
| IXFH10N60 | SMn av | SP | 25 | 180 | 600R | 600 | 20 30M | 10 | 150 | 0,7 | 480 | 10 0 | < 0,2 | < 0,75+ | 2-4 | 2800 | | T0247 AD | IX | 247 T1N |
| IXFH10N90 | SMn av | SP | 25 | 300 | 900R | 900 | 20 30M | 10 | 150 | 0,42 | 10 | 10 0 | 5A 5A | 10 > 8 < 1,1+ | 2-4,5 | 4200 | 50+ 100- | T0247 AD | IX | 247 T1N |
| IXFH10N100 | SMn av | SP | 25 | 300 | 1000R | 1000 | 20 30M | 10 | 150 | 0,42 | 10 | 10 0 | 5A 5A | 12 > 8 < 1,2+ | 2-4,5 | 4000 | 50+ 100- | T0247 AD | IX | 247 T1N |
| IXFH11N60 | SMn av | SP | 25 | 180 | 600R | 600 | 20 30M | 11 | 150 | 0,7 | 800 | 10 0 | < 0,25 | < 0,55+ | 2-4 | 2800 | | T0247 AD | IX | 247 T1N |
| IXFH11N80 | SMn av | SP | 25 | 300 | 800R | 800 | 20 30M | 11 | 150 | 0,42 | 10 | 10 0 | < 0,2 | 480 | 2-4,5 | 4200 | 50+ 100- | T0247 AD | IX | 247 T1N |
| IXFH11N90 | SMn av | SP | 25 | 250 | 900R | 900 | 20 30M | 11 | 150 | 0,5 | 640 | 10 0 | < 0,25 | 44+ | 2-4 | 4500 | | T0247 AD | IX | 247 T1N |
| IXFH11N100 | SMn av | SP | 25 | 300 | 1000R | 1000 | 20 30M | 11 | 150 | 0,42 | 720 | 10 0 | < 0,25 | < 0,95+ | 2-4,5 | 4500 | | T0247 AD | IX | 247 T1N |
| IXFH12N50 | SMn av | SP | 25 | 180 | 500R | 500 | 20 30M | 12 | 150 | 0,7 | 800 | 10 0 | < 0,25 | < 0,5+ | 2-4 | 2800 | | T0247 AD | IX | 247 T1N |
| IXFH12N90 | SMn av | SP | 25 | 300 | 900R | 900 | 20 30M | 12 | 150 | 0,42 | 10 | 10 0 | 6A 6A | 10 > 8 < 0,9+ | 2-4,5 | 4200 | 50+ 100- | T0247 AD | IX | 247 T1N |
| IXFH12N100 | SMn av | SP | 25 | 300 | 1000R | 1000 | 20 30M | 12 | 150 | 0,42 | 10 | 10 0 | 6A 6A | 12 > 8 < 1,05+ | 2-4,5 | 4000 | 50+ 100- | T0247 AD | IX | 247 T1N |
| IXFH13N50 | SMn av | SP | 25 | 180 | 500R | 500 | 20 30M | 13 | 150 | 0,7 | 10 | 10 0 | < 0,25 | 48+ | 2-4 | 2800 | 30+ 100- | T0247 AD | IX | 247 T1N |
| IXFH13N80 | SMn av | SP | 25 | 300 | 800R | 800 | 20 30M | 13 | 150 | 0,42 | 10 | 10 0 | < 0,25 | 52+ | 2-4,5 | 4200 | 50+ 100- | T0247 AD | IX | 247 T1N |
| IXFH13N90 | SMn av | SP | 25 | 300 | 900R | 900 | 20 30M | 13 | 150 | 0,42 | 720 | 10 0 | < 0,25 | 52+ | 2-4 | 4500 | | T0247 AD | IX | 247 T1N |
| IXFH15N60 | SMn av | SP | 25 | 300 | 600R | 600 | 20 30M | 15 | 150 | 0,42 | 10 | 10 0 | 7,5A 7,5A | 9 > 7,5 < 0,4+ | 2-4,5 | 4500 | 40+ 90- | T0247 AD | IX | 247 T1N |
| IXFH17N60 | SMn av | SP | 25 | 250 | 600R | 600 | 20 30M | 17 | 150 | 0,5 | 480 | 10 0 | < 0,25 | 60+ | 2-4 | 4500 | | T0247 AD | IX | 247 T1N |
| IXFH19N50 | SMn av | SP | 25 | 250 | 500R | 500 | 20 30M | 19 | 150 | 0,5 | 480 | 10 0 | < 0,25 | 48+ | 2-4 | 4500 | | T0247 AD | IX | 247 T1N |
| IXFH20N60 | SMn av | SP | 25 | 300 | 600R | 600 | 20 30M | 20 | 150 | 0,42 | 10 | 10 0 | < 0,25 | 80+ | 2-4,5 | 4500 | 40+ 90- | T0247 AD | IX | 247 T1N |
| IXFH21N50 | SMn av | SP | 25 | 300 | 500R | 500 | 20 30M | 21 | 150 | 0,42 | 10 | 10 0 | 13A 13A | 18 < 0,35+ | 2-4 | 4200 | 25+ 80- | T0247 AD | IX | 247 T1N |
| IXFH21N60 | SMn av | SP | 25 | 300 | 600R | 600 | 20 30M | 21 | 150 | 0,42 | 400 | 10 0 | < 0,2 | 94+ | 2-4 | 4500 | | T0247 AD | IX | 247 T1N |
| IXFH24N50 | SMn av | SP | 25 | 300 | 500R | 500 | 20 30M | 24 | 150 | 0,42 | 10 | 10 0 | < 0,2 | 96+ | 2-4 | 4200 | 25+ 80- | T0247 AD | IX | 247 T1N |
| IXFH26N50 | SMn av | SP | 25 | 300 | 500R | 500 | 20 30M | 26 | 150 | 0,42 | 10 | 10 0 | < 0,2 | 104+ | 2-4 | 4200 | 25+ 80- | T0247 AD | IX | 247 T1N |
| IXFH35N30 | SMn av | SP | 25 | 300 | 300R | 300 | 20 30M | 35 | 150 | 0,42 | 10 | 10 0 | < 0,2 | 140+ | 2-4 | 4800 | 30+ 100- | T0247 AD | IX | 247 T1N |
| IXFH40N30 | SMn av | SP | 25 | 300 | 300R | 300 | 20 30M | 40 | 150 | 0,42 | 10 | 10 0 | < 0,2 | 160+ | 2-4 | 4800 | 30+ 100- | T0247 AD | IX | 247 T1N |
| IXFH42N20 | SMn av | SP | 25 | 300 | 200R | 200 | 20 30M | 42 | 150 | 0,42 | 10 | 10 0 | < 0,2 | 168+ | 2-4 | 4400 | 25+ 90- | T0247 AD | IX | 247 T1N |

| TYP | D | U | $\frac{S}{C}$ | P _{tot} | U _{DC} | U _{DGR} | U _{GDO} | U _{DS} | +U _{GS} | I _D | $\frac{V}{A}$ | R _{thjc} | R _{thja+} | U _{DS} | U _{GS} | I _{DS} | y _{21S} [S] | -U _{GS(TO)} | C _I | t _{ON+} | P | V | Z | |
|------------|----------------|----|---------------|------------------|-----------------|------------------|------------------|-----------------|------------------|----------------|---------------------|-------------------|--------------------|-----------------|-----------------|-----------------|----------------------|----------------------|----------------|-------------------|-----------------|-----|---|--|
| | | | | | max [W] | max [V] | max [V] | max [V] | max [V] | max [A] | max [$^{\circ}$ C] | max [K/W] | | [V] | [V] | [mA] | | [V] | [pF] | t _{OFF-} | t _{rr} | | | |
| IXFH50N20 | SMn av | SP | 25 | 300 | 200R | 200 | 20 | 50 | 150 | 0,42 | 10 | 25A | 32 > 26 | < 0,045+ | 2-4 | 4400 | 25+ 90- | TO247 AD | IX | 247 T1N | | | | |
| | | | 25 | | | | | 30M | 200+ | | 10 | 25A | < 0,2 | | | | | | | | | | | |
| IXFH58N20 | SMn av | SP | 25 | 300 | 200R | 200 | 20 | 58 | 150 | 0,42 | 10 | 29A | 32 > 26 | < 0,04+ | 2-4 | 4400 | 25+ 90- | TO247 AD | IX | 247 T1N | | | | |
| | | | 25 | | | | | 30M | 232+ | | 10 | 29A | < 0,2 | | | | | | | | | | | |
| IXFH67N10 | SMn av | SP | 25 | 300 | 100R | 100 | 20 | 67 | 150 | 0,42 | 10 | 33A | 30 > 25 | < 0,025+ | 2-4 | 4500 | 30+ 110- | TO247 AD | IX | 247 T1N | | | | |
| | | | 25 | | | | | 30M | 268+ | | 10 | 33A | < 0,25 | | | | | | | | | | | |
| IXFH75N10 | SMn av | SP | 25 | 300 | 100R | 100 | 20 | 75 | 150 | 0,42 | 10 | 37A | 30 > 25 | < 0,02+ | 2-4 | 4500 | 30+ 110- | TO247 AD | IX | 247 T1N | | | | |
| | | | 25 | | | | | 30M | 300+ | | 10 | 37A | < 0,25 | | | | | | | | | | | |
| IXFH76N07 | SMn av -11 -12 | SP | 25 | 300 | 70R | 70 | 20 | 76 | 150 | 0,42 | 10 | 10 | < 0,011+ | | 2-4 | 4400 | | TO247 AD | IX | 247 T1N | | | | |
| | | | 25 | | | | | | | | 0 | 10 | < 0,012+ | | | | | | | | | | | |
| IXFL10N60 | SMnen SP | 25 | 125 | | 600 | 20 | 10 | 150 | 1,25 | | | | | | | < 0,55+ | 2-4 | 2800 | 250 | TO254 | IX | 254 | | |
| IXFL14N60 | SMnen SP | 25 | 175 | | 600 | 20 | 14 | 150 | 1 | | | | | | | < 0,45+ | 2-4 | 4500 | 250 | TO254 | IX | 254 | | |
| IXFL16N50 | SMnen SP | 25 | 175 | | 500 | 20 | 16 | 150 | 1 | | | | | | | < 0,3+ | 2-4 | 4500 | 250 | TO254 | IX | 254 | | |
| IXFL18N40 | SMnen SP | 25 | 175 | | 400 | 20 | 18 | 150 | 1 | | | | | | | < 0,23+ | 2-4 | 4500 | 250 | TO254 | IX | 254 | | |
| IXFL25N10 | SMnen SP | 25 | 175 | | 100 | 20 | 25 | 150 | 1 | | | | | | | < 0,04+ | 2-4 | 4500 | 250 | TO254 | IX | 254 | | |
| IXFL25N20 | SMnen SP | 25 | 175 | | 200 | 20 | 25 | 150 | 1 | | | | | | | < 0,075+ | 2-4 | 4500 | 250 | TO254 | IX | 254 | | |
| IXFL150 | SMnen SP | 25 | 125 | | 100 | 20 | 25 | 150 | 1,25 | | | | | | | < 0,065+ | 2-4 | 2800 | 130 | TO254 | IX | 254 | | |
| IXFL250 | SMnen SP | 25 | 125 | | 200 | 20 | 25 | 150 | 1,25 | | | | | | | < 0,1+ | 2-4 | 2800 | 250 | TO254 | IX | 254 | | |
| IXFL350 | SMnen SP | 25 | 125 | | 400 | 20 | 14 | 150 | 1,25 | | | | | | | < 0,3+ | 2-4 | 2800 | 250 | TO254 | IX | 254 | | |
| IXFL450 | SMnen SP | 25 | 125 | | 500 | 20 | 12 | 150 | 1,25 | | | | | | | < 0,4+ | 2-4 | 2800 | 250 | TO254 | IX | 254 | | |
| IXFM5N100 | SMn av | SP | 25 | 150 | 1000R | 1000 | 20 | 5 | 150 | 0,7 | | 10 | < 2,4+ | | 2-4 | 2800 | | TO204 AA | IX | 31 T1N | | | | |
| IXFM6N90 | SMn av | SP | 25 | 180 | 900R | 900 | 20 | 6 | 150 | 0,7 | 10 | 3A | 6 > 4 | | 2-4,5 | 2600 | 100+ 200- | TO204 AA | IX | 31 T1N | | | | |
| | | | 25 | | | | | 30M | 24+ | | 720 | 3A | < 1,8+ | | | | | | | | | | | |
| IXFM6N100 | SMn av | SP | 25 | 180 | 1000R | 1000 | 20 | 6 | 150 | 0,7 | 10 | 3A | 6 > 4 | | 2-4,5 | 2600 | 100+ 200- | TO204 AA | IX | 31 T1N | | | | |
| | | | 25 | | | | | 30M | 24+ | | 800 | 3A | < 2+ | | | | | | | | | | | |
| IXFM7N80 | SMn av | SP | 25 | 180 | 800R | 800 | 20 | 7 | 150 | 0,7 | 10 | 3,5A | 6 > 4 | | 2-4,5 | 2800 | 100+ 200- | TO204 AA | IX | 31 T1N | | | | |
| | | | 25 | | | | | 30M | 28+ | | 640 | 3,5A | < 1,4+ | | | | | | | | | | | |
| IXFM7N90 | SMn av | SP | 25 | 150 | 900R | 900 | 20 | 7 | 150 | 0,83 | 720 | 10 | < 1,4+ | | 2-4 | 2800 | | TO204 AA | IX | 31 T1N | | | | |
| IXFM9N100 | SMn av | SP | 25 | 250 | 1000R | 1000 | 20 | 9 | 150 | 0,5 | 800 | 10 | < 1,4+ | | 2-4 | 4500 | | TO204 AA | IX | 31 T1N | | | | |
| IXFM10N60 | SMn av | SP | 25 | 150 | 600R | 600 | 20 | 10 | 150 | 0,83 | | 480 | < 0,25 | | 2-4 | 2800 | | TO204 AA | IX | 31 T1N | | | | |
| IXFM10N90 | SMn av | SP | 25 | 300 | 900R | 900 | 20 | 10 | 150 | 0,42 | 10 | 5A | 10 > 8 | | 2-4,5 | 4200 | 50+ 100- | TO204 AA | IX | 31 T1N | | | | |
| | | | 25 | | | | | 30M | 40+ | | 720 | 5A | < 1,1+ | | | | | | | | | | | |
| IXFM10N100 | SMn av | SP | 25 | 300 | 1000R | 1000 | 20 | 10 | 150 | 0,42 | 10 | 5A | 12 > 8 | | 2-4,5 | 4000 | 50+ 100- | TO204 AA | IX | 31 T1N | | | | |
| | | | 25 | | | | | 30M | 40+ | | 800 | 5A | < 1,2+ | | | | | | | | | | | |
| IXFM11N60 | SMn av | SP | 25 | 150 | 600R | 600 | 20 | 11 | 150 | 0,83 | | 480 | < 0,25 | | 2-4 | 2800 | | TO204 AA | IX | 31 T1N | | | | |
| IXFM11N80 | SMn av | SP | 25 | 300 | 800R | 800 | 20 | 11 | 150 | 0,42 | 10 | 5,5A | 14 > 8 | | 2-4,5 | 4200 | 50+ 100- | TO204 AA | IX | 31 T1N | | | | |
| | | | 25 | | | | | 30M | 44+ | | 640 | 5,5A | < 0,95+ | | | | | | | | | | | |
| IXFM11N90 | SMn av | SP | 25 | 250 | 900R | 900 | 20 | 11 | 150 | 0,5 | 720 | 10 | < 0,95+ | | 2-4 | 4500 | | TO204 AA | IX | 31 T1N | | | | |
| | | | 25 | | | | | 30M | 44+ | | 800 | 10 | < 0,25 | | | | | | | | | | | |
| IXFM11N100 | SMn av | SP | 25 | 300 | 1000R | 1000 | 20 | 11 | 150 | 0,42 | 800 | 10 | < 1,15+ | | 2-4 | 4500 | | TO204 AA | IX | 31 T1N | | | | |
| | | | 25 | | | | | 30M | 44+ | | 10 | 10 | < 0,25 | | | | | | | | | | | |
| IXFM12N50 | SMn av | SP | 25 | 150 | 500R | 500 | 20 | 12 | 150 | 0,5 | 400 | 10 | < 0,2 | | 2-4 | 2800 | | TO204 AA | IX | 31 T1N | | | | |
| IXFM12N90 | SMn av | SP | 25 | 300 | 900R | 900 | 20 | 12 | 150 | 0,42 | 10 | 6A | 10 > 8 | | 2-4,5 | 4200 | 50+ 100- | TO204 AA | IX | 31 T1N | | | | |
| | | | 25 | | | | | 30M | 48+ | | 720 | 6A | < 0,9+ | | | | | | | | | | | |
| IXFM12N100 | SMn av | SP | 25 | 300 | 1000R | 1000 | 20 | 12 | 150 | 0,42 | 10 | 6A | 12 > 8 | | 2-4,5 | 4000 | 50+ 100- | TO204 AA | IX | 31 T1N | | | | |
| | | | 25 | | | | | 30M | 48+ | | 800 | 6A | < 1,05+ | | | | | | | | | | | |

Teorie a praxe kmitočtové syntézy

(Dokončení)

8.1 Různé pásmové filtry

Při konstrukci pásmového filtru máme možnost zvolit buď pasivní, nebo aktivní filtr. Může být umístěn buď na vstupu, nebo na výstupu řídicího zesilovače. U aktivních filtrů je pásmový filtr umístěn přímo ve zpětnovazební větví řídicího zesilovače. Na schématech 27a až 27h máte přehled filtrů, které se obvykle užívají. Na obr. 27a je jednoduchý pasivní filtr - dolní propust 1. rádu s mezním kmitočtem $f_1 = 2\pi RC$. Obr. 27b ukazuje aktivní verzi téhož (integrátor) s časovou konstantou $T = RC$. Rozdíl mezi oběma variantami je ten, že u pasivního filtru nelze dosáhnout nulového fázového posuvu mezi referenčním signálem a signálem VCO. Kmitočtové závislosti odchylyka stále zůstávají, protože výstupní napětí fázového diskriminátoru je řídicím napětím VCO. Aktivní filtr vyloučí fázovou chybou úplně, nebo pomocí něj ji můžeme nastavit na žádané pevnou hodnotu. Aktivní filtr proto můžeme vhodně využít tehdy, když výstupní napětí fázového diskriminátoru nevykazuje žádné velké odchyly od svého klidového stavu.

Jak již bylo řečeno, má každá smyčka PLL vnitřní dobu zpoždění závislou na fázových poměrech v řídicím obvodu, kterou se do kladné zpětné vazby zavádí záporná zpětná vazba. Filtr prvního rádu vykazuje při svém mezním kmitočtu ještě fázový posuv 45, měníc se při ještě vyšších kmitočtech až hodnoty blízké 90. Tato hodnota se přičítá k fázovému posuvu vlastní smyčky. Tím ovšem filtr zhorší fázovou rezervu smyčky PLL a pro spolehlivý provoz musí být mezní kmitočet nižší, než by bylo třeba při optimálním návrhu. Jestliže (podobně jak je tomu na obr. 27c nebo 27d) zapojíme do série s kondenzátorem ještě rezistor R1 o odporu asi 1/10 R, značně se zlepší překmitnutí smyčky PLL při kmitočtové změně nebo při rušení. Účinek odporu je z toho, co zde již bylo řečeno, zřejmý - pásmový filtr redukuje při změně kmitočtu zesílení v regulační smyčce, ale rušivý fázový posuv filtru je oproti předchozímu o mnoho menší. Při vyšších kmitočtech se může projevit kondenzátor jako zkrat, pak se zde příznivě projeví vliv odporového děliče R+R1, který sám o sobě žádny fázový posuv nezpůsobí. Bohužel tento filtr má také nevýhodu. Zatímco v filtru podle obr. 27a je potlačení kmitočtů o asi 6 dB na oktavu, při filtru na obr. 27c je potlačení menší a je dáno poměrem R/R1. Prostě potlačení nežádoucích kmitočtů je menší, než tomu bylo v případě podle obr. 27a. Nežádoucí modulace VCO rušivým napětím se ale nevyvarujeme, takže po obou stranách žádaného signálu jsou ještě symetricky a v odstupu daném fázovým srovnávacím kmitočtem další nežádoucí signály. Cístečně tomu odpomůže další filtr, eventuálně zapojení podle obr. 27e či 27f, kde C1 má velikost 1/10 C. R1 je vlastně další filtr, který pomáhá odstranit hlavně harmonické kmitočty. Toto zapojení bývá v literatuře popisováno jako filtr se dvěma časovými konstantami.

Další vylepšení získáme jednoduše zařazením dalšího filtru na výstup řídicího zesilovače (obr. 27g, h). Dolnofrekvenční propust je v prvé řadě použita k filtraci porovnávacího kmitočtu a pro tento bude tak navržena, druhý člen RC z výstupního napětí odfiltruje vše rušení, šumy ap. U syntetizátorů s rychlou smyčkou můžeme při změně kmitočtu využít další vylepšení, které nám poskytuje nelineární filtr schematicky znázorněny na obr. 27f nebo 27j. Část odporu R je přemostěna dvěma antiparalelně zapojenými diodami. Při velkých kmitočtových skocích, které vyloučí větší napěťové změny fázového diskriminátoru, se kondenzátory smyčky filtru rychle nabíjejí, tím se diody dostanou zpět do nevodivého stavu a pro statický provoz má filtr opět optimální časovou konstantu.

Předností při použití takového nelineárního filtru je skutečnost, že z fázového diskriminátoru dostáváme stejnosměrné napětí, které není „prošpikováno“ ostrými jehlovými impulsy. Špičky otevřou diody a na výstupu jsou daleko více potlačeny, než by tomu bylo u filtru jiného typu. V tomto ohledu jsou pro vzorkovací fázový diskriminátor ideální.

8.2. Řídicí zesilovač

Při výběru řídicího zesilovače mějte na paměti, že jeho vlastní šum se přivádí přímo na VCO a působí tam jako fázový šum. Zesilovač se nejčastěji konstruuje s použitím diskrétních součástek jako zesilovač, případně měnič impedance s jedním či dvěma tranzistory.

Na obr. 28 k tomu máme příklady. Operační zesilovače jsou sice snadnější přístupné, ale málodky bezšumové. Zcela nevhodné jsou typy 741 nebo CMOS jako TLCE 27M7. Operační zesilovače CMOS nebo nízkovýkonové šumí daleko více než bipolární typy nebo obdobné s FET vstupem. Autor má např. dobré zkušenosti s FET typy ze skupiny TL070, nebo se speciálními bezšumovými zesilovači jako OP27 firmy PMI nebo Analog Devices ap. Nejlepší výsledky, běžeme-li v úvahu i cenu součástek, získáme použitím obvodu NE5534 firmy Philips, který je určen speciálně pro ní účely s velkými nároky. Nevhodou - velký vstupní klidový proud můžeme vyřešit předřazením sledovače s klasickým FET jako je např. BF245.

9. Nastavení a optimalizace řídicí smyčky

Pro optimalizaci dolní propusti a tím řídicího rozsahu smyčky PLL můžeme celé zapojení matematicky analyzovat a doufat, že vše bude pracovat podle zadaných parametrů. Podmínkou výpočtu je ovšem znalost charakteristiky fázového diskriminátoru k řízení VCO. Pro většinu jsou ovšem takové postupy nepřistupné, a proto matematický návrh raději necháme laboratoří, dobrě vybaveným nejen měřicí, ale i výpočetní technikou.

9.1. Optimalizace pomocí experimentu

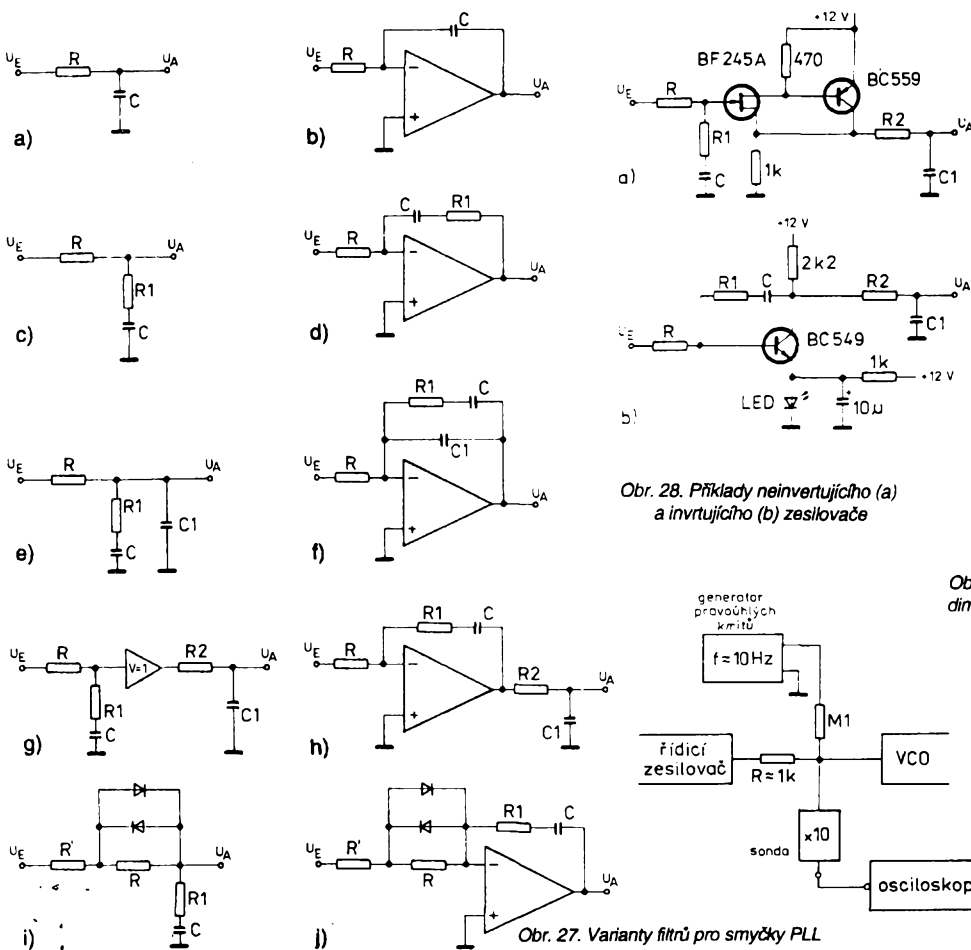
Výchozím bodem bude filtr podle obr. 27c nebo 27d a zkusíme navrhnut syntetizátor pro zařízení s kanálovým odstupem 24 kHz. U syntetizátoru, který by byl určen výhradně pro přijímač, navrhne časovou konstantu RC pro jednu milisekundu - např. $R = 10 \text{ k}\Omega$ a $C = 10 \text{ pF}$ a $C = 0,1 \mu\text{F}$. Místo rezistoru R1 použijeme potenciometr s odporem asi 1/2 R. Pokud bude takový syntetizátor použit i pro FM vysílač, pak zvolíme časovou konstantu mezi 10 až 50 milisekundami, aby velmi rychlá smyčka PLL nebyla ovlivňována nízkofrekvenční složkou modulace. Při takto realizovaném zapojení můžeme vyzkoušet funkci R1. Uvidíme, že řídicí napětí VCO je čistě stejnosměrné, měníc se v okamžiku, když změníme kanál. Pokud řídicí napětí neodpovídá předpokladům, pak to může mít řadu přičin: ladící rozsah VCO nedostačuje nastavenému kmitočtu; řídicí napětí je nedopatráním opačné, takže kmitočtový diskriminátor „přetahuje“ smyčku PLL na opačnou stranu. Podle toho, zda jsme zvolili pasivní neinvertující, nebo aktivní inverující filtr, musíme smysl řízení přepnout. U zapojení PLL s děličkami ECL může být chyba v příliš malém buzení děliče ze strany VCO. Pokud nemá budící signál dostatečnou úroveň, mohou děliče pracovat nepravidelně nebo s jiným dělicím poměrem a pak pochopitelně dostáváme úplně jiné výsledky, než jsme předpokládali.

Pokud řídicí napětí zakmitává a změna R1 nepomáhá, zkusíme zvětšit kapacitu filtracního kondenzátoru tak, až bude zapojení pracovat stabilně. Pokud používáme aktivní filtr, mohou vzniknout problémy se zakmitáváním operačního zesilovače.

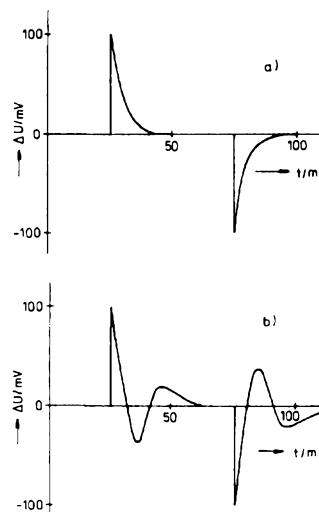
Když syntetizátor pracuje bez problémů na jednotlivých požadovaných kanálech, podíváme se, jak to vypadá na sousedních kanálech - nejlépe spektrálním analyzátem. Hlavně zkontrolujeme kmitočty se stejným odstupem od generovaného, jako je fázový porovnávací kmitočet. Pokud to bude nutné, přidáme další filtr podle obr. 27e až 27h. Pro dimenzování platí, že časová konstanta $R.C \geq 1$ fázový porovnávací kmitočet. Jestliže se výstupní signál nezlepší, je třeba zjistit, zda se rušivé impulsy nepřenáší přímo přes řídicí napětí VCO.

9.2. Optimalizace řídicí smyčky

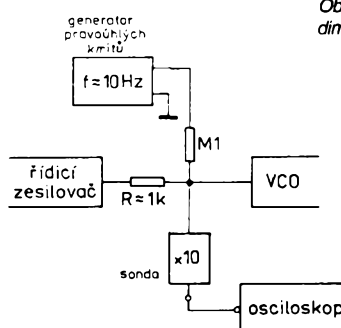
Jestliže syntetizátor pracuje až dosud uspokojivě, můžeme ještě optimalizovat řídicí smyčku. K tomu potřebujeme řídicí smyčku periodicky narušovat a osciloskopem pozorovat tvar regulačního napětí VCO. Zapojení, které k tomu použijeme, je na obr. 29. Zkusíme optimalizovat R, a C ve filtru tak, aby pravoúhlé impulsy z generátoru byly odfiltrovány co nejrychleji a bez překmitu. Pokud je syntetizátor modulovaný, nastavíme čas doregulování asi na 20 milisekund a nastavujeme vždy na spodním rozsahu, kde je možnost nestability největší. V horní části pásma bude útlum regulační smyčky vždy větší a doba zachycení delší. Nedochází zde proto tak často k rušivým jevům jako u spodních kmitočtů. Perfekcionisté mohou navrhnut fázový diskriminátor s programovatelnou strmostí řídicí smyčky tak, aby v závislosti na nastaveném kmitočtu měnil i odpovídající strmost charakteristiky řídicí smyčky. My se však



Obr. 28. Příklady neinvertujícího (a)
a invertujícího (b) zesilovače



Obr. 30. Křivky na osciloskopu při správně dimenzovaném (a) a málo zatluměném (b) obvodu PLL



Obr. 29. Zapojení měřicích přístrojů
k optimalizaci PLL

spokojíme s tím, že nastavíme kompromis mezi čistotou výstupního signálu a řízením. Přitom si pamatujme, že nízkofrekvenční dimenzování pásmového filtru pro fázové porovnání kmitočtu (C1) zvětšuje odstup nežádoucích kmitočtů, ale zmenšuje odstup proti zákmitům.

Na obr. 30a a 30b jsou znázorněny průběhy napětí správně navržené a málo zatluměné smyčky PLL, jak se nám zobrazí při zapojení podle obr. 29.

10. Monolitické funkční bloky PLL

Ještě před několika lety bylo běžné sestavovat digitální část syntetizátoru z klasických integrovaných obvodů. Postupně se však začaly vyrábět obvody se speciálním zaměřením na techniku syntetizátorů PLL, jako je fázový diskriminátor, referenční oscilátor, složitá řídící logika a další. U jednotlivých typů zařízení se také postupně přešlo na mikroprocesorové řízení a integrace obvodů PLL dále pokračovalo. Postupně se vykrytalizovaly firmy, jejichž výrobky jsou pro určitou řadu typické. Hlavně výrobky firem MOTOROLA a PLESSEY jsou dostupné i radioamatérům, zatím co jiné firmy vyrábějí tyto obvody jen jako zákaznické obvody v balení pro výrobní podniky.

10.1. Vybrané obvody PLL

Uvedeme stručný popis některých obvodů, aby si čtenáři udělali přehled, co můžeme od takových obvodů očekávat.

MC145152 (Motorola) - tento dnes, můžeme říci, již starý syntetizátor CMOS je programovatelný paralelně přes 19 datových vstupů a nepotřebuje mikroprocesorové řízení. Pracuje se všemi dostupnými přepí-

natebnými děliči firem Motorola a Plessey. Nevýhodou je, že dělič poměr pro referenční kmitočty je programovatelný jen v osmi stupních. Fázový diskriminátor má dva oddělené digitální výstupy, které lze externě použít pro řídící zesilovač. Impulzy vycházející z fázového diskriminátoru je třeba dobře filtrovat, abychom na výstupu získali dostatečný odstup užitečného signálu od nežádoucích produktů.

MC145156 od stejné firmy je koncipován k programování přes čtyřbitovou datovou sběrnici. Obsahuje referenční dělič a další fázový diskriminátor k vyloučení „mrtné zóny“.

MC145159 je rovněž programovatelný a používá se pro syntetizátory nejvyšší kvality. Má integrován analogový vzorkovací fázový diskriminátor, který sám o sobě produkuje velmi čistý výstupní signál bez rušivých impulzů. Je upraven pro použití pasivního neinvertujícího filtru ve smyčce.

NJ8820 FIRMY Plessey je určen pro velmi kvalitní syntetizátory s málo kanály - obsahuje totiž speciální Interface PROM a data k programování si může sám načíst z paměti EPROM. Vybaven je hrubým digitálním diskriminátorem a velmi kvalitním vzorkovacím diskriminátorem k jemnému ladění. Používá aktivní invertující dolnafrekvenční propust. Obdobné typy, ale s jiným řízením jsou **NJ8821** (čtyřbitová sběrnice) a **NJ88C22**. Vyrobeny jsou technikou CMOS pro kmitočty přes 10 MHz, s externím přepínačem děličem.

SP8853 firmy Plessey je vyroben bipolární technikou, potřebuje relativně velké buzení a k tomu má integrován předělič do 1,5 GHz. Umožňuje velmi rychlé změny kmitočtu. Vyrábí se v lacnější verzi s plastovým pouzdrem jako **SP8861**.

10.2. Vybrané děliče

SP8716-19 typicky do 520 MHz, buzení 7-10 mA. Podle typu dělí s poměrem 1:40/41, 1:64/65, 1:80/81

SP8703 a SP88704 až do 1 GHz, buzení 30 mA s možností potřebného vstupního výkonu. Dělič poměr 1:128/129, druhý typ má buzení jen 10 mA a přepínatelný dělič poměr 1:64/65 nebo 1:128/129.

SP8793 dělí do 225 MHz s poměrem 1:40/41, typický budící proud 4 mA. Interní napěťový regulátor umožňuje provoz při napětí od 6,8 do 9,5 V, pokud není k dispozici 5 V.

Rada dalších je na trhu od firem Fujitsu, Motorola a Siemens, pro amatéry jsou však těžko dosažitelné.

S vědomostmi, které zde byly publikovány, mohou čtenáři zkonstruovat syntetizátor podle svého gusta; dále by mohl a bude následovat jen konkrétní a detailní popis konstrukce nějakého syntetizátoru.

11. Literatura

[9] Arnoldt Michael: Zeitzeichen- und Normalfrequenzempfang Francis-Verlag 1987.

[10] Walz: PLL-Technik, Francis Verlag 1989.

[11] Fujitsu Telecommunication Products, Datenbuch 1992.

[12] Motorola CMOS Data Manual, Volume 2 Special Functions 1983.

[13] Motorola MECL Device Data, 1989.

[14] Plessey Professional Products, Mai

1991.

[15] Plessey Personal Communications Handbook, Jun 1990.

[16] Siemens ICs für industrielle Anwendungen, 1990.

CB report

Občanské radiostanice schválené k provozu v ČR

Od 1. 2. 1994 byly změněny předpisy o schvalování OR. Změna se týká jak dovozců, tak i uživatelů OR. Informace o změnách včetně znění předpisů najdete v AR-B 3/94.

V naší tabulce je ucelený přehled o všech schválených OR k 30. 9. 1994. Uvádíme i některé zajímavé neschválené OR, vhodné pro radioamatérský provoz.

Každý uživatel OR, který ji zakoupí u českého prodejce, dostane k OR kopii rozhodnutí o schválení. Kopie musí být opatřena originálním razítkem dovozce. Dle předpisu musí být na OR schvalovací značka (většinou jsou to samolepky, jejichž vzhled najdete v AR-B 3/94). Tyto náležitosti je nutné zkontrolovat při nákupu OR, jinak povolovací orgán OR nepovolí k provozu. Povolení si ihned po nákupu OR vyfíde u nejbližšího povolovacího orgánu ČTÚ, jejichž adresy uvádíme. Tiskopisy a informace k žádosti si vyžádejte poštou či telefonicky u nejbližšího povolovacího orgánu ČTÚ.

Povolovací orgány ČTÚ

Český telekomunikační úřad - MH ČR
Oblast Praha
Novodvorská 994, 142 21 Praha 4
tel.: (02) 4702, linka 472

Český telekomunikační úřad - MH ČR
Oblast středočeská
Novodvorská 994, 142 21 Praha 4
tel.: (02) 4702, linka 300

Český telekomunikační úřad - MH ČR
Oblast jihoceská
Klášťová 7, 370 04 Č. Budějovice
tel.: (038)37404

Český telekomunikační úřad - MH ČR
Oblast západoceská
pošt. pfir. 273, 305 73 Plzeň
tel.: (019)287678, 286878

Český telekomunikační úřad - MH ČR
Oblast severočeská
Moskevská 7, 400 01 Ústí n. L.
tel.: (047)24942

Český telekomunikační úřad - MH ČR
Oblast východočeská
Hradecká 1151, 502 53 Hr. Králové
tel.: (049)611300

Český telekomunikační úřad - MH ČR
Oblast jihomoravská
Jurkovičova 1, 638 00 Brno
tel.: (05)523932

Český telekomunikační úřad - MH ČR
Oblast severomoravská
Slavíkova 1762, 708 00 Ostrava
tel.: (069)691642

Dovozci - držitelé rozhodnutí

Plné adresy dovozců lze nalézt v inzertní části AR. Dovozci jsou uvedeni v abecedním pořadí a názvy firem jsou zkráceny.

1. ABC + electronic, Milevsko
2. Allamat Electronic, Dobříš
3. Computer Connection, Praha
4. Conrad Electronic, Bor
5. ELIX, Praha
6. ELZA, Brno
7. FAN radio, Plzeň
8. GES - ELECTRONICS, Plzeň

9. JAMAR electronic, Brno
10. JJJ Sat & Besie, Praha
11. President Electronics, Ostrava
12. R-Com, Liberec
13. R.D.Engineering, Pardubice
14. SPT Telecom, Praha
15. STA servis, Karlovy Vary
16. TIBAS, Olomouc
17. ZODIAC Com. CZ, Praha

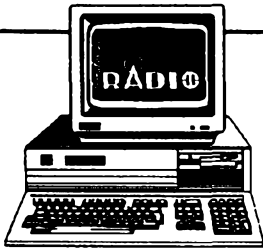
Vysvětlivky k anglickým zkratkám v tabulce na další straně

| | |
|---------------|--|
| PORTABLE | ruční (přenosná) radiostanice |
| MOBILE | vozidlová radiostanice (možno i základnová) |
| BASE | základnová radiostanice (vozidlová se sítovým napájecím) |
| CEPT | radiostanice schválena podle doporučení CEPT |
| SCHVÁLENO CZ | radiostanice schválena pro provoz v ČR |
| FM-CH | počet kanálů při FM modulaci |
| FM-PWR | maximální výstupní výkon při FM modulaci |
| AM-CH | počet kanálů při AM modulaci |
| AM-PWR | maximální výstupní výkon při AM modulaci |
| SSB-CH | počet kanálů při SSB modulaci |
| SSB-PWR | maximální výstupní výkon při SSB modulaci |
| VOL-ON/OFF | regulátor pro nastavení hlasitosti při příjmu, zap/vyp |
| CHANNEL | otocný prepínač pro nastavení kanálů |
| UP/DOWN | tlačítka pro nastavení kanálů (nahoru/dolů) |
| SQUELCH | regulátor pro nastavení umlčovače šumu při příjmu |
| MIC GAIN | regulátor pro nastavení citlivosti mikrofonu při vysílání |
| RF GAIN | regulátor pro nastavení citlivosti přijímače |
| TONE | regulátor pro nastavení tónové clony při příjmu (někdy tlačítka) |
| CLARIFIER | regulátor rozladení přijímače - RIT (někdy i vysílače) |
| POWER REDUCER | regulátor (někdy prepínač) pro nastavení výstupního výkonu |
| SELECT | tlačítka funkce selektivní volby |
| SCAN | tlačítka funkce skanování (automatického prohlížení) kanálů |
| DW | tlačítka funkce hlídání na druhém kanále |
| MEMORY | tlačítka paměti kanálů (uveden počet paměti) |
| NB/ANL | tlačítka funkce omezovače poruch při příjmu |
| PA/CB | tlačítka funkce provozu PA (vnějšího megafonu) |
| H/L | tlačítka funkce snížení výkonu (např. 4/0,5 W u ručních radiostanic) |
| PRI/EMG | tlačítka funkce prioritního kanálu |
| 9/19 | tlačítka volby prioritního kanálu |
| LO/DX | tlačítka funkce snížení citlivosti přijímače |
| BEEP | tlačítka funkce bipnutí při přechodu z vysílání na příjem |
| DIMMER | tlačítka funkce změny jasu LED či osvětlení LCD displeje |
| NIGHT DESIGN | osvícení ovládacích prvků radiostanice |
| S-METER | indikátor síly pole při příjmu |
| MOD-METER | indikátor modulace |
| RF-METER | indikátor výkonu při vysílání |
| SWR-METER | indikátor ČSV antény |
| LCD DISPLAY | displej z tekutých krystalů (zanedbatelná proudová spotřeba) |
| LED DISPLAY | displej ze svítivých diod (vysoká proudová spotřeba) |
| ANALOG METER | analogové ručkové měřidlo pro S/RF/SWR-METER |
| LED/LCD METER | segmentová indikace pro S/RF/SWR-METER |
| BAT CONTROL | indikace poklesu napětí zdroje pomocí LED či na LCD displeji |
| SAVE | funkce omezení proudové spotřeby při příjmu bez signálu |
| EXT. SPEAKER | konektor pro připojení vnějšího reproduktoru CB |
| EXT. PA | konektor pro připojení vnějšího reproduktoru PA |
| EXT. S-METER | konektor pro připojení vnějšího S-metru |
| EXT. MIKE | konektor pro připojení vnějšího mikrofonu |
| EXT. HEAD | konektor pro připojení vnějších sluchátek |
| EXT. SELECT | konektor pro připojení vnější selektivní volby |
| EXT. CHARGER | konektor pro připojení vnějšího nabíječe |
| EXT. DC | konektor pro připojení vnějšího napáječe |
| ANT. PL | antenní konektor PL |
| ANT. BNC | antenní konektor BNC |
| ANT. TNC | antenní konektor TNC |

Za pomoc při zpracování článku děkujeme pracovníkům MH ČR ČTÚ odboru certifikace řediteli Ing. J. Sedláčkovi a Ing. J. Mackovi.

František Andrlík, Radek Rous
FAN radio s.r.o., Plzeň

FAN radio s.r.o.
Plzeň

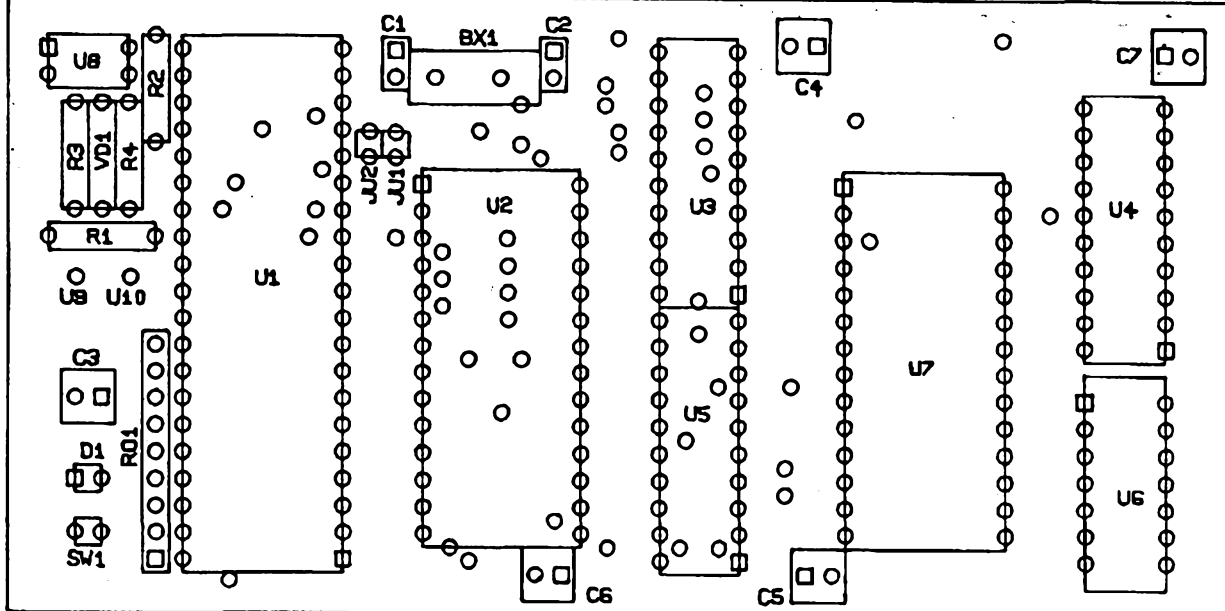


COMPUTER

HARDWARE & SOFTWARE
MULTIMÉDIA

kalibey

Rubriku připravuje Ing. Alek Myslík. Kontakt pouze písemně na adresě: INSPIRACE, V Olšinách 11, 100 00 Praha 10



Obr. 1. Rozmiestnenie súčiastok na doske s plošnými spojmi simulátora EPROM 32 kB

SIMULÁTOR EPROM 32 kB

Ing. M. Stránsky, Trenčianska 724/44-6, 018 51 Nová Dubnica

V súčasnosti nie je už výnimkou, že sa s mikroprocesorovou technikou zaoberejú aj amatéri. Avšak zakúpenie akéhokoľvek emulátora, ktorý je väčšinou použiteľný len pre jeden druh procesora, je nemyšliteľné. Preto sa značne rozšírili simulátory EPROM, ktoré sú cenovo neporovnatelne lacnejšie.

Avšak v bežne dostupnej literatúre som sa nedočkal takého simulátora, ktorý by mi svojimi vlastnosťami vyhovoval, a tak vznikol tento simulátor EPROM s nasledovnými vlastnosťami:

– pripojenie k host počítaču, na ktorom sa deje preklad programu, je len dvojvodičové a použiteľné aj na väčšie vzdialenosť,

– na host počítači nepotrebuje žiadny podporný program na prenos preloženého programu, takže to nemusí byť len IBM PC,

– vyvájané zariadenie a počítač sú galvanicky oddelené,

– simulátor EPROM sa napája z vyvájaného zariadenia, pri použití obvodov CMOS je to menej ako 150 mA.

Schéma zapojenia je na obr. 2. Základom simulátora je jednočipový mikropočítač i87C51. Ten so svojim pro-

**MĚŘENÍ • ŘÍZENÍ • OVLÁDÁNÍ
POČÍTAČEM**
s FCC Folprecht

gramom zabezpečuje príjem preloženého programu po sériovej linke vo formáte INTEL HEX. Keďže tento formát je už zabezpečený kontrolnými sumami, nie je potrebné spätné potvrzovanie správnosti prenosu dát do počítača.

Formát INTEL HEX je nasledovný (je to obyčajný textový súbor a generujú ho všetky prekladače):

:LLAAAATTD1D2D3.....DnCC

kde

: je úvodný znak každého riadku
LL je dĺžka bloku dát – n,

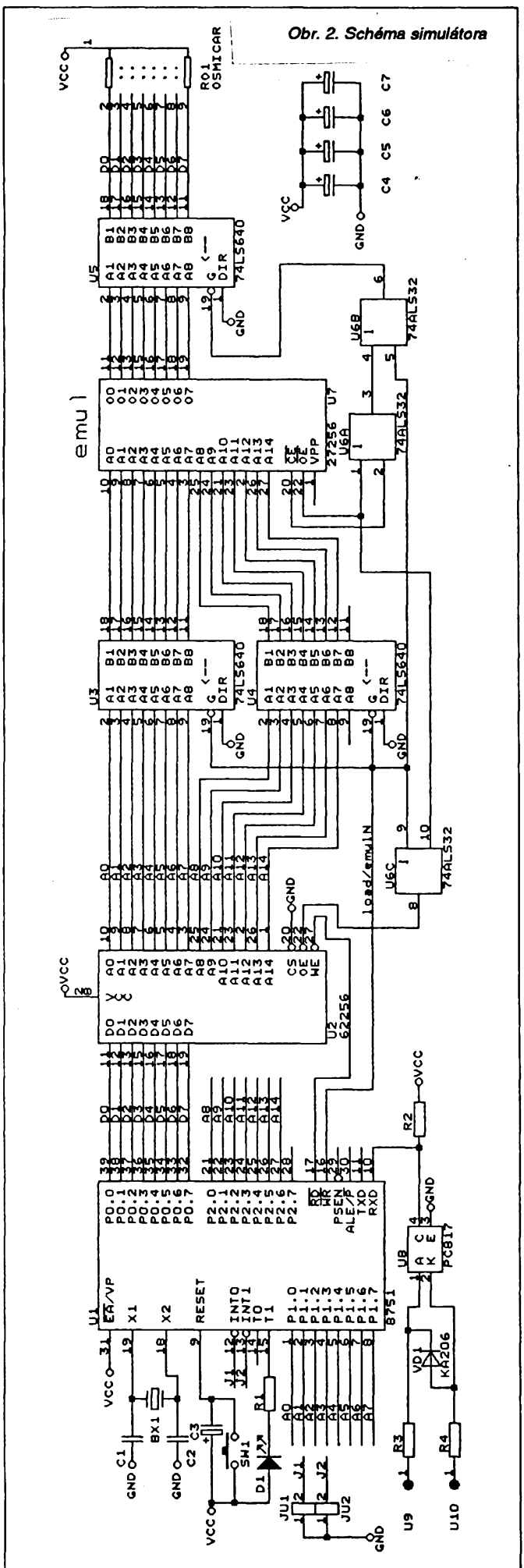
AAAA je adresa kam budú uložené dátá,

TT je označenie bloku - 00 je dátový blok, 01 je koncový blok, 02 je segmentový blok (v tomto prípade bezvýznamný),

D1 až Dn sú prenášané dátá,

CC je kontrolná suma pre jednotlivý riadok.

Údaje sú z textového formátu prekódované a zapísané do pamäti RAM 62256, od kiaľ sú potom počas simulácie čítané a dostupné vyvájanému zariadeniu, ako keby to bola skutočná EPROM. Budíce 74HCT640 slúžia na oddelenie vnútorných obvodov simulátora na dobu prenosu vyvájaného programu a pri simulácii poskytujú značný logický zisk. Program pre procesor je napísaný tak, aby bolo možné použiť aj neinvertujúce budiče, napr. obvod



Výpis obsahu EPROM procesora 87C51

```

:1001160020980280FBC298AF9922C2B580FE7E006D
:100126001200D630003600020C019D01A301A80182
:10013600AD01B201B701BC01C101C601CB020C027F
:100146000C020C020C020C020C020C01EE01F30173
:10015600F801FD02020207020C020C020C020C025C
:100166000C020C020C020C020C020C020C020C0219
:100176000C020C020C020C020C020C020C020C0209
:100186000C020C020C020C020C01D001D6016F
:10019600DA01DF01E401E97F00220202117F012278
:1001A60080697F022280647F0322805F7F04228031
:1001B6005A7F062280557F062280507F07228047A
:1001C6007F082280467F092280417F0A22803C7F69
:1001D6000B2280377F0C2280327F0D22802D7F0EEE
:1001E6002280287F0F2280237F0A22801E7FOB22F7
:1001F60080197F0C2280147F0D22800F7F0E2280B3
:100206000A7FOF2280051201208000221201161299
:100216000124EF540FC4F509120116120124E50951
:100226002F509E5122809F512AF0922750A00E531
:100236000AC3951040030203281202128F0B30B234
:10024600028036E50A250FFFE4350E8F0D2440F5B2
:100256000C30B413E50C7E00F4F5A0E50DF4F59032
:10026600E50BF4F580800CE50C7E00F5A0850D907D
:10027600850B80C2B7C2B7D2B730B302806CE50A2D
:10028600250FFFE4350E8F0D2420F50C30B413E561
:100296000C7E00F4F5A0E50DF4F590E50BF4F58081
:1002A600800CE50C7E00F5A0860D90860B80C2B70D
:1002B600C2B7D2B7E50A250FFFE4350E8F0D2460CD
:1002C600F50C30B413E50C7E00F4F5A0E50DF4F56D
:1002D60090E50BF4F580800CE50C7E00F5A0860DOD
:1002E60090850B80C2B7C2B7D2B7E50A250FF50DC8
:1002F600E4350EF50C30B413E60C7E00F4F5A0E6FC
:100306000DF4F590E50BF4F580800CE50C7E00F618
:10031600A0850D90850B80C2B7C2B7D2B7050A0279
:100326000235227680FF7590FF75A0FFC2B62212B6
:100336000212E5126005120120803D120329E4F540
:100346000AF50BC3E50B9488E50A9413600A050BCE
:10035600E50B7002050A80EBD2B5E4F50AF50BC38E
:10036600E50B9488E50A9413600A050BE50B700219
:10037600050A80EBC2B580C622758700758DFD75AE
:100386008921758840759852C2B5D2B6E4F50EF546
:100396000FE50EC39480503030B411E50E7E00F4A4
:1003A600F5A0E50FF4F590758000800CE50E7E0053
:1003B600F5A0850F907580FFC2B7C2B7D2B7050FFB
:1003C600E50F7002050E80C9D2B5120116EF643A28
:1003D600600280F67512001202128F101202128F3E
:1003E60011202127E00E511FB7A008B02E42FF552
:1003F6000FEE3AF60E120212EF7005120232800F6E
:10040600EF64017005120335800512012080001289
:100416000212E512600312012012011612011612D1
:100426000116EF643A6003120120751200B2B5801E
:01043800A61F
:03000000020003F8
:1000030075811278127600D8FC900000AE83AF821F
:100013009000001200416006E4FOA380F690009F79
:1000230012004A9000A312004A9000A712006890A1
:1000330000AD12006875D00012037F0200B3EF66B4
:10004300827003EE668322E493F8740193F97402DA
:1000530093FE740393F5828E83E869700122E4931F
:10006300F6A30880F4E493FC740193FD740293FEF9
:10007300740393FF740493F8740593F5682888312D1
:100083000041700122E493A3A883A9828C838D820B
:10009300F0A3AC83AD828883898280E313130116B6
:1000A30013130116000001160116000001160116B4
:0200B30080FEC0D
:1000B600D083D082C3E493A3CF9FFFE493A3CE9EC6
:1000C500FE93A3CD9D7045E493A3CC9C703F801116
:1000D800D083D082C3E493A3CF9FFFE493A3CE9EA6
:1000E500FE20E729C3E493A39FE493A39E20E71290
:1000F600A3A3EF2F500205832582F582E5833E2ECB
:10010800F583740193C0E0E493C0E022A3A3A38028
:01011500F1F8
:00000001FF

```

74HCT245 (v takom prípade stačí uzemniť pin č.14 procesora, čo je príznak pre procesor, že sú použité neinvertujúce budiče).

Chcel by som na tomto mieste zdôrazniť, že frekvencia kryštálu musí byť dodržaná, pretože sú z neho odvodené aj hodiny pre sériovú linku mikroprocesora i87C51. Aj samotný program pre i87C51, zabezpečujúci činnosť simulátora, je vo formáte INTEL HEX (viď Výpis ...).

Galvanické oddelenie je dosiahnuté použitím optočlenu PC817 na vstupe. Ten je dostatočne citlivý na to, aby sa mohol pripojiť výstup RS232 priamo. Ak použijeme ako host počítač IBM PC, tak na vstup U9 pripojíme TxD a na U10 GND sériového portu. Ak máme na porte 9-pinový CANON, tak GND je na 5 a TxD sú na 3. Nezabudnite pripojiť 7-8 a 4-6.

Po nastavení sériového portu príkazom

MODE COM1:96,n,8,1

sme pripravení k prenosu preloženého programu do simulátora. Na simulátore spravíme reset pomocou SW1 (skratujeme prepojku). LED D1 sa rozsvietí a počas doby, kedy procesor plní RAM 62256 bajtami FF, svieti, čo je nutné v prípadoch, kedy budeme napr. počítať kontrolnú sumu obsahu EPROM a pri náhodnom obsahu simulátora by to mohlo spôsobiť problém. Po chvílikе zhasne a procesor už čaká na príjem údajov.

Teda po bliknutí LED napišeme ďalší príkaz

COPY mojprog.HEX com1:

Dióda LED sa začne v rytme prichádzajúcich riadkov zažínať a zhasniť. Ak počas prenosu nastane chyba, tak LED ostane alebo rozsvietená alebo zhasnutá. Ak celý prenos prebehne v poriadku a príde v poriadku aj koncový blok, tak sa simulátor prepne do režimu simulácie, úrovňou log. 0 na pin 16. V režime simulácie dióda LED bliká. Do režimu príjmu programu sa dostane po resetovaní simulátora. Podobne postupujeme aj ak sa jedná o iný sériový port, prípadne ajo iný počítač. Prepojkami JU1 a JU2 možeme navoliť aj simuláciu EPROM 16 kB a 8 kB a to takto:

| EPROM | JU1 | JU2 |
|-------|-----|-----|
| 32 kB | - | - |
| 16 kB | * | - |
| 8 kB | * | * |

kde * znamená skrat. Zabezpečí sa tým „nazrkadlenie“ vyvájaného programu dva resp. štyri krát do RAM 62256. Je vhodné použiť namiesto resetovacieho tlačítka na vyvájanom zariadení prepínač, aby vtedy, keď sa prenášajú údaje do simulátora, „neblúdi“ procesor vo vyvájanom zariadení. Potom činnosť vyzerá nasledovne:

- prepínačom dám na vyvájanom zariadení trvale reset,
- zapneme napájanie, ak nebolo zapnuté,

– na simulátore dám reset pomocou SW1,

– z host počítača pošleme po sériovej linke mojprog.HEX,

– po úspešnom prenose programu uvoľníme prepínačom reset na vyvájanom zariadení.

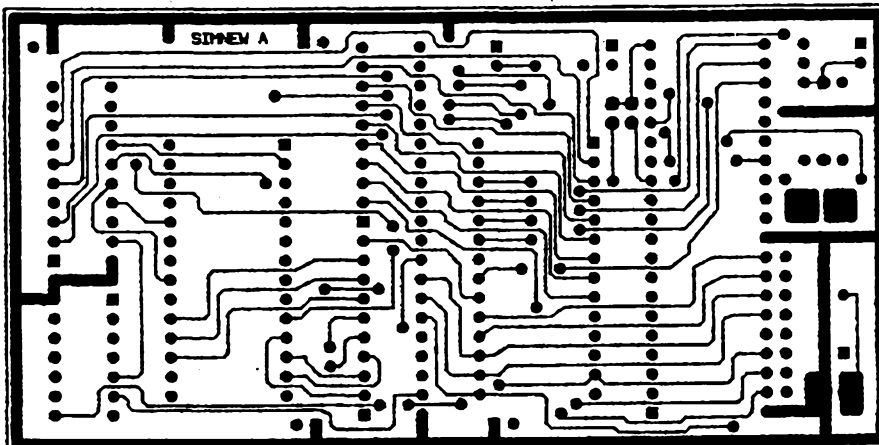
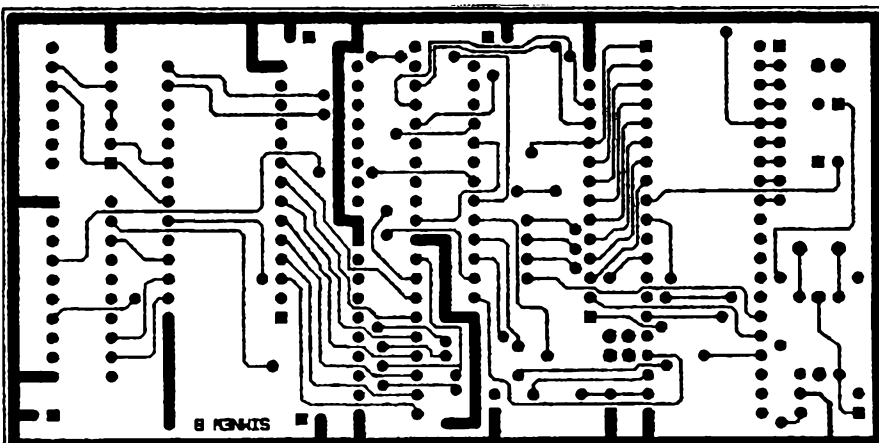
Od toho okamihu môžeme sledovať, ako sa chová náš program vo vyvájanom zariadení.

Je možné použiť aj procesor 8751H a aj obyčajné budiče, avšak potom simulátor odoberá podstatne väčší prúd zo zariadenia. Pri použití plošného spoja s nespájkovateľnou ochrannou maskou a pri kvalitnom osadení súčiastok podľa zoznamu je simulátor prakticky hotový. Na mieste U7 zasunieme odspodu obojstranne lišty, ktoré zo strany súčiastok prispájkujeme. Potom pri použití päťic precision môžeme nadstaviť výšku tak, aby sme mohli simulátor zapichnúť do päťice EPROM vo vyvájanom zariadení. Zámerne nie je konštrukcia stesnaná, dosiahneme tým menšie problémy pri výrobe. Bolo by možné vyrobiť simulátor aj použitím technológie SMD, ale podstatne by sa tým znížila reprodukovateľnosť v širokej amatérskej obci. Vďaka tomu, že konštrukcia je veľmi jednoduchá a jednoduché je i prepojenie s host počítačom, môžem tento simulátor doporučiť i začínajúcim amatércom.

Bližšie informácie v prípade záujmu o stavbu simulátora, prípadne o niektoré jeho časti, dostanete proti poštovej známke na adresu autora.

Zoznam súčiastok simulátora EPROM

| | |
|----------|--------------------------|
| U1 | 87C51 OTP verzia |
| U2 | 62256 CMOS RAM |
| U3, 4, 5 | 74ALS640 (HCT) |
| U6 | 74ALS32 (HCT) |
| RO1 | 8x 2,2 kΩ |
| BX1 | Xtal 11059 kHz |
| C1, 2 | 22 pF/J stabilit |
| C3 až C7 | 2,2 µF/6,3 V tantal |
| SW1, | |
| JU1, 2 | prepojka 2 pin |
| D1 | dioda LED |
| R1 | 330 Ω TR296 |
| R2, 3, 4 | 1 kΩ TR296 |
| U7 | lišta obojstr. 2x 14 pin |
| U8 | optočlen PC817 |
| U9, 10 | pájkovacie očká |
| VD1 | dióda KA206 |



Obr. 3. Obrazce dosky s plošnými spoji simulátora EPROM - hore pohľad zo strany súčiastok, dole zo strany spojov. Rozmiestnenie súčiastok je na obr. 1 na prvej strane rubriky.

Od firmy Microsoft člověk standardně očekává software. Nicméně v poslední době se objevily dva nové hardwarové produkty této firmy - Microsoft Home Mouse a Microsoft Natural Keyboard. Protože jejich řešení je originální, chceme vás s nimi seznámit.

Se svým unikátním vzhledem je Microsoft Home Mouse cestou k personalifikaci každého domácího PC. Jako první hardwarový produkt Microsoftu, vytvořený speciálně pro domácí uživatele počítačů, Home Mouse napodobuje svým vzhledem „domeček“. Tlačítka myši, z nichž levé je větší (což reflekтуje jeho preferované používání), mají tvar domků a přívod kabelu vypadá jako komín. Tvar je navržen tak, aby vyhověl co největšímu rozsahu velikosti ruky, aby všechni členové rodiny mohli pohodlně s myší a jejími tlačítky zacházet. Břidlicově modrá barva byla vybrána na základě průzkumu, který ukázal, že právě tu barvu předpokládají uživatelé preferují. Modrá barva údajně tvorí vyvážené spojení mezi zábavou a profesionálním ukazovacím zařízením, a dodává domácímu počítači určitý osobní „šmmc“. Navíc dobré ladí s tradičním barevným laděním počítačů.

Microsoft Home Mouse přichází s vlastním softwarovým ovladačem, který pomůže oživit domácí „počítačování“. Volbou speciálních efektů v IntelliPoint Software, Home Edition, mohou domácí uživateli přidávat ke svým „myším“ úkonům animaci a zvuky. Např. při „tažení“ souboru s uměleckým výtvorem Vašeho dítěte přes obrazovku mohou „odletovat jiskry“. Nebo stisk na druhé tlačítka myši může spustit povzbudivý nebo jakýkoliv jiný z 20 zvuků, dostupných ze softwarového ovladače. Kursor myši může nabývat různých tvarů – např. může vypadat jako letadlo, které bude měnit svůj směr změňte-li velikost dokumentu, nebo jako hudební nástroj, který se změní na buben, je-li aplikace spuštěna. Kursor může mít tvar sportovních nebo tanecních ikonek nebo různých potravin. Všechny efekty se volí velmi snadno na obrazovce obslužného softwaru.

Microsoft *Home* MOUSE



HARDWARE od MICROSOFTU

Žádná jiná část počítačového vybavení nezůstala tak dlouho nezměněná, jako klávesnice. Ale došlo i na ni. Nechme o tom pohovořit vývojové pracovníky Microsoftu:

Začali jsme sledováním, jak lidé pracují u počítače. Pozorováním přirozené polohy jejich těla. Jak píší na klávesnici. A jak pracují s Windows. Naše pozorování, upřímně řečeno, byla velmi poučná. Objevili jsme, že jsme velký prostor pro vylepšení klasické klávesnice. Objevili jsme, že může být mnohem lépe přizpůsobena dnešnímu počítačovému pracovišti, než tomu ve skutečnosti je.

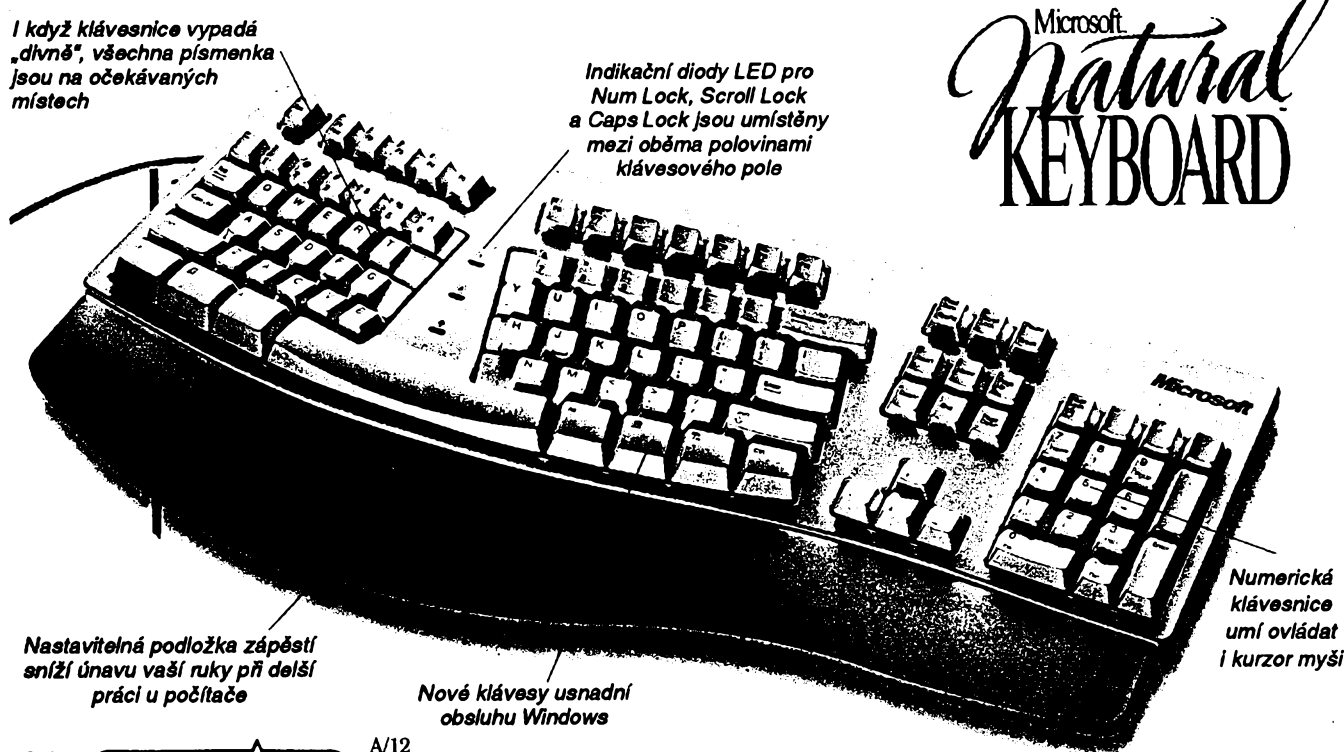
Tak jsme ji začali postupně předělávat. A výsledek tohoto našeho rozsáhlého ergonomického a s využitím klávesnice souvisejícího výzkumu? Zcela nový druh klávesnice - klávesnice, která „padne“ vaší práci u počítače asi tak, jako vám „padnou“ nové, dobré ušité šaty. Klávesnice s rozděleným klávesovým polem, mírně skloněným na obě

strany, které mnohem lépe odpovídá přirozené poloze vašich rukou a zápěstí. Přidaná plocha před klávesovým polem vám umožňuje pohodlně si opřít ruce. V tomto novém uspořádání mohou vaše zápěstí zůstat přímější, což pomáhá uvolnit vaše předloktí. A to zase ve svém důsledku uvolní ramena. Můžete i po dlouhé době sedět u počítače přirozeně a uvolněně.

Tím jsme ale nemohli skončit. Klávesám jsme dali příjemný, měkký povrch. Tři nově přidané funkční klávesy (označené logem Windows) a nový obslužný software - keyboard manager a cursor accelerator - zjednoduší přístup k operačnímu systému Windows a jeho obsluhu. Nakonec i cena klávesnice byla stanovena tak, aby vyhověla vašim peněžence alespoň do té míry, jako klávesnice vyhoví vašim rukám.“

Musíte ji vyzkoušet.

Microsoft
Natural
KEYBOARD



Nastavitelná podložka zápěstí sníží únavu vaší ruky při delší práci u počítače

Nové klávesy usnadní obsluhu Windows

Numerická klávesnice umí ovládat i kurzor myši



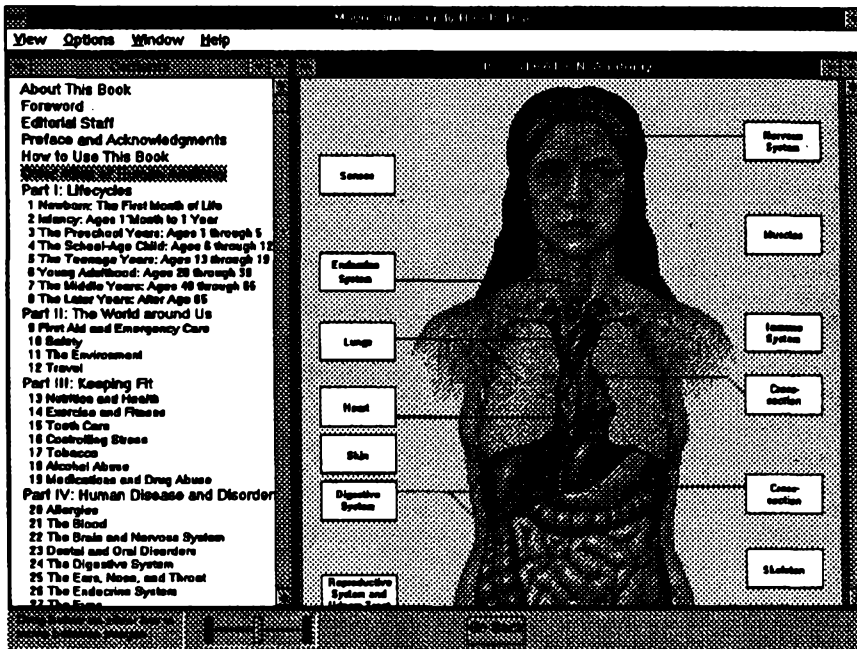
MULTIMÉDIA

PRAVIDELNÁ ČÁST COMPUTER HOBBY, PŘIPRAVOVANÁ VE SPOLUPRÁCI S FIRMOU OPTOMEDIA

Educational Software Bundle

Pack EP1 je soubor 5 multimedialních produktů, určených ke vzdělávání všech věkových kategorií. Stejně jako minule popsány 10 PAK již i tento soubor přichází s donedávna neuvěřitelnou cenou - všechn pět produktů (4x CD-ROM a 1 disketa) stojí dohromady ani ne 2700 Kč, což je cena, za kterou byste ještě na jaře pořídili tak jeden CD-ROM.

Jde při tom o velmi kvalitní produkty - *Mayo Clinic Family Health Book*, *Comptons Interactive Encyclopedia*, *World Literary Heritage*, *Where in the World is Carmen Sandiego?* a *The Photo Factory for Windows*. Pokusíme se vám je ve stručnosti představit.



World Literary Heritage

—Tento CD-ROM je elektronická knihovna. Obsahuje více než 700 klasických děl literatury, dramatu, poezie, ale i historie, náboženství, filozofie a politiky od více než 150 autorů z celého světa.

Najdete zde pohádky H. Ch. Andersena, vybrané spisy Aristotela, Platóna a dalších Řeků, Homérovu Iliadi, text Bible a Koránu, Buddhovo pojednání o čtyřech vznešených pravdách, Cervantesova Dona Quixota, Robinsona Crusoe D. Defoe, Knihu džunglí od R. Kiplinga, Goethova Fausta, Peer Gynta H. Ibsena, výběr z děl W. Sha-

kespeara, A. E. Poe, O. Wilda, J. Londona, J. Vernea a další a další.

Zajímají-li vás autoři, máte k dispozici životopisy a obrázky všech autorů, jejichž díla jsou v této elektronické knihovně uvedena. Nechcete-li zrovna číst ale jen poslouchat, je zde více než 20 minut čtených ukázek z uvedených děl (v CD kvalitě).

ROBINSON CRUSOE (1719)
written by Daniel Defoe

I was born in the year 1632, in the city of York, of a good family, though not of that country, my father being a foreigner of Bremen, who settled first at Hull. He got a good estate by merchandise, and leaving off his trade lived afterward at York, from whence he had married my mother, whose relations were named Robinson, a good family in that country, and from whom I was called Robinson Crusoe; but by the usual corruption of words in England

Defoe - Robinson Crusoe

Robinson
Crusoe
(D. Defoe)
z elektronické
knihovny
*World Literary
Heritage*



CD-ROM je vybaven standardním vyhledávacím softwarem, můžete vyhledávat slova i fráze, můžete si psát vlastní poznámky do libovolného místa textu. Text je na obrazovce ve velmi přijemném a dostatečně velikém fontu, takže jeho čtení neunaví ani po delší době.

Mayo Clinic Family Health Book

CD-ROM s názvem *Mayo Clinic Family Health Book* poskytuje praktické, spolehlivé, úplné a srozumitelné informace o všem, co souvisí s vaším dobrým zdravím. Většina informací pochází přímo z vlastních zkušeností více než 1100 lékařů a výzkumných pracovníků této kliniky, která existuje již přes 100 let a posloužila za tu dobu asi čtyřem miliónům pacientů.

Obsah je rozdělen do 5 hlavních částí. První kapitola popisuje všechna období lidského života a všechny projevy, změny, potřeby a nemoci, které

s nimi souvisejí. Druhá kapitola je věnována první pomoci a je doplněna informacemi o životním prostředí a bezpečnosti. Třetí kapitola je o tom, jak se udržet fit – dobré zvyky jsou klíčem k dobrému zdraví. Dozvěte se zde o výživě, cvičení, péči o chrup, zvládání stresu ap. Čtvrtá kapitola pojednává o nemocech. U každé nemoci jsou uvedeny příznaky a symptomy, stručný popis průběhu nemoci, způsoby diagnózy, zhodnocení závažnosti nemoci a podrobná informace o prevenci a způsobech léčení. Pátá kapitola pojednává o systému léčebné péče (v USA), o moderní farmakologii a dalších souvisejících moderní péče o zdraví. Informace, které vás zajímají, můžete vyhledávat buď v podrobném obsahu, nebo pomocí rychlého vyhledávání zadáním hesla (slova, pojmu). Celý text je uspořádán jako hypertext, tzn. že v textu jsou důležitá slova barevně odlišená a „uknutím“ na ně se dostanete do dalších souvisejících informací. Velmi pěkně je udělaný anatomický atlas – je to jediný obrázek (ženy), a posuvným (myší) tlačítkem se postupně (velmi plnule) mění „hloubka“ obrázku, tj. vidíte postupně kostru, vnitřnosti, svaly, žlázy a kůži. Jinak je zde téměř 400 vyobrazení, z nichž asi 50 je „živých“ (např. velmi atraktivní ukázka funkce srdce prolínáním schématické animace a filmového záběru). Mnoho obrázků je slovně komentováno (předpokladem je zvuková karta). Text lze pouze číst, program není vybaven možností tisku ani převádění textu do souboru nebo na clipboard. Pokud vám nevadí, že „je to anglicky“ (lze to výhodně využít k učení se), je to výborný „domácí lékař“, který prakticky nezabere žádné místo ...

Comptons Interactive Encyclopedia

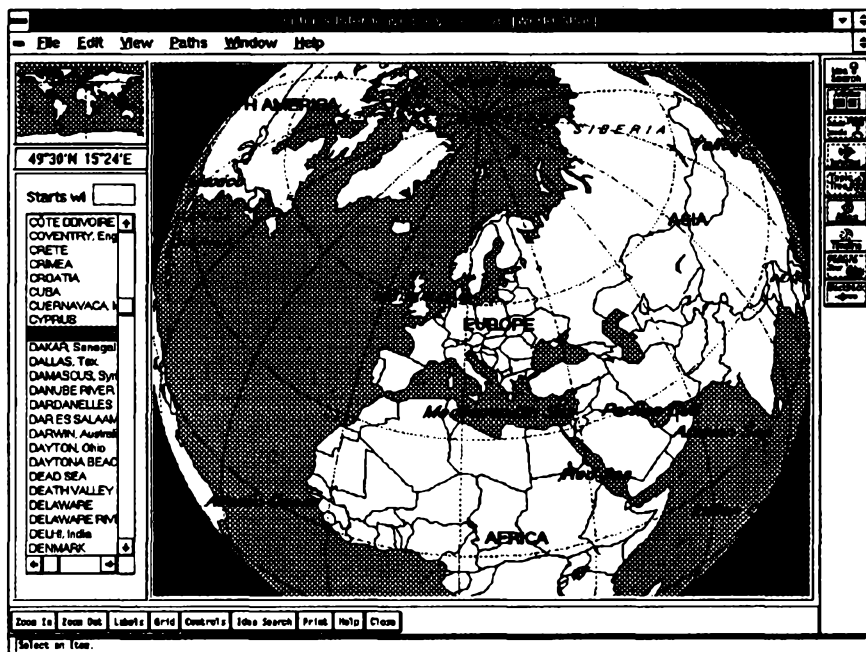
Encyklopédie zůstává nejděčnějším námětem pro multimediální zpracování. Nabízí množství zajímavých informací, které lze vyjádřit nejrůznějšími způsoby – textem, obrázkem, zvukem, filmem a jejich vzájemnou kombinací.

V CIE je několik způsobů přístupu k uloženým informacím – lze je snadno volit některým z 8 symbolických tlačítek.

Idea Search – vyhledávání podle základní myšlenky. Určíte si hlavní pojmy (hesla) požadované informace a program vám nabídne všechny jejich výskytu. Z nich si pak postupně vybíráte to, co chcete vidět v detailu.

Articles (články) vám nabídne abecedně seřazený seznam všech článků (hesel) encyklopédie.

Multimedia zobrazí seznam všech obrázků, zvuků, videosekvencí, animací a prezentací obsažených v encyklopédii.



k obrázku nebo celý s tématem související dokument.

V encyklopédii je asi 32 000 článků. Jsou zpracovány v hypertextu a lze tak snadno přecházet na související pojmy a jejich vysvětlení.

Po levé straně textu se vyskytují různé ikony, informující o případných doplňujících obrázcích, zvukových záznámech, videozáznamech a dalších souvisejících materiálech. Ťuknutím na ikonu lze příslušný materiál vyvolat.

Je to na dlouhé zimní večery ... nepřeberné množství zajímavých informací a ještě se při tom učíte anglicky

A o dalších dvou titulech již jen stručně:

Where in the World is Carmen Sandiego?

Jako detektiv pracujete pro společnost ACME. Máte její high-tech přístroj - *Acme CrimeStopper* - který vám umožňuje řešit případy v celém světě, aniž byste museli sedět v kanceláři. Funguje současně jako fax, organizer, videotelefon a „připomínáč“ a spojuje vás přes satelitní síť se šéfem.

Vaším úkolem je co nejrychleji dopadnout pachatele, který se chce skrýt v některém ze 60 míst celého světa, a usvědčit ho.

Příjemná hra na detektiva.

The Photo Factory for Windows

Na jedné disketě 3,5" je v sadě Educational Software Pack program pro prohlížení a práci s obrázky na Kodak Photo CD (technologie rozšiřující se již i u nás - vaše klasicky nařafotografované obrázky jsou nahrány na CD-ROM a můžete s nimi pracovat v počítači).



VOLNĚ SÍŘENÉ PROGRAMY

ČÁST COMPUTER HOBBY PŘIPRAVOVANÁ VE SPOLUPRÁCI S FIRMAMI FCC FOLPRECHT A JIMAZ

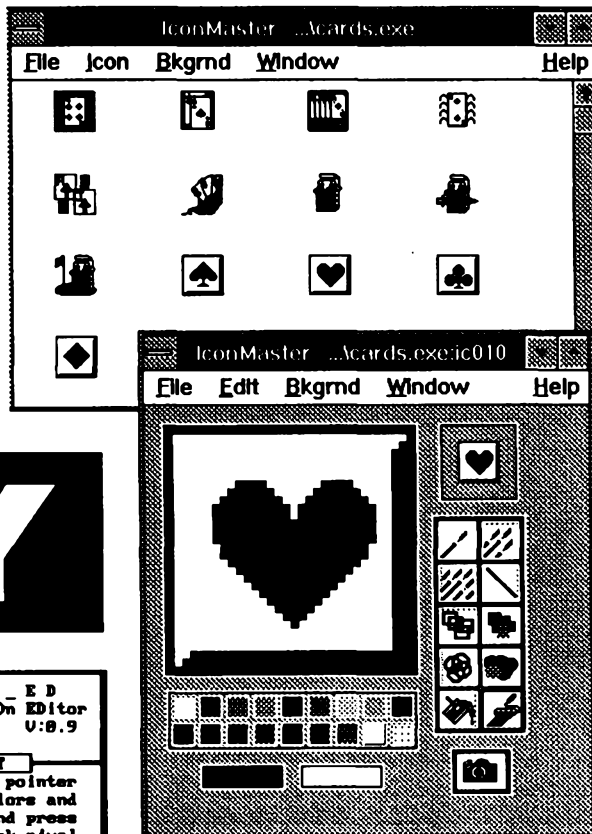
Tentokrát jsme pro vás přebrali větší množství sharewaru na jediné téma - ikony. Jsou to programy od nejjednodušších nástrojů na kreslení ikon do mřížky 32x32 až po složité managery a různé speciální utility.

ICONMASTER

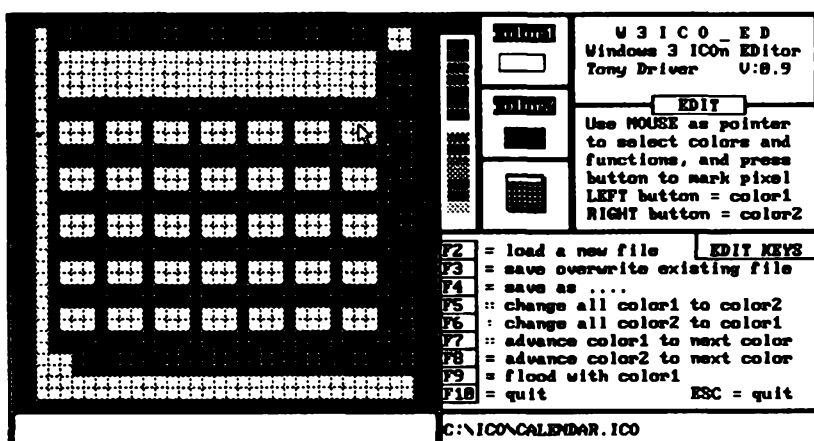
Autor: Phillip A. Kaufman, 19987 Moran Lane, Saratoga CA, 95070, USA.

HW/SW požadavky: Windows 3.x, myš.

Je to asi nejdokonalejší program pro manipulaci s ikonami. Dovede je vyčíst ze všech druhů souborů, tedy nejen samostatné ikony .ICO, ale i např. z knihoven .DLL, se spustitelných souborů .EXE a z mnoha dalších formátů. Obsahuje kompletní editor ikon včetně transparentních (viz vedlejší obr.) s deseti

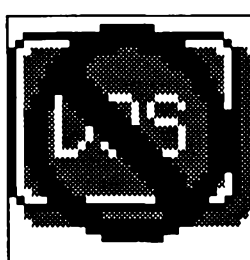


Takhle vypadají IconMaster (nahore) a W3ICO_ED (vlevo) při práci



nástroji a možností screen capture, tj. snímání části obrazovky a převádění do ikon. IconMaster umí vytvářet velmi kompaktní a rychlé knihovny ikon, umí si ikony automaticky rozbalovat i z archivních souborů .ZIP (a opět je tam ukládat).

Icon Master zabere na disku asi 180 kB (+ 80 kB Help), registrační poplatek činí 20 \$.

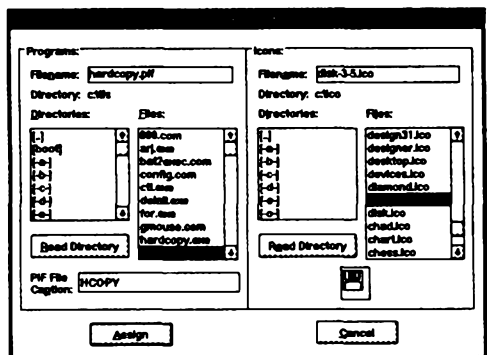


NoDOS

Autor: Ken Granderson, New World Software, P.O. Box 969, Boston, MA 02118, USA.

Šikovná utilita, která nahradí stereotypně stejné ikony aplikací MS DOS (při zmenšení aplikace do ikony) jakoukoliv ikonou, kterou si vyberete.

Registrační poplatek je 20 \$, program zabere 29 kB (+ 60 kB dokumentace).



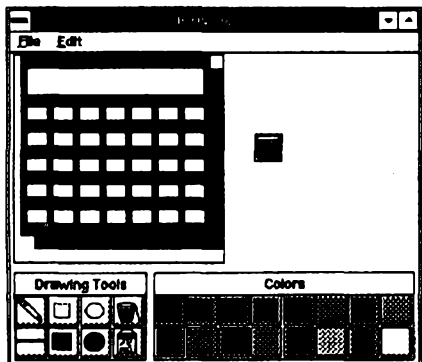
KUPÓN FCC-AR 12/94

přiložte-li tento vystřížený kupón k vaší objednávce volně šířených programů od FCC Folprecht, dostanete slevu 10%.

SHAREWARE

Programy od FCC Folprecht
si můžete objednat na adresu

FCC Folprecht, s.r.o.
Velká hradební 48
400 01 Ústí nad Labem



Pracovní okno programu ICOView

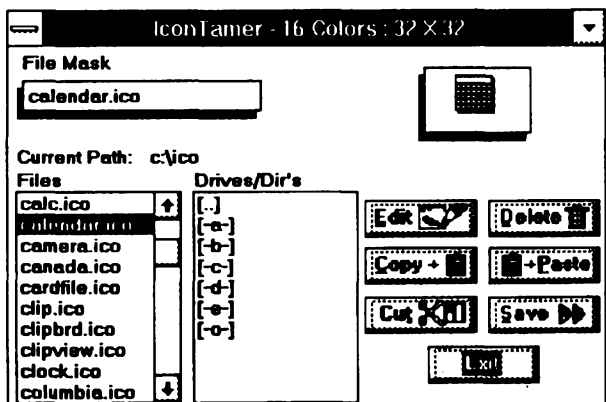
ICOVIEW

Autor: Marc Adler, Magma Systems.

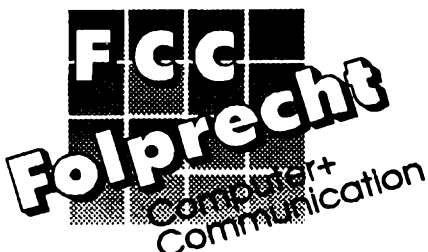
HW/SW požadavky: Windows 3.x.

Je to typ nejjednoduššího editoru ikon. Na rozdíl od mnoha jemu podobných však opravdu funguje tak, jak má. Umožňuje vám navrhovat, nebo editovat ikony v rastru 32 x 32 pixelů se 16 barvami. Má základní nástroje pro kreslení bodů, čar, čtyřúhelníků a kružnic (i vyplňených). Ikonu můžete buď uložit do souboru, nebo na clipboard. Stejným způsobem lze ikonu do editoru i nahrát.

Program má 38 kB a není v něm (ani ve stručné dokumentaci) zmínka o registračním poplatku ani zkušební lhůtě.



Pracovní obrazovka programu IconTamer



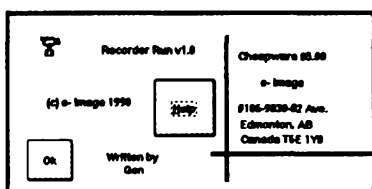
RECRUN

Autor: e-Image, #106-9803-82 Ave., Edmonton, AB, Canada T6E 1Y8.

HW/SW požadavky: Windows 3.x.

Na co všechno lidé nepřijdou ... *recrun* je utilita, která vám umožní přiřadit ikonu i makrům ve Windows. Makra obvykle získáváte pomocí *Recorderu*. Postupujete tak, že ve zvolené skupině (v Program Manageru) vytvoříte položku (libovolně nazvanou a s libovolnou ikonou), která spustí utilitu *recrun* se dvěma parametry - prvním je cesta k adresáři, kde jsou uložena všechna makra, a druhým je klíčové slovo makra. Program prohledá všechna makra a spustí první makro s příslušným klíčovým slovem, na které narazí. Je tedy žádoucí, aby se klíčová slova neopakovala ve více makrech.

Autor nazývá utilitu *cheapware* (levné zboží) a požaduje za registraci 5 \$. Program zabere 37 kB, Help 7 kB.



Takto se vám ohláší RECRUN, abyste si mohli přečíst (jako Help) návod k jeho používání!

ICON TAMER

Autor: Moon Valley Software Inc., 107 East Paradise Lane, Phoenix, AZ, 85022, USA.

HW/SW požadavky: Windows 3.x.

Další program pro práci s ikonami, tentokrát bez vlastního editoru. Umožňuje ikony prohlížet, přejmenovávat, ukládat, převádět bitmapové obrázky na ikony a kopírovat libovolný výřez obrazovky do ikony. K editování ikon můžete použít libovolný kreslicí program.

Registrační poplatek je 15,95 \$, program zabere 44 kB, dokumentace 19 kB.



ICON FRIGHTENER (Strašák ikon)

Autor: Clickon Software, 613105 Union St, Watertown, MA 02172, USA.

HW/SW požadavky: Windows 3.x.

Program, patřící podle autora do kategorie *no-productivity software*. Ale protože humor je kořením života, neméně cenný než všechny managery.

Tento program po spuštění způsobí, že všechny ikony, které máte na obrazovce, budou uhýbat a utíkat před kurzorem. Nepodaří se vám na žádnou říknout a tedy žádný program spustit. Je to perfektní, pokud to nahrajete nic netušícímu spolupracovníkovi do počítače a pak se díváte (spíše na něj, než na počítač).

(Samozřejmě to jde zase zrušit a nic to nepoškodi.)

Program má 21 kB a je to freeware, bez poplatků.

CHOOSER

Autor: Keith Ledbetter, 4240 Ketcham Drive, Chesterfield, VA 23832, USA.

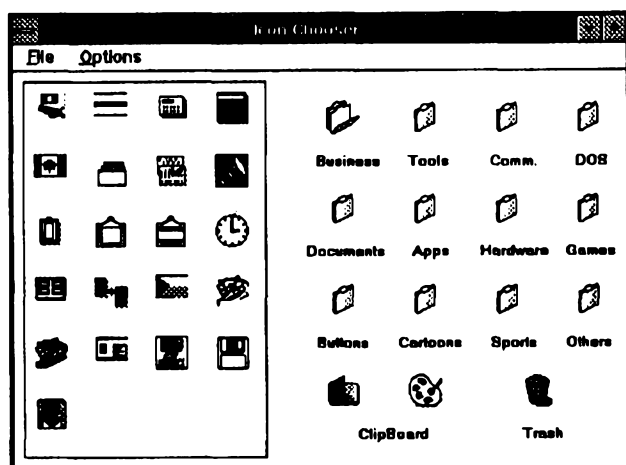
HW/SW požadavky: Windows 3.x.

Chooser je program napsaný ve Visual Basicu, pomocí kterého si uděláte pořádek ve svých ikonách.

Po prvním spuštění vytvoří *Chooser* adresář s 12 podadresáři, nazvanými *bussines*, *sport*, *tools* atd. Do kteréhokoliv podadresáře (např. *others*, různé) nahrajete všechny své ikony.

Po dalším spuštění si můžete obsah kteréhokoliv adresáře zobrazit v levé části pracovního okna. Zobrazíte si tam tedy obsah adresáře, kam jste předtím umístili všechny svoje ikony. V pravé části okna jsou symbolicky zobrazeny všechny podadresáře a vy už jenom způsobem *drag-and-drop* přesouváte jednotlivé ikony myší tam, kde je chcete mít.

Chooser je freeware, bez poplatku. Zabere v paměti 48 kB.



Pracovní okno programu Chooser

VYBRANÉ PROGRAMY

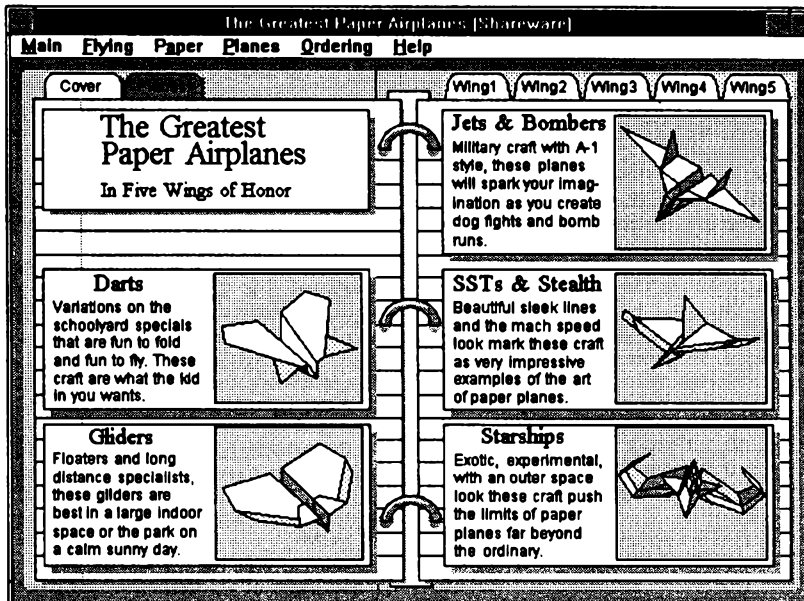
COMPUTER
JIMAZ

The Greatest Paper Airplanes for Windows

Autor: KittyHawk Software, Inc.,
Box 64189, Tucson, AZ 85728, USA.
HW/SW požadavky: Windows 3.1,
1 MB paměti, myš.

Zaručeně nejzábavnější a nejhezčí program pro Windows, který jste kdy potkali! Ne, není to hra. Ani skvělý tabulkový kalkulátor. Není to nic, co už byste někde viděli nebo o čem byste slyšeli. The Greatest Paper Airplanes je totiž fantastický (mírně b-a-j-e-c-n-ý) multimediální program, který vás (či vaše ratolesti) učí skládat papírové šípky, vlaštovky, letadélka a vesmírné lodě. Není to úplně střelený nápad? Je, ale zcela a naprostě dokonale provedený střelený nápad. Zkuste si představit imaginární knížečku. V první kapitole se dozvítěte o historii a vývoji letectví a letadel, o základech aerodynamiky fyzikálních principů létání, naučíte se odborné výrazy pro různé části letadla, získáte přehled, jak se papírová letadélka házejí, jak létatí a proč se některá vaše dílka místo jako letadlo chovají jako padadlo... Druhá kapitola je věnována historii výroby a používání papíru, jeho skládání a potřebným dovednostem. Obě kapitoly jsou bohatě ilustrovány - obrázky se ťuknutím myši rozptyhují a předvedou poučnou (i zábavnou) animaci. Konečně v kapitole třetí se dostaneme ke skládání. Celkem pětadvacet hříček je rozčleněno do pěti kategorií - na šípky, kluzáky, stíhačky a bombardéry, „neviditelné“ letadélka stealth a kosmické koráby (volně šířená verze obsahuje jen prvních pět, šípky). Návod je tak názorný, jak jen může být: kromě psaných pokynů sledujete ve vedlejším okně trojrozměrnou animaci, která celý postup ilustruje. Animaci si lze představit jako filmový klip, který můžete pouštět dopředu i pozpátku a který lze kdykoliv zastavit. Registrovaná verze umožňuje dokonce měnit úhel pohledu, nastavovat rychlosť animace ap. Jestliže se vám model zalíbí a dostanete chuť si jej složit, stačí říknout na záložku Tisk a program vám na tiskárně vytiskne arch papíru s vyznačením překladů... Ještě váháte? Hezčí program jste neviděli a nevidíte! Hodí se jako dárek pro kohokoli, kdo alespoň občas zasedne k počítači. Pro dítě, podnikatele, programátora - líbit se bude všem (určitě!).

Registracní poplatek je 30 \$ (získáte kompletní verzi se všemi pětadvaceti letadélky, spoustou zvukových efektů, předtištěné vzory pro všechny modely a další drobnosti), zkušební doba není uvedena. Program, (po rozbalení zabírá na disku asi 1,65 MB) je na disketě č. 3,5DD-0090 fy JIMAZ.



The Aethra Chronicles Vol. 1: „Celystra's Bane“

Autor: Michael Lawrence, Box 4203, Lexington, KY 40544, USA.
HW/SW požadavky: 286+, CGA+.

Skvělá hra ve stylu adventure. Na začátku příběhu žijete ve městě Stormhaven, které je sídlem panovníka malého království, nazývaného Celystra. Vás otec, kníže Paladin, je stejně jako nespocet jeho předků - prvním rytířem svého krále (titul máte jednou zdědit vy, protože jste jediným synem svého otce). Matku jste bohužel nikdy nepoznal - loď, na níž plula, ztrskotala v bouři ještě když jste byl velmi malý (avšak tělo se nikdy ne-našlo). V poslední době se v království ději zlé věci - nejprve na záhadnou chorobu zeměl král Korros Moudrý. V den korunovace došlo k velice radostné události - manželka nového krále, kterým se stal Lythare, syn Korrose Moudrého, porodila následníka trůnu. Za dva dny se však radost obrátila v to nejčernější zoufalství: malý princ byl unesen neznámým kým. Král Lythare obvinil vašeho otce ze zrad a uvěznil jej v podzemním žaláři, z něhož není úniku. Většinu přívrženců vašeho otce král za trest propustil. Vy sami samozřejmě otce ze zradu nepodezíráte, a tak se se svými přáteli dobrovolně ujmíte jeho vysvobození. Podobně jako v ostatních adventure hrách je nejdřív potřeba „upéci“ hrdiny příběhu a dát jim do vínce určité vlastnosti a dovednosti. Všechny postavy pojmenujete, zvolíte jejich rasu (člověk, elf/poloeelf, trpaslík či hobit), rozvrhnete schopnosti (sílu, zručnost, výtrvalost, inteligenci, vzdělanost, charisma), vyberete povolání (bojovník, zloděj, vandrák, potulný pěvec, du-

chovní, různé druhy kouzelníků, mágů, čarodějů a černokněžníků) a nakonec rozvrhnete jejich dovednosti (umění otvírat zámky, střílet z luku, zaříkat nebo provádět kouzla, zručnost v boji, obchodování a spoustu dalších; dovednosti je celkem 18). Dovednosti lze samozřejmě během hry zdokonalovat výcvikem, bojem, případně jejich uplatňováním. K celkové zdatnosti postav rovněž přispívají nejrůznější předměty, které lze buď zakoupit v četných obchodech nebo nalézt v podzemních prostorách. Ke skupině se občas dobrovolně připojí další postavy, které mohou nebo nemusí požadovat zlodi. Společenství bude od nejrůznějších postav povídováno čím dál obtížnějšími úkoly, jejichž splnění bude vyžadovat spoustu hledání, vyptávání, bojování a kouzlení. Vynikající grafika, ovládání téma výhradně myší, nepřeberné množství variant. Velmi překně je vyřešen průběh šarvátek s pohádkovými protivníky - společenství, které běžně vnímáte jako celek, se najednou promění ve skupinku postav, které můžete (resp. musíte) ovládat samostatně. Na významu pak nabývá složení družiny - zapotřebí jsou nejen silní bojovníci, ale i kouzelníci, kteří budou odvracet čáry nepřátelských mágů. Mezi volně šířenými adventure hrami nemá The Aethra Chronicles sobě rovnou.

Po zaplacení poplatku ve výši 25 \$ získáte další dva díly hry. Za první díl se nemusí platit nic. Hra (po rozbalení 7,5 MB) je na disketách 3,5HD-9980 a 3,5HD-9981 fy JIMAZ.

JIMAZ spol. s r. o.
prodejna a zásilková služba
Heřmanova 37, 170 00 Praha 7

Letecká záchranná služba - např. OK9LZS

Základní informace

Podle statistik většina těžce raněných osob při úrazech či neštěstích všechno druhu zemře během prvních 25 minut po nehodě. Naopak je statisticky zjištěno, že většina těžce zraněných přežije, pokud jí byla poskytnuta lékařská pomoc do 15 minut po nehodě. Při využití moderní techniky je to doba zvládnutelná, pokud dobré funguje organizace záchranné služby.

Je tedy nablízku, že moderní záchranná služba využívá k přenosu informací rádiové spektrum, tedy prostředí a prostředky, jež jsou našim čtenářům - radioamatérům domovem.

Letecká záchranná služba zahájila svoji činnost u nás v roce 1987 v Praze, Banské Bystrici a v Popradu. Postupně bylo akčními rádii 16 různých center záchranné letecké služby pokryto celé území ČSFR. Po rozdělení ČSFR působí v ČR jedenáct středisek záchranné letecké služby se sídly v Praze, Brně, Ostravě, Hradci Králové, Plzni, Olomouci, Jihlavě, Českých Budějovicích, Ústí n. L., Havlíčkově Brodě a Liberci (počátku měst neuvedené v abecedním pořadku ani náhodně, nýbrž podle volacích značek jednotlivých středisek - viz obr. 1).

Provozovateli záchranné letecké služby u nás jsou instituce či firmy, jež mají k dispozici potřebnou leteckou techniku, v případě ČR tedy vrtulníky, tzn. vojenské letecky (např. v Plzni), policie (např. v Praze) a soukromí provozovatelé (např. Alfa Helicopter nebo Delta System). Dispečinky záchranné letecké služby jsou situovány zpravidla buď v blízkosti nemocnic, nebo letišť. Telefonicky je možno se s těmito dispečinkami spojit na telefonním čísle 155 (platí pro všechny záchranné služby - tedy i pozemní) nebo na přímém telefonním čísle. Službu konající personál vyhodnocuje žádost o pomoc a podle situace rozhodne o použití vrtulníku. Od obdržení výzvy vrtulník startuje do 2,5 minut. Posádka vrtulníku je trvale v rádiovém spojení s dispečinkem a službami řízení letového provozu. Akční rádius vrtulníku je 70 km od centra, většinou však záchranná zasahuje do vzdálenosti 30 až 50 km. Všimněte si systému kružnic na obr. 1. Z něj je patrné, že díky překrývání akčních rádií jednotlivých středisek je možno doletět na místo, kde se nachází zraněný, přibližně do 15 minut.

Příklad z Plzně

Dispečinky letecké záchranné služby jsou pochopitelně ve spojení s ostatními službami, nutnými k záchraně lidských životů, jako jsou např. pozemní záchranná služba, hasiči aj. Je tu však jedna služba, která má poměrně dobré možnosti



pomáhat, hlavně co se týče rychlého přenosu informací, která však doposud u nás v tomto směru není příliš využita. Jistě víte, kam míříme. Máme na mysli Radiokomunikační rádium oficiálně nazývanou "radioamatérskou službu".

Myšlenka využít radioamatéry k rychlé pomoci bližnímu není samozřejmě ničím novým pod sluncem. V zahraniční radioamatérské literatuře se např. můžete setkat se zprávami o činnosti AREC (Amateur Radio Emergency Corps), v našem časopisu jsme nedávno informovali o aktivitě Českého radioklubu - viz článek Radioamatérská tisírová síť, AR-A3/94, s. 45.

Uplatnění nových technických prostředků a celková koncepce moderní záchranné služby však nabízí radioamatérské pomoc nové dimenze. Uvedeme příklad z Plzni. Dispečink záchranné letecké služby v Plzni-Líních je vybaven kromě radiostanic pro profesionální použití ještě transceiverem Kenwood pro radioamatérská pásmá, má přidělenou volací značku OK9LZS a obsluhu neustále monitoruje také kmitočet 145,225 MHz v radioamatérském pásmu 2 m. Stanice OK9LZS se může pro lepší komunikaci na požádání překlidit na některý z dostupných radioamatérských převáděců. Vedoucím operátorem stanice OK9LZS je Renata Nedomová, OK1GB.

Západocoeská záchranná letecká služba má v pásmu VKV také svůj vlastní rádiový převáděč. Jeho kmitočet z pochopitelných důvodů neuvedeme, ale pokud na něj přesto narazíte, nikdy ho "neprověřujte" a ani jinak nerušte.

Závěr

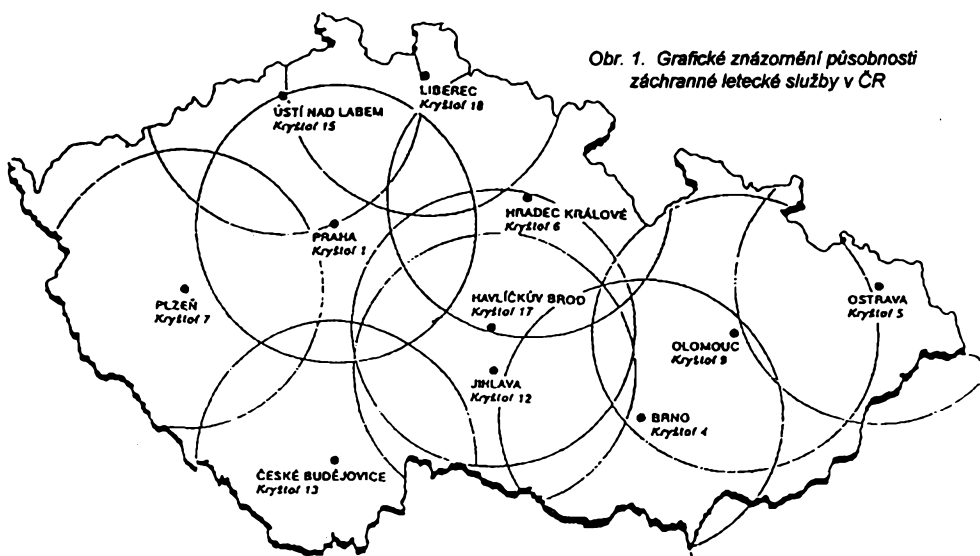
Radioamatéři v Západních Čechách by si měli kmitočet 145,225 MHz zafixovat, neboť to může přijít opravdu vhod. Na ostatním území ČR by mohlo plzeňský příklad posloužit jako inspirace. Pokud se tak již někde jinde také děje, budeme rádi, když veřejnost bude informovat právě prostřednictvím časopisu AR.

Literatura

Časopisy Letectví a kosmonautika a Bulletin ALZS 1992-1994, Vydavatelství MAGNET-PRESS Praha.

OK1DVA

Obr. 1. Grafické znázornění působnosti záchranné letecké služby v ČR



ČETLI
JSME

Oslí M.: MS EXCEL 4.0 - SNADNO A RYCHLE
Grada, Praha 1994 144 stran

Kniha, která vám velmi usnadní získání základních dovedností při práci s českou verzí velmi rozšířeného tabulkového procesoru Excel 4.0 a poslouží stejně dobře i majitelům verze anglické. V úvodu jsou popsány důležité povely včetně jejich základní charakteristiky. V praktické části je pak čtenář formou dílčích úkolů veden tak, aby rychle zvládl tvorbu vlastních tabulek a různé operace s daty a mohl záhy využívat co nejvíce ze široké škály schopností, které program Excel nabízí.

Olehla M., Olehla J.:
WORKS 3.0 FOR WINDOWS -
SNADNO A RYCHLE
Grada, Praha 1994 144 stran

Velmi potřebná kniha, která umožní i úplným nováčkům rychle zvládnout práci s českou verzí integrovaného a všeestranného standardního uživatelského systému MS Works, a tím i se svým počítačem. Naučí každého psát vlastní dokumenty, založit databázi, vyhodnotit data tabulkovým procesorem a navíc i kreslit pomocí grafického programu. Pro základní práci s PC již opravdu nic nechybí.

Hruška M.: WINDOWS 3.1 -
SNADNO A RYCHLE
Grada, Praha 1994 144 stran

Praktický průvodce českou verzí dnes nejpopulárnějšího uživatelského rozhraní PC. Zkrátka však nepřijdou ani majitelé verze anglické - veškerá klíčová slova jsou uváděna dvojjazyčně. Práce s Windows je zde zpřístupněna názornými příklady i obecnějším popisem zacházení s počítačem. Čtenář v knize nalezne i přehled jednotlivých částí Windows - příčemž některé z nich, jako např. Program Manager, File Manager, Write a Paintbrush, jsou zmíněny podrobněji.

Knihy lze objednat na adresách:
GRADA Bohemia s.r.o.
Uralská 6, 160 00 Praha 6

GRADA Slovakia s.r.o.
Plátenická 6,
821 09 Bratislava

nebo koupit v knihkupectvích, obchodech s počítači a ve specializovaných odděleních obchodních domů.

Dekodér Morseovy abecedy s displejem LCD

V září se na našem elektronickém trhu objevila nová zajímavá „hračka“ - stavebnice dekodéru morseovky s displejem LCD, výrobek belgického stavebnicového magnáta, firmy Velleman-Kit. Podle slov výrobce je určena hlavně majitelům krátkovlnných přijímačů, kteří neovládají Morseovu telegrafní abecedu, nemají trpělivost trápit se s její výukou a přesto by rádi rozluštili ty „záhadné“ signály, linoucí se z jejich přijímače. Jak uvidíme dále, stejně dobře (nebo ještě lépe) může posloužit tento přístroj těm, kdo morseovku znají.

Základní technické údaje

Displej: jednořádkový alfanumerický LCD o 16 znacích.

Max. rychlosť dekodéru: výrobce uvádí doslovne „téměř jakákoli“.

Přijímaný signál: tolerance dekódovaného signálu o nf kmitočtu a maximální použitelná hlasitost přednostně.

Napájecí zdroj: 9 až 12 V U_{ss} /100 mA; nebo 2x 7 až 8 V U_{ss} /150 mA.

Rozměry (d x š x v): 105 x 70 x 28 mm.

Konstrukční provedení

Celá stavebnice je rozmístěna na jednostranně plátované desce s plošnými spoji o rozměrech 105 x 70 mm. Vstupní část je tvořena IO2 typu XR2211 - demodulátor FSK a tónový dekodér s fázovým závěsem, který zpracovává telegrafní signály, přiváděné přes mikrofon. Potenciometry RV2 až RV4 regulujeme citlivost, kmutočet přijímaného signálu a zachycení fázového závěsu. Správné vzájemné nastavení těchto tří prvků je dosti náročné na trpělivost a je indikováno diodou LED LD1, při správném nastavení se rozsvěcuje přesně v rytmu přijímaných telegrafních značek. Nenechte se odradit, pokud vás pokusy o správné nastavení funkce přístroje potrvají delší dobu. Výsledné nastavení potom zůstává stále stabilní i po mnoha dnech, kdy byl přístroj vypnut a nepoužíván.

V IO2 zpracovaný telegrafní signál je vyhodnocován v IO1 typu VLK2659 (základní obvod firmy Velleman) a výsledek zobrazuje inteligentní alfanumerický displej LCD. Jis displeje se nastavuje trimrem RV1.

Co všechno dekodér umí

Stavební návod, dodávaný výrobcem, je ve čtyřech jazycích (ON, F, DL, G), ale je

dosti stručný. Popisuje podrobně, jak postupovat při osazování desky, což je samozřejmě velmi důležité, avšak o tom, co dekodér umí, je v něm jenom několik letmých zmínek. O to zajímavější jsou pak pokusy s tímto dekodérem:

Proti výrobkovu reklamnímu sloganu „decodes Morse at almost any speed“ nelze nic namítat. Běžně používané telegrafní rychlosti - zkoušeli jsme přibližně do 150 zn/min (asi 180 PARIS, 35 WPM) - dekodér spolehlivě zobrazuje. Jak by luštily texty, vysílané rychlostmi bližícími se provozu meteor scatter, to ponecháme k pokusům dalším zvědavcům.

Přístroj dekoduje běžně používanou mezinárodní telegrafní abecedu (MTA1), přesněji řečeno velkým húlkovým písmem zobrazuje všechna její písmena, dále číslice a interpunkční znaménka: lomeno ..., čárka --., tečka ., rovná se =, znak návěsti (- - -) registruje jako hranatou závorku a znak křížku (AR - - -) jako malé e. Znaky, které nejsou v IO1 naprogramovány, přístroj zobrazuje hvězdičkou (včetně znaků ---, --- a ---, známých z abecely či jako přehláskované samohlásky našich západních sousedů).

Správná funkce dekodéru předpokládá zřetelné, silné a nerušené signály. Takových ovšem (s výjimkou buzuáku či jiných generátorů) mnoho k dispozici nemáme. Stačí rušení jinou stanicí, atmosférické porychy apod. a údaje na displeji nelze vyhodnotit. Proto uživatelé, kteří neznají telegrafii, budou těžko posuzovat, zda opravdu čtou to, co přijímaná stanice vysílá, nejdéle k tomu, že naprostá většina telegrafních zpráv, zachytitelných na komunikačních přijímačích, je nějakým způsobem šifrována (v radioamatérské praxi např. Q-kód apod.).

Nicméně tato stavebnice zaručuje dobrou zábavu i poučení všem: kdo telegrafii neovládá, může do ní takto pronikat, kdo ji ovládá, bude překvapen, jak přístroj např. vyhodnotí jeho vysílání ručním klíčem,

o němž byl přesvědčen, že je naprostě vzhém.

Stavebnici dekodéru Morseovy abecedy si můžete koupit za 2198 Kč pod typovým označením K2659 v prodejně firmy GM electronic spol. s r. o., Sokolovská 32, 186 00 Praha 8, tel. (02) 26 59 873 (podrobnosti o kontaktu na firmu GM electronic viz inzertní příloha AR).

OK1DVA

Seznam součástek

Resistory

| | |
|------------|----------------|
| R1 | 150 Ω |
| R2 | 100 k Ω |
| R3, R4 | 470 k Ω |
| R5, R6, R7 | 4,7 k Ω |
| R8 | 47 k Ω |
| R9 | 10 k Ω |
| R10 | 1 k Ω |
| R11 | 15 k Ω |
| R12 | 330 Ω |
| RV1 | 4,7 k Ω |
| RV2 | 470 Ω |
| RV3 | 22 k Ω |
| RV4 | 100 k Ω |

Kondenzátory

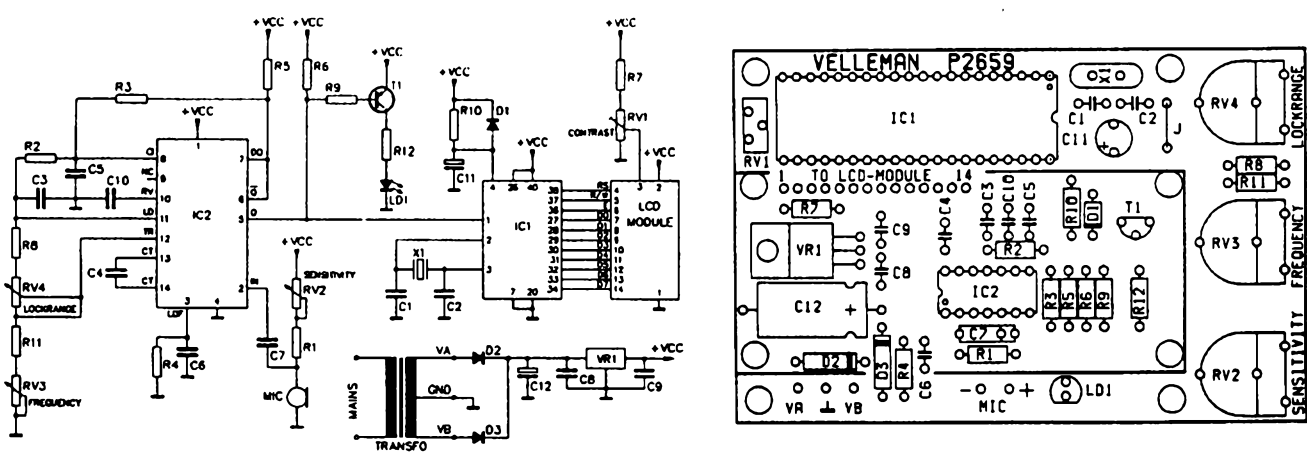
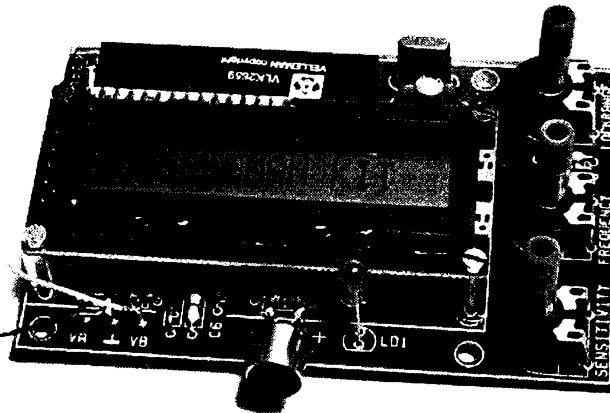
| | |
|-------------|-------------|
| C1, C2 | 15 pF |
| C3 | 10 nF |
| C4 | 33 nF |
| C5, C6 | 47 nF |
| C7 | 100 nF, MKT |
| C8, C9, C10 | 100 nF |
| C11 | 10 μ F |
| C12 | 470 μ F |

Polovodičové součástky

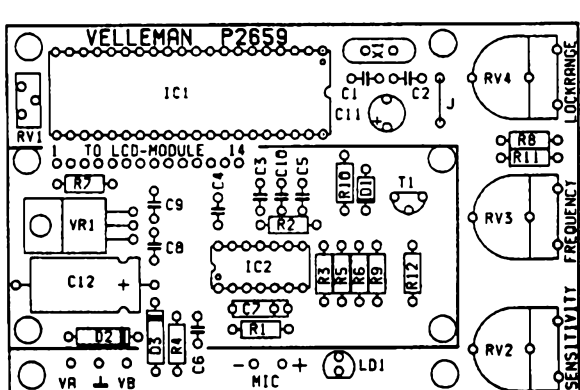
| | |
|-----|-------------------|
| D1 | 1N914, 1N4148 |
| IO1 | VLK2659 |
| IO2 | XR2211 (EXAR) |
| VR1 | stabilizátor 7805 |

Ostatní součástky

X1 krystal 6 MHz
LCD alfanumerický inteligentní displej
miniaturní kondenzátorový mikrofon



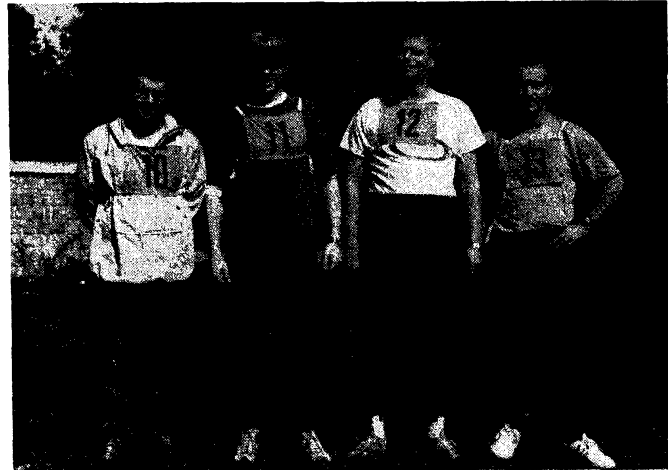
Obr. 1. Schéma zapojení dekodéru



Obr. 2. Rozložení součástek na desce s plošnými spoji



Vítěz orientačního běhu Jirka, OK1BTW, při disciplíně traffic



Tým SRN. Zleva Andreas, DL1LRH, René, DL7UKG, Thomas, DL3VAB, a Frank, DL2HTF

Bude nějaké „příště“?

Uspořádání sedmého ročníku závodu II. stupně v moderném víceboji telegrafistů k výročí obnovení samostatnosti, slavené stále ještě 28. října (a doufám, že to tak zůstane), se už potřetí konalo ve Slaném. Radioklub OK1KSL, o jehož obětavých členech a záviděníhodných možnostech jsme již psali, se spolu s pražským OK5MVT rozhol 3. září pokračoval v tradici této soutěže. Tentokrát i za účasti čtyř kolegů z Německa, kteří uvítali naše pozvání zprostředkované Martinem, OK1FZM, a přijeli na své náklady změřit si síly s našimi závodníky.

Na startu se sešlo ve třech kategoriích 17 závodníků z osmi okresů. Nejvíce účastníků vysílal domácí radioklub (7) a spoluřadatel (3). Celý den před závodem silně pršelo a výhledy na lepší počasí byly minimální. Měli jsme oprávněnou obavu, že mnozí přihlášení nepřijedou. Neschopnost meteorologů, ostatně velmi častá, předpovědět spolehlivě vývoj počasí ale spoří na 12 hodin dopředu, nám příšla vhod. V sobotu byl krásný sluneční den, ač mělo ještě přesné. Odpadla tak starost o průběh disciplíny „provoz“ (v terénu), ale také přihlášená skupina vícebojařů z Blanska, která telegramem v poslední chvíli účast odřekla.

V jednotlivých disciplínách byly výsledky dosti rozdílné. Poměrně vyrovnaný byl

příjem telegramů, kde však plný počet bodů za rychlosť 120 písmen a číslic za minutu získali přátelé ze SRN Schmidt, DL3VAB, a Thomas, DL2HTF, v kategorii B/D bratři Kozlíkové (OK1OMS). Traffic měl za 100 bodů Martinek, OK1FCB, z Hradce Králové, v kategorii mužů zaběhl ve velmi dobrém čase 60 minut jako první Nepožitek, OK1BTW, z Prahy, v „běčku“ pak Vláďa Kozlík z OK1OMS (Mšeň). Běželo se na mapě „Punčocha“ u Mšeče. V lese se toho času vyskytovalo mimořádně množství hub a také houbařů, kteří jsou velkým nebezpečím orientačním závodům. Přesto se neztratila ani jedna kontrola.

Celkovým vítězem v kategorii A se stal skromný a nenápadný Jirka Martinek se ziskem 275 bodů, ve spojené kategorii B—D Vláďa Kozlík s 278 body. Závodníci získali 14 druhých a 2 třetí výkonnostní třídy, což znamená, že soutěž měla nejen dobrou, ale i vyrovnanou úroveň.

Co se nám příliš nepovedlo, byl závěr. Tím, že jsme radikálně odbourali oficiality, které provázely závody pod hlavičkou Svařarmu, dostali jsme se do opačného extrému. Čímž chci říci, že nic se nemá přehánět. Takže bude-li nějaké „příště“, budeme se muset polepšit.

OK1DVK

Slovenský systém vydávání licencí

Na Slovensku se v současné době vydávají licence a prefixy OM1 - OM0 vyma OM9.

- třídy A a B s dvojpísmenným suffixem,
- třídy C a D s třípísmenným suffixem AAA - JZZ,
- klubové stanice budou OM3K.. a OM3R..,
- jiné třípísmenné suffixy jsou rezervovány pro nody, mailboxy, převáděče a majáky. Nově se budou licence vydávat s čísly podle QTH žadatele se dvěma písmeny suffixu.

Blok OM9 je rezervován pro licence ke

zvláštním příležitostem a to:

- s jedním písmenem pro závody (jednopísmenný suffix však může být vydán s libovolnou číslicí prefixu bez ohledu na oblast, odkud stanice vysílá),
- dvoupísmenný ke zvláštním příležitostem,
- třípísmenný zahraničním žadatelům.

• • •

● Ukrajinský contest klub vydává velmi jednoduchý bulletin, ve kterém zveřejňuje všechny informace, které se týkají závodů jak ukrajinských, tak mezinárodních (tzn. podmínky i výsledky), jakož i drobná technická vylepšení, která mohou pomoci k lepším výsledkům. Pokud se situace ne-



Martin, OK1FZM, se svým soustrojím.
V pozadí rozhodčí Vláďa, OK1FII

změnil, byl by přístupný i našim amatérům - cena je pouze 20 centů za jedno číslo (stačí tedy 1\$ ročně, poněvadž vychází kvartálně).

Silent key

Dne 31. 7. 1994 zemřel náš dlouholetý vedoucí operátor radioklubu OK2KG Čeněk Urbanec, OK2QL, ve věku 70 let. Radioklub řídil od roku 1953 a byl oblíben u všech členů. Posledního rozloučení s ním se zúčastnili jeho blízci a přátelé.

Čest jeho památky.
RK OK2KG Ostrava

AGCW—DL—VHF—UHF contest

Koná se každoročně ve čtyřech etapách: 1. ledna, 3. sobotu v březnu, 4. sobotu v červnu a 4. sobotu v září, vždy od 16.00 UTC do 19.00 UTC v pásmu 144,025 až 144,150 MHz a od 19.00 do 21.00 UTC v pásmu 432,025 až 432,150 MHz. Soutěž se jen telegraficky v kategorii pouze SO v následujících třídách: A (do 3,5 W výkonu), B (3,5 až 25 W výkonu) a C (nad 25 W výkonu). Během závodu nelze měnit QTH ani třídu.



Výzva: CQ AGCW TEST.

Kód: RST, číslo spojení, třída a WW lokátor, např.: 579 001/A/J031XX.

Bodování: za 1 km překlenuté vzdálenosti 1 bod. Výsledek je dán prostým součtem bodů.

Deníky: Každé pásmo pište na zvláštní list, deník v obvyklé formě zasílejte vždy po každé etapě zvlášť do tří týdnů po závodě na adresu: Oliver Thye, DJ2QZ, Haydnstr. 6 H, D—48291 Telgte, Germany.

OK1DVA

KV

Kalendář závodů na prosinec 1994 a leden 1995

Sestaveno dle předchozího roku - bez záruky, časy v UTC

| | | | |
|------------|--------------------------|-----------|-------------|
| 10.12. | OM Activity | CW/SSB | 05.00-07.00 |
| 10.-11.12. | ARRL 10 m contest | MIX | 00.00-24.00 |
| 17.-18.12. | International Naval | MIX | 16.00-16.00 |
| 17.-18.12. | EA DX CW contest | CW | 16.00-16.00 |
| 25.12. | Canada contest | MIX | 00.00-24.00 |
| -1995- | Worldradio DXathlon | celoročně | celoročně |
| -1995- | UBA SWL competition | celoročně | celoročně |
| 1.1. | Provozní aktiv KV | CW | 05.00-07.00 |
| 1.1. | New Year contest | CW | 09.00-12.00 |
| 7.1. | SSB liga | SSB | 05.00-07.00 |
| 7.-8.1. | AGCW Winter QRP | CW | 15.00-15.00 |
| 7.-8.1. | RTTY Roundup | RTTY | 18.00-24.00 |
| 8.1. | OM Activity | CW/SSB | 05.00-07.00 |
| 8.1. | DARC 10 m Wettbewerb | MIX | 09.00-12.00 |
| 14.1. | YL - OM Midwinter | CW | 07.00-19.00 |
| 14.-15.1. | SWL contest 1.8-7 MHz | CW/SSB | 12.00-12.00 |
| 14.-15.1. | Japan Int. DX 1.8-7 MHz | CW | 22.00-22.00 |
| 15.1. | YL - OM Midwinter | SSB | 07.00-19.00 |
| 22.1. | HA DX contest | CW | 00.00-24.00 |
| 27.-29.1. | CQ WW 160 m DX contest | CW | 22.00-16.00 |
| 28.-29.1. | French DX (REF contest) | CW | 06.00-18.00 |
| 28.-29.1. | European Community (UBA) | SSB | 13.00-13.00 |

Kromě uvedených závodů probíhají ještě lokální soutěže, ze kterých stojí za zmínku v lednu 1. vikend Michigan QRP Party CW, 3. vikend North America QSO Party SSB. Podmínky najeznete v těchto číslech červené řady AR posledních tří let

(1992, 1993, 1994): New Year, HA DX a European Community - AR 12/92, Provozní aktív a SSB liga - AR 4/94, OM Activity - AR 2/94, DARC 10 m - AR 12/93, CQ WW 160 m - AR 1/94.

AGCW QRP Winter Contest

pořádá každoročně první celý lednový víkend německá organizace radioamatérů, zabývajících se převážně telegrafním provozem - AGCW. Závodí se na všech pásmech 3,5 - 28 MHz mimo WARC, telegraficky, v těchto třídách: VLP do 1 W výkonu (nebo 2 W příkonu), QRP do 5/10 W, MP (moderate power) do 25/50 W, QRO (tyto stanice mohou navazovat spojení jen se stanicemi pracujícími ve třídách VLP, QRP, MP. Z celkové doby závodu je třeba minimálně 9 hodin odpočítat - tento čas je možné rozdělit do dvou částí. V každém okamžiku je možné mít v provozu pouze jeden vysílač a přijímač, nebo transceiver. Výzva do závodu - CQ QRP TEST. Vyměňuje se kód složený z RST a poř. čísla spojení, lomený zkratkou třídy, ve které stanice závodí. Od stanic, které se neúčastní závodu stačí přijmout RST, tato spojení se také započítávají. Bodování: spojení s vlastním kontinentem 1 bod, s DX stanicemi 2 body, pokud jsou to stanice VLP, QRP nebo MP 4 body. Násobiče: každá země DXCC na každém pásmu, pokud jsou to stanice VLP, QRP či MP tak 2x; při vyhodnocení bude počet bodů upraven podle deníku doslých od protistanic. Deníky odesílete do konce ledna na adresu: Dr. Hartmut Weber, DJ7ST, Schlesierweg 13, W-3320 Salzgitter 1, BRD. V deníku se doporučuje popsat použité zařízení.



musí být podepsány operátorem (operátorkou) a musí být odeslány nejpozději 9.2.1995 na adresu: MIDWINTERCONTEST, P.O.Box 262, 3770 AG Barneveld, Netherlands-Hollandsko.

SWL contest

Deníky z posluchačského závodu (Pásma 1,8 - 3,5 - 7 MHz, buď CW nebo SSB, max. 5 stanic z jedné země na každém pásmu, 5 bodů za zápis země z jiného, 1 bod z vlastního kontinentu, násobiči DXCC země na každém pásmu. Jako zvláštní země se počítají také číselné prefixy JA, K, VE, VK, ZL) zasílejte na: Contest Manager, c/o White Rose ARS, 57 Green Lane, Harrogate, North Yorkshire HG2 9LP, England.



French (REF) contest

se pořádá ve dvou částech, které jsou samostatně hodnoceny. CW provozem vždy poslední celý víkend v lednu a FONE provozem vždy poslední sobotu v únoru a následující neděli. Začátek v sobotu v 06.00, konec v neděli v 18.00 UTC. Soutěž se v kategoriích a) stanice s jedním operátorem, b) stanice s více operátory, c) posluchači, na pásmech 3,5, 7, 14, 21 a 28 MHz v částech vyhrazených pro mezinárodní závody. Kód je RS nebo RST a pořadové číslo spojení, francouzské stanice dávají za volacím znakem číslo svého departementu. Spojení se hodnotí jedním bodem při protistanici z vlastního kontinentu a třemi body, pokud je z jiného kontinentu. Násobiče jsou departementy Francie (celkem 95), stanice F6REF/00, dále zámořské departementy a teritoria (DA - příslušníci franc. vojsk, FG, FH, FJ, FK, FM, FO, FP, FR, FS, FT, FW, FY, TK). Součet bodů z jednotlivých pásem se vynásobí součtem násobičů z jednotlivých pásem. Spojení se navazují pouze se stanicemi na území Francie a stanicemi ze zemí, kde se používají uvedené prefixy (platí i jiné, příležitostné prefixy z těchto zemí). Na Korzice jsou departementy 2A a 2B. Adresa k odesílání deníků je: REF contest, Secrétariat REF - BP 2129, 37021 Tours, France. Deníky je třeba odeslat vždy do konce dalšího měsíce po závodě.



YL-OM Midwintercontest

se pořádá ve dvou částech: telegrafní v sobotu, fonecká v neděli. Zúčastnit se mohou stanice YL, OM i posluchači. Je povolen provoz pouze stanicím s jedním operátorem. Každá stanice pracuje v rámci své licence, nejsou povolená spojení crossband a všechna spojení musí být navázána z jedné lokality. Výzva do závodu: YL stanice volají CQ contest (na telegrafii CQ TEST, navazují spojení jak s YL, tak s OM stanicemi), OM stanice volají CQ YL a navazují spojení výhradně s YL stanicemi. Vyměňuje se kód složený z RS nebo RST, označení země a číslo spojení od 001 (YL stanice od 2001). Spojení na SSB a CW se číslují samostatně. Bodování: CW a SSB část se počítají samostatně, také deník je třeba zaslát pro každou část na zvláštním listě. Spojení s YL stanicí se hodnotí pěti body, spojení s OM stanicí třemi body. Spojení se stejnou stanicí lze opakovat na jiném pásmu. Součet bodů za spojení se vynásobí počtem zemí, se kterými bylo navázáno spojení, bez ohledu na pásmo. Posluchači odposlouchávají pouze spojení YL stanic a za každé si počítají 5 bodů, značku protistanice však musí zaznamenat. Násobiče stejně jako u vysílacích stanic. Deníky s obvyklými údaji (každý násobič vyznačit!) s uvedením použitého výkonu



Zajímavosti

• V těchto dnech (8. prosince) skončilo v Ženevě zasedání ITU pracovní komise 8A, která má na starosti mj. i amatérskou službu. Při té příležitosti je vhodné připomenout, že ITU oslavuje sté výročí existence radiokomunikaci. V roce 1894 demonstroval Lodge ve Velké Británii, inspirován pokusy Marconiho a Popova, přenos rádiových signálů.

Švýcarská pošta vydala příležitostnou nedatovanou známku s hodnotou 1.80 Fr, kterou bude možné používat ještě po celý příští rok. Hlavní oslavy ITU budou při příležitosti Dne radiokomunikaci 17. května 1995.

Na návštěvě v České republice

Manželé Langdonovi z kalifornského města Santa Monica jsou známí cestovatelé. Terry, W6/G3MHV, je profesorem metalurgie na kalifornské univerzitě a v rámci své

profese cestuje a přednáší při různých přiležitostech v nejrůznějších zemích světa. Jeho manželka Mady, KA6ZYF, jej jako správná žena všude následuje a protože ji vědecká sympozia o metalurgii příliš nezajímají, věnuje se spíše amatérskému vysílání.

V posledních několika letech jste manžele Langdonovi mohli slyšet mj. z Ruska,

Mexika i Albánie. V září 1994 navštívili i Českou republiku, odkud Mady vysílála pod svoji dánskou licencí jako OK/OZ1KLD.

Nyní, kdy čtete tyto řádky, jsou Langdonovi v Japonsku a Mady vysílá pod značkou 7J6AAB.

-dva



Mady, KA6ZYF, jako OK/OZ1KLD na návštěvě u OK1DVA

Předpověď podmínek šíření KV na prosinec 1994

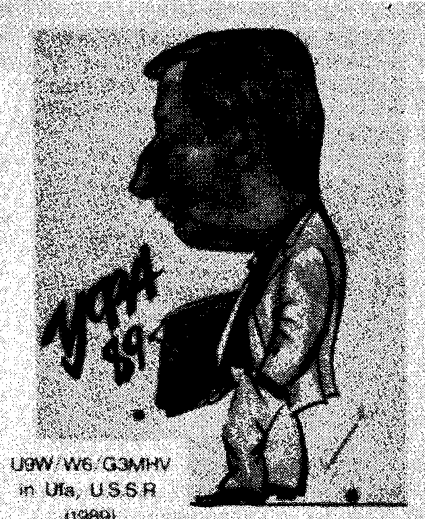
Přestože prakticky již probíhá minimum jednoletitého slunečního cyklu, podmínky šíření krátkých vln vůbec nejsou tak špatné, jak někteří škarohlíďové čekali. Mezi důvody, proč tomu tak je, bych rád uvedl skutečnost, že tzv. aktivní délky, neboli poledníky na Slunci, kde se nejvíce vyskytuje erupce, se stále objevují spíše na východní polovině slunečního disku. Pravděpodobnost zasažení Země částicemi slunečního větru je podstatně větší, nachází-li se jejich zdroj poblíž centrálního meridiánu a na západ od něj. Poruchy je tedy méně, jsou většinou krátké, bývají provázeny vzestupem aktivity aurorální sporadické vrstvy E a zatajení po nich je rychlejší. Proto se otevírají i horní pásmo KV do vzdálenosti DX, k čemuž by míra ionizace v oblasti F2 sama o sobě nestačila. To ostatně vidíme v předpovědních grafech, které počítají především se šířením mezi zemským povrchem a ní jako s dominantním módem a s ostatními druhy šíření jako s méně často se vyskytujícími. Proto jsou nezřídka izolinie pro slabší intenzity signálů tak daleko od průměrné hodnoty nejvyššího použitelného kmitočtu.

Pro prosinec byly grafy spočteny na základě předpokládaného $R_s = 22$. Není to monoho, ale stále ještě témaří o deset víc, než v minulém minimu (12,3 v září 1986, v maximu to bylo 158,1 v červenci 1989). Hlavním pásmem DX, přes kratší trvání intervalů otevření, zůstává dvacítka, jejíž použitelnost bude však velmi omezena v narušených dnech (jeden z větších poruch předběžně čekáme před Vánocemi).

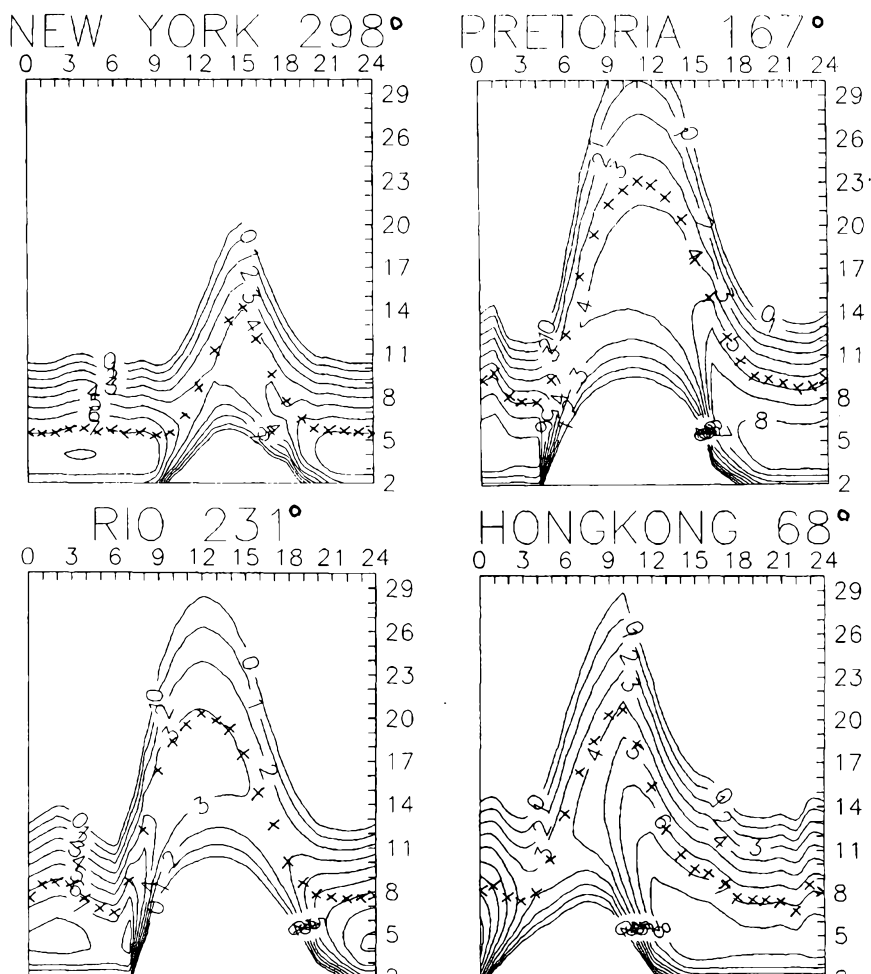
Vrátime-li se pohledem o obvyklých pět měsících zpět do letošního července, spatříme celkovou úroveň sluneční aktivity v jeho první polovině o něco málo větší proti průměru letošního jara. Většinou bylo možno pozorovat nejvíce několik skupin skvěl, z nich jednu větší a jen jedinkrát středně mohutnou erupci - 7.7. v 10.02 UTC, jež navíc témař neměla vliv na ionosférické šíření dekametrových vln. Ty byly relativně nejlepší mezi 9.-14.7., kdy se

California, U.S.A.

**W6/
G
3
M
H
V**



USSR 1989
(1989)



kritické kmitočty oblasti F2 (f_{0F2}) nad středními šířkami Evropy pohybovaly okolo 6 MHz. Jen jediné měření f_{0F2} dosáhlo k 7 MHz během kladné fáze poruchy s vrcholem v podvečer 14.7., kdy příznivý vývoj vrcholil. Šlo opravdu o podmínky velmi dobré, zejména vezmeme-li v úvahu omezené možnosti ionosféry nad severní

polokouli Země v letním období. Nejvyšší použitelné kmitočty pro mezikontinentální komunikaci do většiny směrů nepřesahovaly až na krátké intervaly 20 MHz a spíše se držely pod 15 MHz. MUF okolo 15 MHz ale platil i pro trasy do Pacifiku, jak jsme se mohli přesvědčit denně ráno mezi 11.-14. červencem posle-

chem stanice WWVH z Havajských ostrovů právě na tomto kmitočtu.

Záporná fáze poruchy byla poměrně krátká. Sporadicí vrstva E přinesla výrazné oživení hladně na desítce 18.-19. července a její aktivita zůstala větší až do 3. srpna. Zlepšení ve třetí červencové dekádě vyvrcholilo otevřením šestimetrového pásma do Severní Ameriky 24. července.

Ciselné ilustrují výše uvedené ličení následující čísla. Sluneční tok v jednotlivých dnech byl 87, 83, 86, 85, 83, 84, 88, 86, 86, 86, 83, 81, 82, 83, 82, 80, 80, 78, 77, 77, 78, 76, 75, 75, 74, 74, 75, 76, 75 a 75, průměr je 80,5. Malý počet skvrn ke konci měsíce způsobil, že jejich průměrné relativní číslo za červenec je jen 35. I to je ale dost, poslední známé vyhlazené číslo R_1 , za leden 1994 je 36,6. Denní indexy geomagnetické aktivity A_k určili v observatoři ve Wingstu takto: 28, 29, 14, 14,

6, 16, 21, 7, 4, 6, 6, 3, 8, 30, 23, 37, 18, 16, 17, 6, 10, 7, 10, 11, 17, 6, 19, 24, 17, 15 a 16.

OK1HH

Zajímavosti

- Na ostrově Pitcairn (VR6) žije největší procento radioamatérů vůči stálým obyvatelům. Těch je podle sčítání z roku 1980 63, přitom bylo místním obyvatelům vydáno již 13 individuálních licencí. Letos si proto zřídili klubovou stanici, kterou můžete občas slyšet na pásmech pod značkou VR6PAC.
- Před léty zemřel jeden z nejznámějších radioamatérů na světě, Don Wallace,

W6AM. Byl to špičkový DXman a byl proslulý svou ohromnou anténní „farmou“ na ranči, který odkázal radioamatérům s přání, aby tam bylo zřízeno radioamatérské muzeum. Americká FCC již 16 let nevydala koncesi pro klubovou stanici. Proto se nepředpokládalo, že by žádost podaná pro toto muzeum byla kladně vyřízena. Ale podařilo se to a od 17. dubna t.r. již můžete se značkou W6AM znovu pracovat na pásmech; zadovědným operátorem je K5KT.

● 21. května 1994 zemřel Stu Meyer, W2GHK, legendární QSL manažer 70. let. Byl nějakou dobu prezidentem QCWA a také amerického radioklubu, pracoval jako vedoucí inženýr a později jako prezident známé firmy Hammarlund.

● Na závěr letošního roku připravují němečtí amatéři vydávání nového diplomu za spojení s ostrovy patřícími Německu.

INZERCE



Inzerci přijímá poštou a osobně. Vydavatelství Magnet-Press, inzertní oddělení (inzercy ARA), Vladislavova 26, 113 66 Praha 1, tel. (02) 24 22 73 84-92, linka 341, fax (02) 24 21 73 15. Uzávěrka tohoto čísla byla 24. 10. 1994, do kdy jsme museli obdržet úhradu za inzerát. Text pište čitelně, hukovým písmem nebo na stroji, aby se předešlo chybám vznikajícím z nečitelnosti předlohy. Cena za první řádek činí 60 Kč a za každý další (i započatý) 30 Kč.

Dan z přidané hodnoty (5 %) je v ceně inzerátu. Platby přijímáme výhradně na složence našeho vydavatelství, kterou Vám zašleme i s udanou cenou za uveřejnění. Podnikatelům je rádková inzerce účtována 44 Kč/cm² + 23 % DPH.

Prodej

Osciloskop KŘÍZIK T565 po celkové opravě — 1000 Kč a poštovné. Obrazovky: 2 ks 7QR20 s krytem a 250 Kč, DP7-12C Siemens s krytem a patičí 450 Kč, DN16-2 Philips 500 Kč, 8LO291 (CCCP) 300 Kč + poštovné. Vše 100% stav. P. Pávek, Gagarinova 2693/11, 400 12 Ústí n. Labem.

Nové, nepoužité kanál. voliče s popisem vývodů (S1-S40), cena 600 Kč. Tel. (069) 683 12 37.

Použité, ale zcela funkční kanálové voliče (Japan) s popisem vývodů. Mají kabel. Pásma S1-S20. Cena 400 Kč. Tel. (069) 683 12 37.

Radio stanice RV100 nová, rozsah 138-174 MHz, cena 7 800. Tel. (02) 667 963 33 ráno 7-8 hod.

Nepoužité elektronky CF7, NF2, GZ34, GU50 (50); 6L50, 6Y50, ECC40 (40); 6F32, 6H31, 6L31, 6Z1P, ECC85, EF86 (20); 6B32, 6CC31, 6N1P, 6N2P, ECC82, 83, 84, 88, EF80, PCC84, PCL82, STR75/60, 85/10, 150/30 (10); měřicí přístroje a stará rádia. K. Pažitný, Smetanova 292, 517 21 Tynět n. O.

Detektor kovů Whites Spectrum, cena nového 3 300 DM, prodám se slevou i za Kč — 3 měsíce starý. J. Zernescu, Klepačov 158, 678 01 Blansko. AR-A, B komplet, ročníky 89, 90; elektrotechnickou literaturu, seznam — známka. Žák, Horákové 105, 160 00 Praha 6.

Krokový motor 12 V/1 A (11 Ncm) (150) + návod na růz. mot. (30), 1 500 ks součástek (90) a další. Forejt, Nad úpadem 439, 149 00 Praha 4.

Ruční radio stanice ALBRECHT RL 102 rozsah 135 až 175 MHz. Výkon 5 W, cena 7 000 Kč. Ruční radio stanice ALAN-MIDLAND, rozsah 100—200 MHz výkon 5 W, selektivní volba a mnoho dalších funkcí, cena 11 500 Kč. Vše nové — záruka, zašlu i dobrokou, Jiří Nádvorník, Hošťka 78, 411 72

Kochovice, tel. (0411) 50 41 33.

IO, TR, LED, R, C — velký výběr, trafo, kuprecht aj. Za velmi rozumnou cenu. Pouze vcelku, končím. Dr. J. Hloušek, Kazimírova 13, 149 00 Praha 4.

Lappersdorf, BRD. Tel.: 9041 822 75.

Kombinovanou i mazací hlavu do cívkového mgf. M2405S. F. Sitka, ul. Miru 611, 290 02 Kolín 2, tel. (0321) 259 24.

Koupě

Ruční telegrafový klíč. V. Popovič, 561 61 Červená Voda 253.

Tuner VKV 1+2, 2xLED, oživ. deska (jako Condor) (380), stereo zesil. 2x25 W pro CD (1200). R. Trávnický, Varšavská 215, 530 09 Pardubice. Tel. (040) 424 69.

Basové reproduktory ARO 930, 932, 946 (kiňáky) i bez membrán, jakékoli množství. Cena dohodou. R. Tengler, Českobratrská 357, 276 01 Mělník. Tel./fax: (0206) 62 47 39.

Servisní dokumentaci k stereopřijímaču TESLA 820A. Súrne. Ján Pustelník, Veterná 40, 053 42 Krompachy, SR.

Staré německé radio stanice „Wehrmacht a Luftwaffe“ i nefunkční na náhradní díly. E. End, Finkenstieg 1.W—8688 Marktlethen, BRD.

Časopis AR-A + B od r. 1980 do r. 1992. Komunikační přijímač pro amatérská pásmá. Nabídněte. P. Volek, 389 37 Loučeň 95.

Něm. přístroje z 2 svět. války (vysílače, přijímače aj.). Dr. G. Domorazek, Rilkensstr. 19a, D—93138

Přij. E10L r. v. 1941 v originálním st. za RX pro 145 MHz nebo prodám. Lad. Křemenák, Za univerzitou 869, 518 01 Dobruška.

Moderní transceiver za staré německé radio stanice Wehrmacht FuHeA až f, FuPeA/b a c, E52 (Köln), E53 (Ulm) a E8268 (Schwabenland), též radarová a anténní příslušenství. Br. Fröhlich, Nelkenweg 4, 71554 Weissach im Tal, BRD.

Občanské radio stanice i VKV s příslušenstvím za výhodné ceny dobrokou. Ceník zdarma. RADIS, Sázavská 6, 120 00 Praha 2.

Nebudoucí komponenty stavěním: nabíječka akumulátoru 6-12V/5A (8A) z AR59/2 (jednotka, DPS, součinnost, filtry...) a 6-12V/10A (10A) z AR59/3 (DPS, zdroj) s pamětí režimů, 6-12V/20A (20A) z AR10/2, cyklovář s pamětí pro STOS/20 nebo Favorit z AR7/1 za 200 Kč, cyklovář sítový s pamětí pro STOS/20 nebo Favorit z AR7/1 za 200 Kč, cyklovář bílkový hybridní (33 x LED) z AR59/2 za 230 Kč, nabíječka akumulátoru s regulací proudu 6-12V/5A (8A) z AR59/2 za 230 Kč, obousměrný regulátor otáček pro RC modely 6-8 čl./10A (20A) z AR3/3 za 450 (850) Kč, spínač pro RC elektrolyt 6-8 čl./20A za 350 Kč, zabezpečovač zaříz. pro auto (odpoj.) zapalování a zapne klakson za 450 Kč. BELL, Ing. Budinský, České Budějovice 7A, Praha 6, 160 00, (02) 342 92 51

ČESKÝ VÝROBCE PRŮMYSLOVÉ A ZÁKAZNICKÉ ELEKTRONIKY TESLA VRCHLABÍ, akciová společnost

Bucharova 194, 543 17 Vrchlabí fax (0438) 22071 , tel. ústředna (0438) 295111

PF 1995 Přejeme všem našim současným i budoucím zákazníkům i všem čtenářům AR mnoho úspěchů ve své práci, spokojenosti v osobním životě a těšíme se na další dobrou spolupráci v nadcházejícím roce 1995.

S nadcházejícím rokem nabízíme naše firma další možnosti spolupráce i uplatnění Vašich námětů a nových konstrukcí.

Příležitost pro státní i soukromé, tuzemské i zahraniční organizace a konstrukční firmy i jednotlivce, vynálezce a novátorů, kteří mohou nabídnout své nové původní konstrukce elektronických výrobků. Preferujeme náměty výrobků vysoké technické úrovně schopné sériové výroby a úspěchu na trhu, výrobky s využitím tuzemských i zahraničních součástek pro klasickou i povrchovou montáž. Zejména pak výrobky s využitím v oborech automatizační, regulační a zabezpečovací technika, automobilová, lekářská ale i spotřební elektronika. Na vybraná řešení uzavíráme smlouvy s autory s podílem na zisku nebo s jednorázovou odměnou. Uvítáme i zájem prodejců a dealerů o prodej našich výrobků za provizi.

Checete zvýšit profesionální úroveň, kvalitu a spolehlivost svých elektronických zařízení? Využijte možnosti technologie povrchové montáže (SMT) nebo i technologie přímého kontaktování čipů na tištěný spoj (COB). Nabízíme převedení Vašich konstrukcí do této technologie včetně dalšího zpracování na našich zařízeních.

Vyrábíme nejen přístroje aplikované elektroniky pro civilní i vojenské použití jako např. digitální autohodiny ŠKODA-Favorit, svářecské ochranné kukušky s automatickým zatímněním ARCUS-OPTO, zabezpečovací a komunikační systém HALLEY, displeje LCD, tyristory a triaky ale i řadu přesných kovových i plastových výšliků.

Nabízíme volnou kapacitu v technologii osazování a montáže desek plošných spojů i montáže elektronických zařízení a přístrojů.

U našich výrobků provádíme náročné kusové a typové elektrické, mechanické, klimatické a spolehlivostní zkoušky na zkušebních zařízeních z dovozu.

Máte-li zájem o naši službu, naše výrobky nebo chcete-li s námi spolupracovat kontaktujte naše pracovníky.

Příste, telefonujte, faxujte.

Ing.Jiří ŽELEZNÝ
technologie SMT
tel. 295 594

Josef BARTÁK
výšlisy a nástroje
tel. 295 726

Ing.Stanislav STRÁNSKÝ
technologie COB
tel. 295 594

Ivana BRAUNOVÁ
vedoucí odboru
tel. 295 773

Ing.Josef BENĚŠ
nové konstrukce
tel. 295 591

František PROCHÁZKA
montážní kooperace
tel. 295 590

NABÍDKA

**ČASOPISŮ
Z VYDAVATELSTVÍ
MAGNET-PRESS**

● výhodné předplatné ● výrazné slevy ●

Vážení čtenáři,

přestože jsme nuceni vlivem stoupajících cen papíru a polygrafických prací od ledna 1995 zvýšit ceny časopisů v běžném prodeji, chceme, aby předplatitelé, kteří si objednají své oblíbené tituly přímo na adresu našeho vydavatelství, pocítili tuto změnu co nejméně. Kromě výrazných slev poskytujeme svým předplatitelům i další výhody: časopisy balíme do folie, čísla prokládáme zajímavými materiály. Z předplatitelů využíváme každý měsíc výherce hodnotných cen.

Tato cenová nabídka je určena pouze pro předplatitele v České republice, ceny jsou uvedeny v Kč.

| Časopis | Prodejní cena | Cena pro předplatitele | Pololetní předplatné | Roční předplatné |
|-----------------------------|---------------|------------------------|----------------------|------------------|
| SVĚT MOTORŮ | 12,- | 10,80 | 280,80 | 561,60 |
| LETECTVÍ A KOSMONAUTIKA | 22,- | 17,- | 221,- | 442,- |
| STŘELECKÁ REVUE | 22,- | 17,- | 102,- | 204,- |
| PES PŘÍTEL ČLOVĚKA | 20,- | 15,- | 90,- | 180,- |
| MODELÁŘ | 22,- | 17,- | 102,- | 204,- |
| MODELY | 22,- | 17,- | 51,- | 102,- |
| ZÁPISNÍK SPOTŘEBITELE | 20,- | 15,- | 90,- | 180,- |
| AMATÉRSKÉ RÁDIO A | 20,- | 15,- | 90,- | 180,- |
| AMATÉRSKÉ RÁDIO B | 20,- | 15,- | 45,- | 90,- |
| ŽELEZNICE | 29,- | 27,50 | 82,50 | 165,- |
| ABK (akcie, burza, kapitál) | 95,- | 95,- | 570,- | 1140,- |

K zavedení do evidence nutně potřebujeme poslat Vám vyplňenou objednávku. Pro objednávky, zasláné nejpozději do 20.12.1994 bude zajištěno dodávání časopisů od prvních čísel, pro čtenáře, kteří pošlou objednávky později, bude na složence nebo faktuře uveden údaj, od kterého čísla bude časopis zasílán. Po skončení předplaceného období Vám zašleme složenku na další předplatné. Naši současní předplatitelé již proto nemusí objednávat lístky poslat a VMP je obešle složenkami (fakturami) automaticky. Pokud si přejete po odeslání objednávky z jakýchkoliv důvodů svůj odběr a platbu stornovat, oznamte to neprodleně do administrace VMP. Objednané časopisy budou zasílány až po zaevdování platby v počtači.

Objednací lístky a veškeré další dotazy zasílejte na adresu: **Vydavatelství Magnet-Press, odd. administrace
Vladislavova 26 Tel.: 02/2422 7384-92, linka 445, 446
113 66 Praha 1 Fax: 02/2421 7315**

----- OBJEDNACÍ LÍSTEK - JEN PRO NOVÉ ODBĚRATELE! -----

Jméno a příjmení (firma)

Adresa (sídlo firmy) PSČ

IČO DIČ

γ Časopisy si přejí zasílat na adresu a) výše uvedenou

b).....

| Časopis | Pololetní předpl. | Roční předpl. |
|-----------------------------|-------------------|---------------|
| SVĚT MOTORŮ | 280,80 (x) | 561,60 (x) |
| LETECTVÍ A KOSMONAUTIKA | 221,- (x) | 442,- (x) |
| STŘELECKÁ REVUE | 102,- (x) | 204,- (x) |
| PES PŘÍTEL ČLOVĚKA | 90,- (x) | 180,- (x) |
| MODELÁŘ | 102,- (x) | 204,- (x) |
| MODELY | 51,- (x) | 102,- (x) |
| ZÁPISNÍK SPOTŘEBITELE | 90,- (x) | 180,- (x) |
| AMATÉRSKÉ RÁDIO A | 90,- (x) | 180,- (x) |
| AMATÉRSKÉ RÁDIO B | 45,- (x) | 90,- (x) |
| ŽELEZNICE | 82,50 (x) | 165,- (x) |
| ABK (akcie, burza, kapitál) | 570,- (x) | 1140,- (x) |

*) Platba

a) fakturou
b) složenkou

Mám zájem ještě o doposlaní těchto čísel časopisů z roku 1994:

Do tabulky zaškrtněte druh předplatného, pokud chcete zasílat časopis ve větším množství, než v jednom exempláři, uveďte v závorce tento počet. Částka za předplatné se tímto počtem násobí.

Podpis

*) Nehodící se škrtněte

INZERENTUM

Upozorňujeme, že příjem inzerce do příslušného čísla končí při jeho odevzdání do tisku, tj zhruba 8 týdnů před jeho vydáním. Případně pozdější vstupy, zařízení požadovaného umístění v inzertní části, nebo speciální úpravu inzerátu si lze dohodnout s redaktorem ing. J. Klabalem (tel. 24227384-9 linka 353).

CENY PLOŠNÉ INZERCE

| umístění inzerátu v inzert. části časop. | AR-A - červené Kč | AR-B - modré Kč |
|---|------------------------------------|-----------------------------|
| 1 cm ² | 44,- | 29,- |
| celá stránka (171 x 264 mm) | 19.600,- | 13.000,- |
| 1/2 stránky | 9.800,- | 6.500,- |
| 1/4 stránky | 4.900,- | 3.250,- |
| obálka | | |
| str. II. a III. | barev. 43.000,- barev. 43.000,- | 20.000,- barev. 30.000,- |
| str. IV. | barev. 53.900,- | barev. 35.000,- |

Požadovaná šířka inzerátu: 55, 85, 115, 175 mm

Slevy při opakované inzerci:

umístění inzerátu ve více než třech číslech snižuje sazbu o 5%,
ve více než šesti číslech o 10%
při celoroční inzerci se sazba snižuje o 20%

Požadavek na zvláštní umístění inzerátu zvyšuje sazbu o 10%
Ke každému inzerátu účtuje daň z přidané hodnoty

Vážení čtenáři,

vydavatel našeho časopisu vzhledem k již několikátému zdražení papíru rozhodl, že pro příští rok bude cena AR obou řad 20,-Kč. Abychom však zvýhodnili pravidelné odběratele, je možné si oba časopisy předplatit v administraci vydavatelství a to za prakticky nezměnou cenu 15,-Kč za číslo. Objednací lístek je součástí inzertní přílohy tohoto čísla AR.

Žádné zásadní změny v obsahu pro příští rok redakce nechystá. Setkáte se opět s pravidelnými rubrikami, opět bude vypsán konkurs na nejlepší konstrukce (výsledky letošního ročníku budou uveřejněny v AR A1, podmínky pro rok 1995 v AR A3). Postupně budou samozřejmě uveřejněny témař všechny konstrukce z letošního ročníku konkursu, konečně snad dodá autor Dudek již loni slíbený špičkový jednodeskový nf zesilovač. Začátkem roku bude uveřejněn i konvertor VKV pro příjem tzv. západního pásma na přijímačích s pásmem VKV I, dále spínáný zdroj jako nabíječ akumulátorů (proud do 4 A, časovací zařízení), výběr z konstrukcí melodických zvonků, stavebnice panelového měřidla s C520, nf zesilovač s výstupem 100 V apod.

Těšíme se v příštím roce na vaše články i připomínky a přejeme vám do roku 1995 vše nejlepší.
Redakce AR

SEZNAM INZERÁTŮ V TOMTO ČÍSLE

| | | | |
|---|------------|--|---------|
| ADM - multimeter METEX aj | XXXVI | HADEX - elektronické součástky | XXVI.. |
| AGB - elektronické součástky | XVI | HEPATRON - měřicí a lékařská technika | IV |
| ALLCOM - TV SAT měřicí technika | XIII | IMACO - induktivní, optické aj senzory | VII |
| ANTES - televizní technika | V | INTRONIC - elektronické přístroje | XXXVIII |
| ALSET - polovodičové součástky | XXVIII | Jablotron - automat, telef. hlášic | XLIV |
| Amit - desky BAST aj | XXIX | J.J.SAT - satelitní a jí technika | XIX |
| A.P.O. Elmos - regulátory, senzory | XLI | KLITECH - reproduktoričky soustavy | XXIX |
| ASICentrum - polovodiče | XXXIII | Kotliň - indukční snímače | XXVIII |
| ASIX programovatelná logika | XXXIX | KRUNTEL - optický transceiver | XXXVII |
| Atoll electronic - elektronické součástky | XXVII | Kvapil - elektro a radiomateriál | XXI |
| Augusta - keramické kondenzátory | XXXIV | Lhotský - elektrosoučástky | XXXV |
| A.W.V. - měřicí přístroje | XV | MARKOM - snímače a převodníky | XXXIX |
| AXL electronics - zabezpečovací technika | XXXVII | MEDER electronic - relé a senzory | XXXVIII |
| BS acoustic - reproduktory a příslušenství | XXXVII | MEGATRON - snímače síř | XXXVIII |
| CADware - software pro elektroniku | XX | MELNIK Elektronik - elektronické súčiastky | XXXVII |
| CADware - program pro návrh DPS | XXVIII | METRAVOLT - servis, prodej, měř. techniky | IV |
| CADware - program pro návrh DPS | IV | MICROCON - krokové motory a pohony | XXXVIII |
| CASCOMP - osciloskop HAMEG | XXI | MICRODATA - pokladní systémy | XVIII |
| CB TV SAT - komunikační technika | VI | MICRO PEL - programovatelný, logic, automat | XXI |
| ComAp - vývoj, prostředky pro mikropočítače | XXI | MIKROKOM - generátor TV obrazců | XXV |
| Commet - elektronika, náhradní díly a j | XXIV | MIKRONIX - měřicí přístroje | VIII |
| COMPO - elektronické součástky | XVIII | MIKRONA - elektronické súčiastky | IV |
| Conrad - radiostanice | XL | MITE - seminář k systému UCB/PC a PIC | XXXI |
| CVT - počítací | XXX | NEKO programovatelný automat | XXXV |
| DATAVIA - elektronické súčiastky | XXXVII | NEON - elektronické součástky | XXXVII |
| Dodávky automatizace - zdroj proudu | XXXIV | Obecnice - elektronické součástky a j | XX |
| ECOM elektronické součástky | XLI | PE servis - elektronické součástky | XXXV |
| ELATEC - displeje LCD | XXXI | PHILIPS - elektronika | VII |
| ELEKTROSONIC - plastové knoflíky | XXX | PLOSKON - induktivne bezkontaktné snímače | XXXI |
| ELEKTROSONIC - barevná hudba | XXXV | ProSys - návrh a výroba DPS | XVIII |
| ELEKTROSOND - stavebnice konc. zesilovače | XXXVII | PS electronic - elektronické součástky, trať a j | XII |
| ELEKTROSOND - výroba DPS | XXXVII | R a C - elektronické součástky | X-XI |
| ELEN - elektronické informační panely | XXXVII | RENTIME - elektronické součástky | XLIII |
| ELFA - optoelektronika | XVIII | RETON - obrazovky | XXV |
| ELFAX - elektronika, součástky a j | XXIX | SAMO - převodníky analogových signálů | XXXVI |
| ELCHEMCO - chemické přípravky pro elektro | XXXVIII | SEAK - mixáž, pulsy, rozhlas, ústředny a j | XXX |
| ELIX - satelitní technika | I | SeCom - servisní služby | XX |
| ELNEC - programátor | XXXII | Sklárný kavalír - servomotory | XXXI |
| ELNEC - výměna EPROM | XXXV | Solutron - konvertoře | 46 |
| EMP - TV a SAT příslušenství | 46 | S PoweR - elektronické súčiastky | 46 |
| EMPOS - měřicí přístroje | XVII | STELCO - automatický linkový přepínač | XXIX |
| ENIKA - elektronické součástky | III | TEGAN - elektronické súčiastky a diely | XXXVI |
| ERA - elektronické součástky | IV | Technia - antény | XXVIII |
| ESCAD TRADE - CCD kamery | XVIII | TEROZ - televizní rozvody | XXXVI |
| EURO SAT - zálohované zdroje | V | TES - dekodéry, směsovače, a j | XX |
| EUROTEL - příjem pracovníků | XXXV | TESLA - příjem pracovníků | 45 |
| EZK - elektronické součástky | XXX | TIPA - elektronické součástky | IX |
| FAN radio - antény a radiostanice | XXXIII | TOR - návrh. systému pro elektroniku | IV |
| FASS - video, audio telefony | XLII | TPC - navíjačky drátov | XXXII |
| FKS LELEL - polovodičové součástky | XXXII | TRONIC - převaděč, opakovací pro CB | XXXV |
| FK Technics - polovodičové součástky | II | VILBERT - díly pro elektroniku | XXXIV |
| GHV - měřicí a testovací přístroje | XIV | VEGA - regulátory teploty | 46 |
| GM electronic - elektronické součástky | XXII-XXIII | VelAnt - antény a příslušenství | XVIII |
| Grundig - přístrojová technika | VI | 3Q Service - elektronické součástky | XXXIII |